

**ДЕРЖАВНИЙ УНІВЕРСИТЕТ ІНФОРМАЦІЙНО-  
КОМУНІКАЦІЙНИХ ТЕХНОЛОГІЙ МІНІСТЕРСТВО ОСВІТИ  
І НАУКИ УКРАЇНИ**

Кваліфікаційна наукова  
праця на правах рукопису

**РИЖАКОВ МИКОЛА МИКОЛАЙОВИЧ**

УДК 004.05(045)

**ДИСЕРТАЦІЯ  
МЕТОДИ ТА МОДЕЛІ ВИЯВЛЕННЯ АНОМАЛІЙ МЕРЕЖЕВОГО  
ТРАФІКУ НА ОБ'ЄКТАХ КРИТИЧНИХ ІНФОРМАЦІЙНИХ  
ІНФРАСТРУКТУР**

Спеціальність 125 – Кібербезпека та захист інформації  
Галузь знань 12 – Інформаційні технології

Подається на здобуття наукового ступеня доктора філософії.

Дисертація містить результати власних досліджень. Використання ідей,  
результатів і текстів інших авторів мають посилання на відповідне джерело.

\_\_\_\_\_ Микола РИЖАКОВ

Наукові керівники: ІВАНЧЕНКО Ігор Сергійович  
к.т.н., доцент, професор кафедри  
технічного захисту інформації;

ШУЛЬГА Володимир Петрович  
д.і.н., професор, ректор Державного  
університету інформаційно-комунікаційних  
технологій;

Київ - 2025

## АНОТАЦІЯ

*Рижаків М.М.* Методи та моделі виявлення аномалій мережевого трафіку на об'єктах критичних інформаційних інфраструктур. – Кваліфікаційна наукова праця на правах рукопису.

Дисертація на здобуття наукового ступеня доктора філософії за спеціальністю 125 – «Кібербезпека та захист інформації» (12 – Інформаційні технології). - Державний університет інформаційно-комунікаційних технологій, м. Київ, 2025.

Дисертаційна робота присвячена створенню інтелектуальної системи прогнозування, виявлення та семантичної атрибуції аномалій у мережевому трафіку з використанням методів глибокого навчання для підвищення надійності та захищеності критичних інформаційних інфраструктур.

*Об'єктом дослідження* дисертаційної роботи є процес виявлення аномалій мережевого трафіку на об'єктах критичних інформаційних інфраструктур.

*Предметом дослідження* дисертаційної роботи є методи та моделі виявлення аномалій мережевого трафіку .

У дисертаційній роботі проведено аналіз існуючих та сучасних методів, моделей і систем виявлення аномалій у мережевому трафіку. Встановлено, що традиційні підходи — сигнатурні механізми, статистичні методи та класичні IDS/IPS — виявляються недостатньо ефективними в умовах динамічного та високовимірного мережевого середовища. Вони не здатні повною мірою розпізнавати складні поведінкові відхилення, кореляції між подіями та приховані нелінійні залежності, характерні для сучасних кіберзагроз.

На основі проведеного аналізу сформульовано вимоги до інтелектуальної системи виявлення аномалій, зокрема: необхідність використання глибинного навчання для аналізу часових закономірностей,

застосування семантичних моделей для інтерпретації природи інцидентів, а також впровадження механізмів динамічного визначення критичності для пріоритизації реагування. Особлива увага приділена аналізу мережевої поведінки на рівні потоків, груп з'єднань та міжвузлових взаємодій, що дозволяє підвищити точність і контекстність детектування загроз.

*Метою дослідження є підвищення ефективності виявлення аномалій мережевого трафіку шляхом інтеграції сучасних методів глибокого навчання з адаптивним механізмом аналізу критичності подій.*

В процесі досягнення зазначеної мети та вирішення наукового завдання у роботі одержано основні наукові результати:

- *Вперше* розроблено моделі прогнозування і виявлення кібербезпекових аномалій та визначення їх критичності, які за рахунок автоенкодерів та процедури формування динамічних порогів аномальності мережі, дозволяють формалізувати процес виявлення відхилень та відповідно оцінити вплив на стан кібербезпеки системи;
- *Вперше* розроблено математичну модель семантичної атрибуції кіберінцидентів у системах виявлення аномалій, яка за рахунок процедур вирахування коефіцієнтів аномальності, інтерпретації у контексті типів порушень, порівняння зі структурою активів критичної інфраструктури, дозволяє визначити множину вхідних і вихідних параметрів для формалізації процесу критичності кіберінцидентів;
- *Вперше* розроблено методи виявлення аномалій та оцінювання їх критичності в режимі реального часу, які за рахунок етапів попередньої обробки даних, навчання автоенкодера, реконструкції даних, обчислення рівня аномальності, прогнозу значень мережевого трафіку, розрахунку стандартного відхилення похибок прогнозу, встановлення адаптивних меж аномальності, виявлення аномалій та відповідно підрахунку аномальних значень, обчислення рівня критичності, визначення категорій критичності та

прийняття рішень, дозволило ранжувати події за рівнем небезпеки, скоротити час реагування в процесі інциденту, зменшити кількість хибнопозитивних спрацьовувань, стабілізувати часову стійкість детекції, підвищити рівень коректного розпізнавання загроз різної інтенсивності та відповідно визначити рівень загрози кіберінциденту;

- *Вперше* запропоновано узагальнену модель інтелектуальної системи прогнозування та виявлення аномалій, яка за рахунок модулів збору телеметрії, автоенкодера, Multilayer Perceptron, агрегатора аномалій, семантичної атрибуції та оцінювання критичності, дозволяє здійснювати пріоритизацію реагування та підвищити ефективність управління кібербезпекою об'єктів критичної інформаційної інфраструктури.

Дисертаційна робота присвячена розробці інтегрованої інтелектуальної системи виявлення аномалій у мережевому трафіку, яка поєднує моделі прогнозування, семантичної атрибуції та динамічного визначення критичності з практичними методами потокового аналізу та процедурою обробки кіберінцидентів. Робота спрямована на підвищення ефективності захисту інформаційних систем і критичної інфраструктури в умовах зростання складності атак та обсягів мережевого трафіку.

У першому розділі здійснено всебічний аналіз сучасних методів, моделей і систем виявлення аномалій, що застосовуються у світовій практиці. Розглянуто сигнатурні, статистичні, поведінкові та глибинні підходи до детектування загроз, проведено порівняння промислових рішень класів IDS/IPS, NDR, SIEM, SOAR, XDR та хмарних систем аналітики. Визначено їх обмеження, переваги й актуальні виклики, що зумовило формування вимог до інтелектуальної системи нового покоління.

У другому розділі розроблено комплекс моделей, що становлять теоретичну основу системи. Запропоновано модель прогнозування мережевого трафіку на основі глибинних нейронних мереж, яка дозволяє

визначати аномальні відхилення від очікуваної поведінки. Сформовано модель семантичної атрибуції кіберінцидентів, що забезпечує пояснюваність аномалій через зіставлення їх із базами знань про загрози та поведінковими патернами. Розроблено модель динамічного визначення критичності, яка встановлює рівень ризику інциденту з урахуванням контексту, інтенсивності, впливу та можливості ескалації.

У третьому розділі запропоновано практичні методи та алгоритми, що реалізують механізми виявлення аномалій на рівні потоків і груп пакетів. Описано процедури фільтрації, методи обробки часових рядів, алгоритми оцінки поведінкових характеристик, а також механізми раннього виявлення загроз. Розроблено покращені методи аналізу взаємозв'язків між подіями, визначення причинно-наслідкових зв'язків та формування структурованих ознак для подальшого класифікування. Методи орієнтовані на реальну роботу в умовах високої динамічності трафіку та шумових даних.

У четвертому розділі представлено інтелектуальну систему, яка інтегрує розроблені моделі та методи в єдину архітектуру. Детально описано функціональні компоненти системи, її інформаційні потоки, механізми самонавчання та адаптації. Проведено експериментальну оцінку ефективності системи на реальних та симульованих даних. Результати показали зменшення хибнопозитивних спрацювань, підвищення точності ідентифікації аномалій, а також суттєве покращення швидкодії та пріоритезації інцидентів завдяки застосуванню семантичного аналізу та динамічного визначення критичності. Практична апробація підтвердила можливість інтеграції системи в SOC/SIEM середовища та її ефективність для задач моніторингу та реагування.

Отримані результати свідчать, що запропонована система забезпечує новий рівень інтелектуального аналізу мережевих подій та може застосовуватися у державних, корпоративних і високонавантажених

інфраструктурах. Вона поєднує точність прогнозних моделей, гнучкість методів глибинного аналізу та практичну цінність динамічної оцінки ризиків..

Дисертаційну роботу виконано відповідно до напрямку науково-дослідної роботи “Шляхи підвищення ефективності захисту командно-телеметричної інформації безпілотних літальних апаратів” (№ держ. реєстрації 0123U100244, ДУІКТ, м. Київ). Результати наукових досліджень були використані на кафедрі технічних систем кіберзахисту Державного університету інформаційно-комунікаційних технологій.

Також результати наукових досліджень прийняті до впровадження в діяльність ТОВ “ЛУЧ” та ТОВ “А.А.Г.”.

**Ключові слова:** інтелектуальна система виявлення аномалій; мережевий трафік; прогнозування трафіку; семантична атрибуція; визначення критичності; глибинне навчання; машинне навчання; аналіз пакетних груп; часові ряди; аномалії у мережевій взаємодії; поведінкові особливості трафіку; динамічні ознаки; фільтрація трафіку; моделі на основі ШІ; методи виявлення загроз; кіберінциденти; системи моніторингу безпеки; критична інформаційна інфраструктура; кібербезпека; ризики та пріоритизація інцидентів; інтелектуальні алгоритми; штучний інтелект у кіберзахисті..

## СПИСОК ПУБЛІКАЦІЙ ЗДОБУВАЧА

*Наукові праці, в яких опубліковані основні наукові результати дисертації:*

1. Зінченко О. В., Звенігородський О. С., Березівський М. Ю., Рижаків М. М. Методика порівняння та оцінювання протоколів маршрутизації мереж автомобільного транспорту. Зв'язок. № 6, с. 58–60, 2020. DOI: 10.31673/2412-9070.2020.065355
2. Катков Ю. І., Зінченко О. В., Рижаків М. М., Тесленко О. С. Критичні аспекти впровадження Smart Retail. Зв'язок. № 6, с. 34–41, 2019. DOI: 10.31673/2412-9070.2019.063441
3. Катков Ю. І., Березовська Ю. В., Рижаків М. М., Гнидюк Д. С. Аналіз ризиків застосування технологій віртуалізації і контейнеризації в хмарних сервісах. Зв'язок. № 5, с. 19–26, 2019. DOI: 10.31673/2412-9070.2019.051926
4. Катков Ю. І., Березовська Ю. В., Пшеничний Ю. С., Рижаків М. М., Прокопов С. В. Аналіз загроз та вразливостей під час впровадження технології 4G/LTE. Телекомунікаційні та інформаційні технології. № 4, с. 25–38, 2019. DOI: 10.31673/2412-4338.2019.042538
5. Шикуча О. М., Рижаків М. М., Білоусова С. В., Литвинець В. В. Розробка сайту автосервісу з можливістю виклику евакуатора за даними геопозиціонування. Наукові записки Державного університету інформаційно-комунікаційних технологій. № 1–2, с. 54–62, 2022. DOI:10.31673/25187678.2022.025462.
6. Звенігородський О. С., Кутовий С. О., Прокопов С. В., Рижаків М. М. Якість обслуговування Інтернет речей у протоколі MQTT: особливості і процедури. Наукові записки Державного університету інформаційно-комунікаційних технологій. № 4, с. 80–85, 2019. DOI:10.31673/2518-7678.2019.048085.

7. Рижаків М., Поночовний П. Модель трансформації на основі ШІ з елементами захисту від DDoS-атак. Прикладні проблеми комп'ютерних наук, безпеки та математики, 4, с. 14–32, 2025.
8. Іванченко Є., Аверічев І., Рижаків М. Узагальнена модель прогнозування та виявлення кібербезпекових аномалій на основі ШІ. Кібербезпека: освіта, наука, техніка, 4(28), 529–546, 2025. <https://doi.org/10.28925/2663-4023.2025.28.823>
9. Шульга В., Іванченко Є., Аверічев І., Рижаків М. Методи інтелектуального виявлення аномалій і критичних ситуацій у кіберсистемах на основі глибокого навчання. Information Technology: Computer Science, Software Engineering and Cyber Security, № 2, с. 204–215, 2025. DOI:10.32782/IT/2025-2-21.
10. Туровський О., Рижаків М. Методичний підхід до комплексної ідентифікації та аналізу кіберзагроз трафіку в мережах 5G/ІМТ-2020 на основі технологій ШІ. Вимірювальна та обчислювальна техніка в технологічних процесах, (1), 267–277, 2025. <https://doi.org/10.31891/2219-9365-2025-81-33>
11. Шульга В., Іванченко І., Рижаків М. Узагальнена модель інтелектуальної системи прогнозування та виявлення аномалій у кіберінфраструктурі на основі глибокого навчання. Measuring and Computing Device, (3), 217–225, 2025. <https://doi.org/10.31891/2219-9365-2025-83-28>
12. Шульга В.П., Іванченко І.С., Рижаків М.М.. Математична модель семантичної атрибуції кіберінцидентів у системах виявлення аномалій на основі глибокого навчання, Сучасний захист інформації, 2025, № 3(63), ст. 186 – 198, <https://doi.org/10.31673/2409-7292.2025.032076>.



## ABSTRACT

Ryzhakov M.M. Methods and Models for Network Traffic Anomaly Detection in Critical Information Infrastructure Systems. – Qualification scholarly work (manuscript).

Dissertation for the degree of Doctor of Philosophy in specialty 125 – “Cybersecurity and Information Protection” (12 – Information Technologies). – State University of Telecommunications, Kyiv, 2025.

The dissertation is devoted to the development of comprehensive models for forecasting, detecting, and semantically attributing anomalies in network traffic using deep learning methods in order to enhance the reliability and security of critical information infrastructures.

The object of the research is the process of detecting network traffic anomalies within critical information infrastructure systems.

The subject of the dissertation research is the methods and models for detecting anomalies in network traffic.

The dissertation includes an analysis of existing and modern methods, models, and systems for network anomaly detection. It has been established that traditional approaches — signature-based mechanisms, statistical methods, and classical IDS/IPS solutions — are insufficiently effective in dynamic and high-dimensional network environments. They are unable to fully recognize complex behavioral deviations, event correlations, and hidden nonlinear dependencies that are typical of modern cyber threats.

Based on the conducted analysis, a set of requirements for an intelligent anomaly detection system has been formulated, including: the necessity of applying deep learning for analyzing temporal patterns; the use of semantic models for interpreting the nature of incidents; and the implementation of dynamic criticality assessment mechanisms for response prioritization. Special attention is given to

analyzing network behavior at the level of flows, connection groups, and inter-node interactions, which increases the precision and contextual relevance of threat detection.

The aim of the research is to increase the efficiency of network traffic anomaly detection by integrating modern deep learning methods with an adaptive mechanism for analyzing the criticality of events.

In the course of achieving this goal and solving the scientific problem, the following major scientific results were obtained:

- *For the first time* models for forecasting and detecting cybersecurity anomalies and determining their criticality have been developed, which, through the use of autoencoders and a procedure for forming dynamic network abnormality thresholds, make it possible to formalize the process of detecting deviations and, accordingly, assess their impact on the cyber security state of the system;
- *For the first time* a mathematical model of semantic attribution of cyber incidents in anomaly detection systems has been developed, which, by applying procedures for calculating anomaly coefficients, interpreting them in the context of violation types, and comparing them with the structure of critical infrastructure assets, makes it possible to determine the set of input and output parameters for formalizing the process of assessing the criticality of cyber incidents;
- *For the first time* methods for real-time anomaly detection and assessment of their criticality have been developed, which, due to the stages of data preprocessing, autoencoder training, data reconstruction, calculation of the anomaly level, forecasting network traffic values, calculating the standard deviation of prediction errors, setting adaptive anomaly boundaries, detecting anomalies and counting anomalous values, calculating the level of criticality, determining criticality categories and making decisions, make it possible to rank events by danger level, reduce incident response time, decrease the number of false positives, stabilize the temporal robustness of detection, improve the correct recognition rate

of threats of various intensities and, accordingly, determine the threat level of a cyber incident;

- *For the first time* a generalized model of an intelligent system for forecasting and detecting anomalies has been proposed, which, through the use of telemetry collection modules, an autoencoder, a multilayer perceptron, an anomaly aggregator, semantic attribution and criticality assessment, makes it possible to prioritize response actions and increase the efficiency of cybersecurity management for critical information infrastructure object;

The dissertation is devoted to the development of an integrated intelligent system for detecting anomalies in network traffic, which combines forecasting models, semantic attribution mechanisms, and dynamic criticality assessment with practical methods of streaming analysis and cyber incident processing. The work aims to enhance the efficiency of information system and critical infrastructure protection under conditions of increasing attack complexity and growing network traffic volumes.

The first chapter provides a comprehensive analysis of modern methods, models, and systems used for anomaly detection in global practice. Signature-based, statistical, behavioral, and deep learning approaches to threat detection are examined. A comparative analysis of industrial solutions—IDS/IPS, NDR, SIEM, SOAR, XDR, and cloud-based analytics platforms—is presented, outlining their advantages, limitations, and current challenges. These findings served as the basis for formulating requirements for the next generation of intelligent anomaly detection systems.

The second chapter develops a set of models that form the theoretical foundation of the system. A deep neural-network-based model for network traffic forecasting is proposed, enabling the identification of anomalous deviations from expected behavior. A semantic attribution model for cyber incidents is constructed, providing explainability by mapping detected anomalies to threat knowledge bases

and behavioral patterns. Additionally, a dynamic criticality assessment model is designed, determining the risk level of each incident with consideration of context, intensity, impact, and escalation potential.

The third chapter presents practical methods and algorithms that implement anomaly detection mechanisms at the levels of network flows and packet groups. It describes filtering procedures, time-series processing techniques, behavioral feature analysis, and early-warning threat detection algorithms. Improved methods for analyzing correlations between events, identifying causal relationships, and generating structured feature sets for further classification are developed. The proposed methods are optimized for real-world environments characterized by high traffic variability and noisy data.

In the fourth chapter, a comprehensive intelligent system is introduced that integrates all developed models and methods into a unified architecture. The chapter provides a detailed description of system components, information flows, self-learning mechanisms, and adaptive behavior. An experimental evaluation of the system was carried out using both real and simulated datasets. The results demonstrate a significant reduction in false positives, improved accuracy of anomaly identification, and substantial enhancements in performance and incident prioritization due to semantic analysis and dynamic criticality assessment. Practical testing confirmed the system's compatibility with SOC/SIEM environments and its effectiveness for monitoring and incident response tasks.

Overall, the obtained results indicate that the proposed system provides a new level of intelligent analysis of network events and can be applied in governmental, corporate, and high-load infrastructures. It effectively combines the predictive accuracy of deep learning models, the flexibility of advanced analytical methods, and the practical value of dynamic risk assessment.

The dissertation was carried out within the framework of the research project "Ways to improve the effectiveness of protecting the command-and-telemetry

information of unmanned aerial vehicles ” (State Registration No. 0123U100244, State University of Telecommunications, Kyiv). The results of the scientific research were implemented and used at the Department of Technical Cybersecurity Systems of the State University of Telecommunications.

The research outcomes have also been approved for practical implementation in the activities of LLC “A.A.G.” and LLC “LUCH”.

**Keywords:** intelligent anomaly detection system; network traffic; traffic forecasting; semantic attribution; criticality assessment; deep learning; machine learning; packet-group analysis; time series; anomalies in network interactions; behavioral traffic characteristics; dynamic features; traffic filtering; AI-based models; threat detection methods; cyber incidents; security monitoring systems; critical information infrastructure; cybersecurity; risk assessment and incident prioritization; intelligent algorithms; artificial intelligence in cyber defense.

## LIST OF PUBLICATIONS OF THE APPLICANT

Scientific papers in which the main scientific results of the dissertation are published:

1. Zinchenko O. V., Zvenigorodskiy O. S., Berezivskiy M. Yu., Ryzhakov M. M. Methodology for comparing and evaluating routing protocols for automotive transport networks. *Zviazok*, no. 6, pp. 58–60, 2020. DOI: 10.31673/2412-9070.2020.065355
2. Katkov Yu. I., Zinchenko O. V., Ryzhakov M. M., Teslenko O. S. Critical aspects of Smart Retail implementation. *Zviazok*, no. 6, pp. 34–41, 2019. DOI: 10.31673/2412-9070.2019.063441
3. Katkov Yu. I., Berezovska Yu. V., Ryzhakov M. M., Hnydiuk D. S. Risk analysis of the use of virtualization and containerization technologies in cloud services. *Zviazok*, no. 5, pp. 19–26, 2019. DOI: 10.31673/2412-9070.2019.051926
4. Katkov Yu. I., Berezovska Yu. V., Pshenychnyi Yu. S., Ryzhakov M. M., Prokopov S. V. Analysis of threats and vulnerabilities during the deployment of 4G/LTE technology. *Telecommunication and Information Technologies*, no. 4, pp. 25–38, 2019. DOI: 10.31673/2412-4338.2019.042538
5. Shykula O. M., Ryzhakov M. M., Bilousova S. V., Lytvynets V. V. Development of a car service website with the ability to call a tow truck based on geolocation data. *Scientific Notes of the State University of Telecommunications*, no. 1–2, pp. 54–62, 2022. DOI: 10.31673/25187678.2022.025462
6. Zvenigorodskiy O. S., Kutovyi S. O., Prokopov S. V., Ryzhakov M. M. Quality of service for the Internet of Things in the MQTT protocol: features and procedures. *Scientific Notes of the State University of Telecommunications*, no. 4, pp. 80–85, 2019. DOI: 10.31673/2518-7678.2019.048085

7. Ryzhakov M., Ponochnovnyi P. AI-based transformation model with DDoS attack protection elements. *Applied Problems of Computer Science, Security and Mathematics*, 4, pp. 14–32, 2025.
8. Ivanchenko Ye., Averychev I., Ryzhakov M. Generalized AI-based model for prediction and detection of cybersecurity anomalies. *Cybersecurity: Education, Science, Technique*, 4(28), pp. 529–546, 2025. <https://doi.org/10.28925/2663-4023.2025.28.823>
9. Shulha V., Ivanchenko Ye., Averychev I., Ryzhakov M. Methods of intelligent detection of anomalies and critical situations in cyber systems based on deep learning. *Information Technology: Computer Science, Software Engineering and Cyber Security*, no. 2, pp. 204–215, 2025. DOI: 10.32782/IT/2025-2-21
10. Turovskiy O., Ryzhakov M. Methodological approach to comprehensive identification and analysis of traffic cyber threats in 5G/IMT-2020 networks based on AI technologies. *Measuring and Computing Devices in Technological Processes*, (1), pp. 267–277, 2025. <https://doi.org/10.31891/2219-9365-2025-81-33>
11. Shulha V., Ivanchenko I., Ryzhakov M. Generalized model of an intelligent system for forecasting and detecting anomalies in cyber infrastructure based on deep learning. *Measuring and Computing Devices in Technological Processes*, (3), pp. 217–225, 2025. <https://doi.org/10.31891/2219-9365-2025-83-28>
12. Shulha V. P., Ivanchenko I. S., Ryzhakov M. M. Mathematical model of semantic attribution of cyber incidents in anomaly detection systems based on deep learning. *Modern Information Protection*, 2025, no. 3(63), pp. 186–198. <https://doi.org/10.31673/2409-7292.2025.032076>

## ЗМІСТ

ПЕРЕЛІК УМОВНИХ СКОРОЧЕНЬ.....	18
ВСТУП.....	20
<b>РОЗДІЛ 1. АНАЛІЗ СУЧАСНИХ МЕТОДІВ ТА МОДЕЛЕЙ ВИЯВЛЕННЯ АНОМАЛІЙ МЕРЕЖЕВОГО ТРАФІКУ .....</b>	<b>28</b>
1.1. АНАЛІЗ ІСНУЮЧИХ МЕТОДІВ ВИЯВЛЕННЯ АНОМАЛІЙ МЕРЕЖЕВОГО ТРАФІКУ ..	28
1.2. МОДЕЛІ ВИЯВЛЕННЯ АНОМАЛІЙ МЕРЕЖЕВОГО ТРАФІКУ .....	36
1.3. СИСТЕМИ ЩО ВРАХОВУЮТЬ МЕТОДИ І МОДЕЛІ ВИЯВЛЕННЯ АНОМАЛІЙ МЕРЕЖЕВОГО ТРАФІКУ .....	44
Висновки до розділу 1 .....	55
<b>РОЗДІЛ 2. РОЗРОБКА МОДЕЛЕЙ ПРОГНОЗУВАННЯ І ВИЯВЛЕННЯ КІБЕРБЕЗПЕКОВИХ АНОМАЛІЙ ТА ВИЗНАЧЕННЯ ЇХ КРИТИЧНОСТІ.....</b>	<b>57</b>
2.1. Модел ь виявлення аномалій вхідного мережевого трафіку на основі штучного інтелекту .....	57
2.2. Модел ь семантичної атрибуції кіберінцидентів у системах виявлення аномалій на основі глибокого навчання .....	72
2.3. Модел ь визначення рівня критичності вхідного мережевого трафіку на основі отриманих аномалій .....	79
Висновки до розділу 2 .....	86
<b>РОЗДІЛ 3. РОЗРОБКА МЕТОДІВ ВИЯВЛЕННЯ АНОМАЛІЙ ТА ОЦІНЮВАННЯ ЇХ КРИТИЧНОСТІ В РЕЖИМІ РЕАЛЬНОГО ЧАСУ .....</b>	<b>88</b>
3.1. Метод виявлення аномалій вхідного мережевого трафіку на основі штучного інтелекту .....	88
3.2. Метод семантичної атрибуції кіберінцидентів у системах виявлення аномалій на основі глибокого навчання .....	100



3.3. МЕТОД ВИЗНАЧЕННЯ РІВНЯ КРИТИЧНОСТІ ВХІДНОГО МЕРЕЖЕВОГО ТРАФІКУ НА ОСНОВІ ОТРИМАНИХ АНОМАЛІЙ.....	116
Висновки до розділу 3 .....	121
РОЗДІЛ 4. ПОБУДОВА УЗАГАЛЬНЕНОЇ МОДЕЛІ ІНТЕЛЕКТУАЛЬНОЇ СИСТЕМИ ПРОГНОЗУВАННЯ ТА ВИЯВЛЕННЯ АНОМАЛІЙ.....	123
4.1. УЗАГАЛЬНЕНА МОДЕЛЬ ІНТЕЛЕКТУАЛЬНОЇ СИСТЕМИ ПРОГНОЗУВАННЯ ТА ВИЯВЛЕННЯ АНОМАЛІЙ У КІБЕРІНФРАСТРУКТУРІ НА ОСНОВІ ГЛИБОКОГО НАВЧАННЯ .....	123
4.2. ЕКСПЕРЕМЕНТАЛЬНЕ ДОСЛІДЖЕННЯ .....	136
Висновки до розділу 4.....	152
ВИСНОВКИ .....	154
СПИСОК ВИКОРИСТАНИХ ДЖЕРЕЛ .....	157

## ПЕРЕЛІК УМОВНИХ СКОРОЧЕНЬ

AI	–	Artificial Intelligence (Штучний інтелект)
ML	–	Machine Learning (Машинне навчання)
DL	–	Deep Learning (Глибинне навчання)
ANN	–	Artificial Neural Network (Штучна нейронна мережа)
MLP	–	Multilayer Perceptron (Багатошаровий перцептрон)
RNN	–	Recurrent Neural Network (Рекурентна нейронна мережа)
LSTM	–	Long Short-Term Memory (Довготривала пам'ять)
GRU	–	Gated Recurrent Unit (Рекурентна мережа з вентилями)
AE	–	Autoencoder (Автоенкодер)
VAE	–	Variational Autoencoder (Варіаційний автоенкодер)
GNN	–	Graph Neural Network (Графова нейронна мережа)
NLP	–	Natural Language Processing (Обробка природної мови)
IDS	–	Intrusion Detection System (Система виявлення вторгнень)
IPS	–	Intrusion Prevention System (Система запобігання вторгненням)
NDR	–	Network Detection and Response (Виявлення та реагування на мережеві загрози)
SIEM	–	Security Information and Event Management (Управління інформацією та подіями безпеки)
SOAR	–	Security Orchestration Automation and Response (Автоматизація та реагування)
UEBA	–	User and Entity Behavior Analytics (Поведінкова аналітика користувачів і сутностей)
SOC	–	Security Operations Center (Операційний центр безпеки)
TI	–	Threat Intelligence (Розвідка загроз)
IoC	–	Indicator of Compromise (Індикатор компрометації)
IP	–	Internet Protocol (Мережевий протокол)
TCP	–	Transmission Control Protocol (Протокол керування передаванням)

UDP	–	User Datagram Protocol (Протокол користувачьких дейтаграм)
DNS	–	Domain Name System (Система доменних імен)
HTTP	–	HyperText Transfer Protocol (Протокол передавання гіпертексту)
HTTPS	–	HTTP Secure (Захищений HTTP)
TLS	–	Transport Layer Security (Захист транспортного рівня)
CPU	–	Central Processing Unit (Центральний процесор)
RAM	–	Random Access Memory (Оперативна пам'ять)
VM	–	Virtual Machine (Віртуальна машина)
VPC	–	Virtual Private Cloud (Віртуальна приватна хмара)
VPS	–	Virtual Private Server (Віртуальний приватний сервер)
QoS	–	Quality of Service (Якість обслуговування)
СІІ	–	Critical Information Infrastructure (Критична інформаційна інфраструктура)
F1-score	–	F1 Score (Метрика якості моделі)
Precision	–	Precision (Точність)
Recall	–	Recall (Повнота)

## ВСТУП

Зростання залежності критичних інформаційних інфраструктур (енергетика, транспорт, охорона здоров'я, фінансовий сектор) від мережевих сервісів, а також хмарних і периферійних платформ, супроводжується активізацією широкого спектра кіберзагроз. До нього належать як високоінтенсивні події (об'ємні L3/L4-DDoS, L7-атаки на веб та API), так і низькоінтенсивні/тривалі відхилення (C2-beaconing, повільна ексфільтрація даних, поступова деградація сервісів, зміна профілів протоколів у сегментах ICS/SCADA). Спільною ознакою є маскування під легітимну активність і зсув поведінкових патернів трафіку, що поступово погіршує якість сервісу й безпеку технологічних процесів. Забезпечення ефективного виявлення та короткострокового прогнозування таких відхилень — незалежно від їхньої інтенсивності — є критично важливим для стійкості та безперервності функціонування КІІ(критичних інформаційних інфраструктур).

Основні проблеми, що потребують вирішення:

- складність детектування через різноманітність сценаріїв (інтенсивні й низькоінтенсивні), багатошаровість L3–L7 та маскування під легітимну активність, що знижує ефективність традиційного порогового/сигнатурного аналізу;
- нестационарність трафіку (concept drift), сезонність навантажень і часті зміни топології мереж;
- широке застосування шифрування та нових протоколів (HTTP/2, QUIC, DoH/DoT), що обмежує можливості класичного DPI та вимагає metadata-driven/поведінкових підходів;
- гетерогенність середовищ ІТ/ОТ, наявність промислових протоколів (Modbus, DNP3) і обмежені обчислювальні ресурси edge-пристроїв;
- необхідність балансу між зниженням хибнопозитивних/хибнонегативних спрацювань і збереженням доступності та SLA для легітимних користувачів і технологічних процесів;

- дефіцит розмічених даних і вимоги приватності, що зумовлює потребу у безнаглядних/напівнаглядних методах і генерації синтетичних вибірок;
- вимоги до пояснюваності рішень і їхньої інтеграції з SOC/SIEM/SOAR у реальному часі.

Створення спеціалізованої інтелектуальної системи виявлення та прогнозування аномалій мережевого трафіку КІІ має враховувати інтеграцію з сучасними технологіями потокової аналітики; використання гібридних моделей (реконструкція + короткострокове прогнозування) з адаптивним порогуванням і контрольованою часткою хибних сповіщень; механізми виявлення зсувів концепції; а також семантичну атрибуцію інцидентів на основі графа знань і тактик/технік MITRE ATT&CK із подальшим ризик-скорингом. Безперервне оновлення моделей та відповідність вимогам до затримки, надійності й приватності забезпечать своєчасне попередження загроз і підвищення рівня кіберстійкості КІІ.

#### **Актуальність:**

Сучасні критичні інформаційні інфраструктури (енергетика, транспорт, охорона здоров'я, фінансовий сектор) стрімко діджиталізуються та покладаються на мережеві сервіси, хмарні й периферійні платформи. На цьому тлі зростає спектр кіберзагроз, що проявляються як високої інтенсивності (об'ємні L3/L4-DDoS, L7-атаки на веб- і API-сервіси), так і низькоінтенсивні/довготривалі відхилення (повільне виснаження ресурсів, C2-beaconing, латеральні переміщення, ексфільтрація даних, зміни профілів протоколів у сегментах ICS/SCADA). Спільною рисою є зсув поведінкових патернів трафіку, що негативно впливає на доступність, цілісність і безперервність технологічних процесів та створює істотні економічні ризики для операторів КІІ. Попри прогрес у моніторингу та реагуванні, значна частина рішень залишається орієнтованою на сигнатури або на явні прояви високої інтенсивності. В умовах шифрування (TLS 1.3, HTTP/2, QUIC, DoH/DoT), гібридних IT/OT-середовищ і обмежених ресурсів edge-пристроїв

інформативність пакетних полів зменшується, а поведінка користувачів і сервісів стає нестабільною. Додаткові виклики зумовлюють дефіцит розмічених даних, наявність зсувів концепції (seasonality, зміни топологій/навантажень) та потреба у пояснюваності рішень для скорочення часу виявлення й обробки інцидентів у SOC.

Аналіз сучасних праць засвідчує, що проблема раннього виявлення та короткострокового прогнозування різнотипних аномалій і їхньої семантичної атрибуції для КІІ вирішена неповною мірою. Типові системи або не відрізняють тонкі поведінкові відхилення від нормального трафіку, або генерують надмірну кількість хибних сповіщень, що затримує реагування й призводить до помилкових блокувань. Актуальним є розроблення гібридних методів, які поєднують реконструкційні моделі та моделі короткострокового прогнозування, підтримують адаптивне порогування з контрольованою часткою хибнопозитивних спрацювань, виявляють зсуви концепції та забезпечують семантичну атрибуцію інцидентів (у т.ч. в термінах MITRE ATT&CK) з подальшим ризик-скорингом та інтеграцією у процеси SIEM/SOAR.

Основні проблеми, що зумовлюють актуальність дослідження, такі:

- різна інтенсивність і варіативність проявів аномалій, через що традиційні порогові/сигнатурні підходи дають запізніле спрацювання або пропуски;
- широке використання шифрування та новітніх протоколів, що обмежує DPI й потребує metadata-driven/поведінкових методів;
- гетерогенність середовищ КІІ (ІТ/ОТ, ІС/SCADA, хмара/edge) і різна критичність активів за умов обмежених обчислювальних ресурсів;
- нестабільність статистики трафіку (concept drift), сезонність та динамічні зміни конфігурацій;
- дефіцит якісно розмічених даних, необхідність безнаглядних/напівнаглядних підходів і генерації синтетичних вибірок;
- вимоги до пояснюваності та узгодження з процесами SOC (зменшення МТТА/МТТР, пріоритизація алертів);

– потреба у масштабованості й робастності до навмисних впливів на дані/моделі (ухилення, отруєння).

Отже, створення спеціалізованої інтелектуальної системи виявлення аномалій мережевого трафіку для об'єктів КІІ, що поєднує гібридні моделі детектування й прогнозування, адаптивне пороговування, механізми виявлення зсувів концепції та семантичну атрибуцію з ризик-скорингом і інтеграцією в SIEM/SOAR, є науково й практично значущим завданням. Очікувані результати сприятимуть підвищенню кіберстійкості критичних сервісів, зниженню хибних сповіщень і своєчасному попередженню потенційно небезпечних інцидентів.

### **Зв'язок роботи з науковими програмами, планами та темами**

Спрямованість дисертаційного дослідження узгоджується з вимогами чинного законодавства України у сфері кібербезпеки та захисту інформації, зокрема Законів України «Про основні засади забезпечення кібербезпеки України», «Про захист інформації в інформаційно-комунікаційних системах», «Про інформацію», «Про захист персональних даних», «Про національну безпеку України», а також державних стратегій і відомчих програм із підвищення кіберстійкості об'єктів критичної інфраструктури. Тематика роботи корелює з міжнародними підходами та стандартами управління інцидентами й операційної безпеки (ISO/IEC 27001/27035, IEC 62443, NIST тощо), що забезпечує можливість подальшої інтеграції результатів у практику SOC/SIEM/SOAR.

Дисертаційна робота виконується за планами наукової та науково-технічної діяльності Державного університету інформаційно-комунікаційних технологій і в межах тематичних НДР кафедри (університету), присвячених моделюванню кіберзагроз для промислових об'єктів і створенню інтелектуальних систем моніторингу. Внесок автора полягає у розробленні методів і моделей виявлення та короткострокового прогнозування аномалій мережевого трафіку на об'єктах КІІ з подальшою семантичною атрибуцією

інцидентів і ризик-скорингом, що є логічним продовженням робіт зі зміцнення кіберстійкості серверних і технологічних сегментів.

**Метою дослідження** є підвищення ефективності виявлення аномалій мережевого трафіку шляхом інтеграції сучасних методів глибокого навчання з адаптивним механізмом аналізу критичності подій.

Для досягнення мети необхідно вирішити такі **задачі**:

- аналіз сучасних методів та моделей виявлення аномалій мережевого трафіку;
- розробка моделей прогнозування і виявлення кібербезпекових аномалій та визначення їх критичності.
- розробка математичної моделі семантичної атрибуції кіберінцидентів у системах виявлення аномалій;
- розробка методів виявлення аномалій та оцінювання їх критичності в режимі реального часу;
- розробка узагальненої моделі інтелектуальної системи прогнозування та виявлення аномалій;
- розробка алгоритмічного та програмного забезпечення реалізації узагальненої системи прогнозування та виявлення кіберінцидентів і проведення експериментального дослідження з метою підтвердження достовірності теоретичних розробок і практичної ефективності запропонованих рішень;

**Об’єкт дослідження** — процес виявлення аномалій мережевого трафіку на об’єктах критичних інформаційних інфраструктур.

**Предмет дослідження** — методи та моделі виявлення аномалій мережевого трафіку .

**Методи дослідження** ґрунтуються на потоковій обробці мережевого трафіку з агрегуванням пакетів у флоу/запити в часових вікнах та побудові метаданих і поведінкових ознак (статистичних, протокольних, часових, ентропійних, графових), придатних і для шифрованих протоколів.



Запропоновано гібридний підхід: реконструкційні моделі ( $\text{AE}/\beta\text{-VAE}$ ) для виявлення відхилень структури ознак поєднано з моделями короткострокового прогнозування (LSTM/TCN/Transformer) для фіксації аномальної динаміки. Застосовано адаптивне порогування з контролем частки хибних сповіщень та виявлення зсувів концепції (наприклад, CUSUM/Page-Hinkley/ADWIN). Для семантичної атрибуції інцидентів використано граф знань і мапування на тактики/техніки MITRE ATT&CK з формуванням інтегрального ризик-скорингу.

Достовірність наукових результатів, висновків і рекомендацій забезпечено коректним використанням математичного апарату, крос-валідацією, бутстреп-оцінюванням довірчих інтервалів, абляційними дослідженнями та аналізом чутливості гіперпараметрів. Оцінювання проводилося за метриками Precision/Recall/F1, ROC-AUC/PR-AUC, latency, throughput, а також за стійкістю до навмисних впливів (ухилення, отруєння даних). Вплив різнотипних мережевих атак (L3/L4/L7-DDoS, сканування, brute-force, C2-beaconing, латеральні переміщення, ексфільтрація, аномалії промислових протоколів) досліджено за допомогою симуляцій і експериментального моделювання на відкритих наборах та стендах ICS/SCADA у різних сценаріях навантаження. Результати теоретичних розробок підтверджено узгодженими показниками якості та відтворюваністю експериментів, що дозволило обґрунтувати практичну застосовність запропонованих методів для підвищення рівня захищеності КІІ.

**Наукова новизна одержаних результатів полягає у наступному:**

1. Вперше розроблено моделі прогнозування і виявлення кібербезпекових аномалій та визначення їх критичності, які за рахунок автоенкодерів та процедури формування динамічних порогів аномальності мережі, дозволяють формалізувати процес виявлення відхилень та відповідно оцінити вплив на стан кібербезпеки системи;
2. Вперше розроблено математичну модель семантичної атрибуції кіберінцидентів у системах виявлення аномалій, яка за рахунок процедур вирахування коефіцієнтів аномальності, інтерпретації у контексті типів

порушень, порівняння зі структурою активів критичної інфраструктури, дозволяє визначити множину вхідних і вихідних параметрів для формалізації процесу критичності кіберінцидентів;

3. Вперше розроблено методи виявлення аномалій та оцінювання їх критичності в режимі реального часу, які за рахунок етапів попередньої обробки даних, навчання автоенкодера, реконструкції даних, обчислення рівня аномальності, прогнозу значень мережевого трафіку, розрахунку стандартного відхилення похибок прогнозу, встановлення адаптивних меж аномальності, виявлення аномалій та відповідно підрахунку аномальних значень, обчислення рівня критичності, визначення категорій критичності та прийняття рішень, дозволило ранжувати події за рівнем небезпеки, скоротити час реагування в процесі інциденту, зменшити кількість хибнопозитивних спрацьовувань, стабілізувати часову стійкість детекції, підвищити рівень коректного розпізнавання загроз різної інтенсивності та відповідно визначити рівень загрози кіберінциденту;
4. Вперше запропоновано узагальнену модель інтелектуальної системи прогнозування та виявлення аномалій, яка за рахунок модулів збору телеметрії, автоенкодера, Multilayer Perceptron, агрегатора аномалій, семантичної атрибуції та оцінювання критичності, дозволяє здійснювати пріоритизацію реагування та підвищити ефективність управління кібербезпекою об'єктів критичної інформаційної інфраструктури.

#### **Практичне значення одержаних результатів:**

Створено програмо-алгоритмічний комплекс потокової аналітики для виявлення та короткострокового прогнозування аномалій мережевого трафіку різної інтенсивності з адаптивним порогуванням, виявленням concept drift, семантичною атрибуцією (у т.ч. MITRE ATT&CK) і ризик-скорингом; передбачено API для інтеграції з SIEM/SOAR, роботу у metadata-driven режимі над шифрованими протоколами (TLS 1.3/HTTP-2/QUIC) та розгортання on-prem/edge/cloud.

Розроблено методичні рекомендації щодо побудови конвеєра даних (збір, нормалізація, інференс у реальному часі), вибору ознак і калібрування порогів, а також чек-листи SOC з пріоритизації алертів («аномальність → ризик → дії») та вимог до журналювання/трасування.

Апробацію результатів виконано в межах тематичних НДР ДУІКТ та у навчальному процесі кафедри технічних систем кіберзахисту: підготовлено лабораторні роботи/кейси з аналізу трафіку IT/OT, сформовано навчальний стенд з елементами ICS/SCADA для відтворення типових сценаріїв інцидентів.

Експериментальна валідація на відкритих наборах і стендових даних показала зменшення частки хибних сповіщень, скорочення МТТА/MTTR і підвищення стабільності алерт-стріму за рахунок гібридної моделі та адаптивної калібровки; сформовано референтні сценарії тестування для подальших впроваджень.

Практична придатність підтверджується можливістю тиражування рішень для операторів КІІ (енергетика, транспорт, фінанси, охорона здоров'я), а також очікуваним економічним ефектом завдяки зниженню простоїв сервісів і витрат на інцидентне реагування.

### **Структура та обсяг дисертаційної роботи.**

Дисертація складається із вступу, чотирьох розділів та висновків до них, а також бібліографії, що містить 131 посилань на 9 сторінках. Загальний обсяг роботи становить 179 сторінки, з них 136 сторінки основного тексту, 9 малюнків, 18 таблиць.

## **РОЗДІЛ 1. АНАЛІЗ СУЧАСНИХ МЕТОДІВ ТА МОДЕЛЕЙ ВИЯВЛЕННЯ АНОМАЛІЙ МЕРЕЖЕВОГО ТРАФІКУ**

### **1.1. Аналіз існуючих методів виявлення аномалій мережевого трафіку**

Виявлення аномалій у мережевому трафіку є одним із ключових напрямів у забезпеченні кібербезпеки сучасних інформаційних систем і розглядається як базова складова систем моніторингу стану мережевої інфраструктури[13; 17; 31]. Складність цієї проблеми зумовлена тим, що більшість сучасних атак мають багатовекторний характер, часто поєднують кілька рівнів впливу та використовують шифрування або легітимні канали зв'язку, що суттєво ускладнює їхнє своєчасне виявлення класичними засобами контролю[55; 64; 93]. Історично розвиток методів виявлення аномалій починався з простих сигнатурних систем, які базувалися на жорстко визначених шаблонах та правилах і діяли за принципом «збігу з відомою атакою» [34; 35]. Зі зростанням складності мережевих протоколів та появою нових загроз акцент поступово змістився у бік статистичних моделей, що дозволяли оцінювати поведінку мережі через динамічні характеристики потоків даних [76; 87]. Цей етап став важливим для переходу від статичного аналізу до поведінкових моделей, які враховують часову змінність процесів[81; 92].

Подальший прорив відбувся завдяки методам машинного навчання, які дали змогу системам безпеки навчатися на історичних даних і формувати власні уявлення про нормальну активність[43; 44; 46; 68]. Алгоритми класифікації, кластеризації та прогнозування стали основою для створення інтелектуальних IDS/IPS, здатних розпізнавати нові типи загроз без попередньо визначених правил[57; 60; 62]. Сьогодні розвиток технологій глибинного навчання, автоенкодерів та рекурентних нейронних мереж дозволив перейти від реактивних до проактивних систем виявлення аномалій, які здатні не лише виявляти відхилення, а й прогнозувати потенційні ризики[72; 74; 79; 90].

Протягом останніх двох десятиліть дослідники запропонували широкий спектр методів виявлення аномалій, які можна умовно поділити на чотири основні групи: сигнатурні, статистичні, методи машинного навчання та гібридні інтелектуальні підходи[55; 66; 91]. Кожен із них формувався під впливом розвитку мережевих технологій, зростання обсягів трафіку та вимог до швидкодії систем безпеки. Сьогодні аналіз цих підходів дозволяє зробити висновок, що тенденція рухається в напрямі інтеграції — створення універсальних гібридних моделей, здатних забезпечувати не лише детектування, але й семантичну інтерпретацію подій у контексті загальної архітектури кіберзахисту[110; 105].

### **Сигнатурні методи**

Сигнатурні методи базуються на принципі пошуку відомих шаблонів атак у мережевому трафіку, що дозволяє системі ідентифікувати зловмисну активність через порівняння вхідних даних із базою відомих сигнатур[33; 34]. Вони використовують набори правил і шаблонів, створених на основі попередніх досліджень або реєстрації відомих інцидентів безпеки, де кожна сигнатура описує характерні ознаки певного типу атаки — наприклад, специфічну послідовність байтів, шаблон запиту або частоту звернень до портів. До найвідоміших представників цього підходу належать Snort, Suricata, Zeek (Bro IDS) та OSSEC, які є основою для побудови класичних систем виявлення та запобігання вторгненням (IDS/IPS) [54; 66; 78]. Вони інтегруються на рівні мережевих шлюзів або серверів і виконують аналіз у реальному часі, генеруючи сигнали тривоги у разі виявлення збігів з відомими шаблонами атак.

Перевагою сигнатурних методів є висока точність для вже відомих типів загроз та мінімальна кількість хибнопозитивних результатів[56; 70], що робить їх ефективними у стабільному середовищі з прогнозованими сценаріями ризику. Водночас їхня обмеженість полягає у неможливості виявляти нові, невідомі атаки (так звані zero-day загрози) [69; 82], які ще не мають відповідних сигнатур у базі даних. Крім того, підтримка таких систем потребує постійного оновлення

бази правил, що створює додаткове навантаження на адміністратора і може спричинити затримки в реагуванні на нові інциденти[118; 120].

Історично сигнатурні системи стали першими інструментами для масового моніторингу безпеки — їх активно впроваджували в корпоративних мережах ще на початку 2000-х років[70]. Наприклад, Snort, створений Мартіном Рошем у 1998 році, став прототипом для подальших IDS-платформ, зокрема Cisco Firepower[124]. Suricata, яка з'явилася пізніше, запровадила підтримку багатопоточності та можливість аналізу SSL/HTTPS-трафіку[66], що підвищило продуктивність і придатність до масштабування. Zeek (раніше Bro) орієнтувався на сценарне програмування, що дозволяло аналітикам створювати власні правила для детекції складних поведінкових шаблонів[78].

Попри свою зрілість і широке застосування, сигнатурні системи залишаються лише одним із компонентів сучасної архітектури безпеки. Їхня роль нині змістилася у бік попереднього фільтрування — вони використовуються як перший рівень оборони, що виявляє найпоширеніші загрози, а більш глибокий аналіз передається до інтелектуальних модулів машинного навчання або поведінкової аналітики. Таким чином, сигнатурні методи виконують важливу роль у загальній системі багаторівневого кіберзахисту, але не можуть забезпечити самодостатній захист у сучасних умовах швидкої еволюції кіберзагроз[105; 131].

### **Статистичні методи**

На відміну від сигнатурних, статистичні методи аналізують відхилення від нормальної поведінки системи, що дозволяє виявляти події, які виходять за межі звичних закономірностей[76; 87]. Вони будують математичні моделі, які описують типову активність мережі, і порівнюють поточні значення показників (інтенсивність пакетів, розмір запитів, час між подіями, обсяг переданих даних) із нормою, визначеною на основі історичних спостережень. Якщо значення перевищують статистичний поріг, система фіксує аномалію, навіть якщо така подія не має відомої сигнатури.

До поширених алгоритмів статистичного аналізу належать Gaussian Mixture Models, ARIMA, CUSUM, PCA, а також методи ковзного середнього та ентропійного моніторингу[76; 87; 92]. Вони використовуються для оцінки розподілу мережевих параметрів, визначення тенденцій зміни трафіку та прогнозування ймовірності відхилення. Зокрема, ARIMA ефективна для моделювання часових рядів, тоді як PCA дозволяє зменшити розмірність даних і виокремити найбільш інформативні ознаки. Серед практичних реалізацій можна відзначити системи NetFlow Analyzer та Wireshark, що інтегрують статистичні модулі для розпізнавання нетипових потоків[78; 120]. Такі інструменти ефективні у корпоративних середовищах, де можливо накопичувати великі обсяги даних для побудови еталонної моделі поведінки.

Попри переваги, статистичні методи мають низку обмежень: вони часто генерують значну кількість хибнопозитивних спрацьовувань через природні коливання трафіку, а також потребують ретельного налаштування порогових значень[90; 95]. Їхня ефективність значною мірою залежить від стабільності мережі, наявності історичних даних для калібрування та точності вибору характеристик, що описують норму. Проте саме ці підходи стали основою для розвитку поведінкової аналітики, яка поєднує статистичні моделі з алгоритмами машинного навчання, відкриваючи шлях до створення сучасних систем виявлення аномалій[81].

### **Методи машинного навчання**

Із розвитком технологій штучного інтелекту методи машинного навчання стали ключовим напрямом у побудові систем виявлення аномалій. Їхня відмінність від традиційних статистичних підходів полягає у здатності автоматично формувати моделі поведінки без жорстко визначених правил. Система не обмежується статичними критеріями, а навчається на історичних даних, поступово адаптуючись до динаміки мережевого середовища. На початкових етапах розвитку машинного навчання в кібербезпеці застосовувалися класичні алгоритми, такі як Support Vector Machines (SVM), k-

Nearest Neighbors (k-NN), Random Forest, Naïve Bayes, Decision Tree та Logistic Regression[52; 43; 66]. Вони дозволяли будувати класифікатори, що відрізняли нормальну поведінку від аномальної, використовуючи певний набір ознак: частоту звернень до портів, обсяг переданих даних, тип протоколів, час між запитами тощо. Наприклад, алгоритм SVM виявився ефективним для задач із високою розмірністю простору ознак, а Random Forest продемонстрував стійкість до шумів і здатність працювати з нерівномірними вибірками[66; 72; 79].

Важливу роль відіграє етап попередньої обробки даних, адже якість моделі прямо залежить від репрезентативності вибірки. Для навчання таких моделей використовуються відкриті набори даних, серед яких KDD99, NSL-KDD, UNSW-NB15, CICIDS2017. Ці набори містять тисячі зразків мережевих з'єднань, позначених як «нормальні» або «аномальні». Хоча вони стали стандартом для порівняльних досліджень, реальні корпоративні мережі часто мають іншу структуру трафіку, тому сучасні дослідження переходять до онлайн-навчання — динамічного оновлення моделей у процесі роботи. Подальший прорив у точності та гнучкості виявлення аномалій забезпечили архітектури глибинного навчання. Найбільш поширеними є автоенкодера (Autoencoder, Variational Autoencoder), рекурентні нейронні мережі (LSTM, GRU), згорткові мережі (CNN), а також графові нейронні мережі (GNN) [58; 115].

Автоенкодера навчаються відновлювати вхідні дані після стиснення, і якщо відновлення суттєво відрізняється від оригіналу, це свідчить про наявність аномалії. Рекурентні моделі використовуються для аналізу часових рядів, наприклад, при моніторингу послідовностей запитів чи трафіку TCP-сеансів. CNN виявляють просторові закономірності, особливо ефективні при аналізі мережевих пакетів у вигляді матриць ознак. GNN застосовуються для моделювання зв'язків між вузлами мережі, дозволяючи розпізнавати складні сценарії атак, як-от lateral movement або розповсюдження шкідливого коду в кластері. У промислових рішеннях ці підходи реалізовано у вигляді нейронних IDS/IPS, які працюють у реальному часі, наприклад, системи DeepLog, Kitsune,



OmniAnomaly. Вони демонструють високу точність (до 95–98%), здатність адаптуватися до нових типів загроз і знижувати кількість хибнопозитивних спрацьовувань[79]. Проте впровадження таких моделей супроводжується складнощами — високими обчислювальними витратами, потребою в GPU-ресурсах, ризиком перенавчання та низькою пояснюваністю («чорна скринька»). Тому в наукових колах активно розвивається напрям Explainable AI (XAI), що дозволяє пояснювати причини рішень моделі через візуалізацію ваг ознак і контекст подій.

Важливою тенденцією останніх років є інтеграція моделей машинного навчання з семантичними базами знань, такими як MITRE ATT&CK або Cyber Kill Chain [118; 119]. Такий підхід дає змогу не лише виявити факт аномалії, а й атрибутувати її до конкретної техніки атаки. Це підвищує цінність результатів для аналітиків безпеки та дозволяє формувати автоматизовані сценарії реагування (SOAR — Security Orchestration, Automation and Response) [43]. Методи машинного навчання відіграють вирішальну роль у переході від реактивного виявлення загроз до проактивного прогнозування інцидентів. Їхня ефективність залежить від якості навчальних даних, коректної архітектури моделі та здатності системи до самонавчання в реальному часі. У поєднанні з гібридними підходами вони формують основу нової генерації інтелектуальних систем кіберзахисту[90].

### **Гібридні методи**

Останнім часом активно розвиваються гібридні підходи, які поєднують декілька рівнів аналізу — сигнатурний, статистичний і поведінковий. Вони використовують багатопланові архітектури, де перший рівень здійснює базове фільтрування трафіку за відомими сигнатурами, другий — застосовує статистичні моделі для виявлення відхилень, а третій — інтегрує інтелектуальні алгоритми для поглибленого аналізу причин аномалій[46; 50; 91]. Така комбінація дозволяє одночасно досягати швидкого реагування на відомі атаки та гнучкості у розпізнаванні нових, раніше невідомих загроз.

Прикладом практичної реалізації гібридних систем є Darktrace, IBM QRadar, Splunk Enterprise Security, Cisco Secure Network Analytics та Azure Sentinel[125]. Ці платформи використовують методи машинного навчання у поєднанні з класичними механізмами IDS, формуючи багаторівневу модель безпеки. Наприклад, Darktrace використовує концепцію «Enterprise Immune System», де поведінка кожного пристрою аналізується як елемент «цифрової імунної системи» організації. IBM QRadar орієнтований на інтеграцію з джерелами подій і логів, забезпечуючи централізовану кореляцію інцидентів, тоді як Splunk Enterprise Security застосовує потужну аналітику великих даних для виявлення закономірностей у потоках інформації[123; 126]. Cisco Secure Network Analytics (раніше Stealthwatch) поєднує поведінковий аналіз і статистичну обробку для виявлення прихованих загроз у внутрішніх мережах, а Azure Sentinel інтегрує хмарну аналітику з технологіями штучного інтелекту Microsoft[120].

Гібридні системи відзначаються високою адаптивністю, здатністю до самонавчання, контекстною аналітикою та пояснюваністю результатів, що робить їх ефективними для великих інфраструктур з великою кількістю джерел даних. Проте їхня реалізація залишається технічно складною, оскільки потребує інтеграції різномірних компонентів, налаштування потоків телеметрії та значних обчислювальних ресурсів. Незважаючи на це, саме гібридні підходи сьогодні розглядаються як найбільш перспективний напрям розвитку систем виявлення аномалій, здатний забезпечити баланс між точністю, швидкістю та пояснюваністю рішень[105; 131].

Порівняльна таблиця нижче узагальнює ключові характеристики основних груп методів виявлення аномалій. Вона дозволяє побачити, що кожен підхід розвивався у відповідь на конкретні потреби мережевої безпеки: сигнатурні — для швидкого реагування на відомі загрози, статистичні — для виявлення нових відхилень, методи машинного навчання — для інтелектуальної обробки великих даних, а гібридні — як спроба об'єднати точність, гнучкість і адаптивність у

єдину систему. Таке узагальнення демонструє еволюцію технологій від простих детекторів до складних систем, що здатні не лише реагувати на аномалії, а й інтерпретувати їх контекст та прогнозувати можливі ризики[105; 127; 131].

Таблиця 1.1

Порівняльна таблиця

<b>Підхід</b>	<b>Основна ідея</b>	<b>Переваги</b>	<b>Недоліки</b>
Сигнатурний	Пошук відомих шаблонів атак	Висока точність для відомих загроз; низький рівень хибнопозитивних результатів	Не виявляє нові атаки; потребує оновлення бази сигнатур
Статистичний	Аналіз відхилень від нормальної поведінки	Виявлення невідомих атак; простота інтерпретації	Велика кількість хибнопозитивних спрацювань; чутливість до змін середовища
Машинного навчання	Побудова класифікаційних моделей	Висока точність; адаптивність	Висока обчислювальна складність; потреба у великих даних
Гібридний	Комбінація сигнатурного, статистичного та ML-аналізу	Баланс між точністю і швидкістю; адаптивність	Складність архітектури; висока вартість впровадження

Проведений аналіз засвідчив, що еволюція методів виявлення аномалій у мережевому трафіку відбувалася у напрямі підвищення рівня інтелектуалізації систем безпеки. Початкові сигнатурні рішення забезпечували швидке реагування на відомі загрози, але виявилися безсилими перед новими типами атак. Статистичні підходи дозволили перейти до поведінкової аналітики, що відкрила можливість виявлення невідомих відхилень, хоча й з ціною збільшення кількості хибнопозитивних спрацювань. Методи машинного навчання зробили суттєвий крок уперед, забезпечивши адаптивність і здатність аналізувати складні нелінійні залежності у трафіку, проте вимоги до якості даних і потужності обчислень залишаються їхнім критичним обмеженням[43; 46; 68].

На сучасному етапі найбільш ефективними визнаються гібридні інтелектуальні системи, що поєднують сигнатурні, статистичні та навчальні підходи. Вони здатні не лише фіксувати факт аномалії, а й інтерпретувати її контекст, прогнозувати розвиток подій і знижувати ризики за рахунок інтеграції з базами знань типу MITRE ATT&CK[118]. Таким чином, саме гібридні системи

формують нову парадигму розвитку кіберзахисту — від реактивного виявлення до проактивного управління інформаційною безпекою[105; 123; 125].

## **1.2. Моделі виявлення аномалій мережевого трафіку**

Практична придатність підтверджується можливістю тиражування рішень для операторів КП (енергетика, транспорт, фінанси, охорона здоров'я), а також очікуваним економічним ефектом завдяки зниженню простоїв сервісів і витрат на інцидентне реагування[13; 17; 20; 31; 122]. Моделі виявлення аномалій у мережевому трафіку є центральним елементом сучасних систем кіберзахисту, що забезпечують раннє виявлення загроз, превентивне реагування та мінімізацію наслідків атак[21; 22; 33; 42; 43; 52]. Вони формують основу для побудови автоматизованих систем моніторингу, які здатні розпізнавати як очевидні, так і приховані загрози, що проявляються у вигляді нетипових шаблонів поведінки мережевих об'єктів[55; 64; 91]. У той час як класичні підходи базуються на сигнатурному пошуку відомих атак, моделі виявлення аномалій використовують широкий спектр математичних, статистичних і алгоритмічних засобів для глибокого аналізу поведінкових патернів, статистичних характеристик, часових залежностей та топологічних зв'язків між елементами мережі[36; 39; 50; 55; 76; 87; 90]. Вони спираються на гіпотезу, що більшість мережевої активності має стабільні закономірності, а відхилення від них потенційно свідчать про наявність шкідливих або підозрілих дій[55; 64; 76]. Для ефективного функціонування такі моделі враховують комплекс факторів: інтенсивність трафіку, періодичність запитів, типи протоколів, співвідношення вхідних і вихідних потоків, затримки пакетів, а також поведінку користувачів і серверів. Ці параметри формують вектор ознак, на основі якого система буде статистичний або навчальний профіль «норми» [36; 37; 50]. Відповідно, кожне відхилення, що перевищує заданий поріг, інтерпретується як потенційна аномалія[55; 76].

Сучасні моделі розглядають проблему не лише як задачу класифікації, а й як процес багаторівневого аналізу — від первинної детекції до семантичної

інтерпретації[43; 46; 68; 91]. У цьому контексті вони можуть використовувати як детерміністичні правила, так і стохастичні або нейронні підходи, здатні враховувати складні взаємозв'язки між змінними[36; 39; 72; 79]. Такий підхід дозволяє системам виявлення аномалій працювати у реальному часі, адаптуючись до змін мережевого середовища й одночасно мінімізуючи кількість хибних спрацьовувань[43; 55; 81; 90]. Завдяки цьому моделі виявлення аномалій стають не лише інструментом реагування на інциденти, а й активним компонентом аналітичної інфраструктури організації, який підтримує прийняття рішень, прогнозує ризики й допомагає у формуванні стратегій кіберзахисту нового покоління[52; 94; 105; 123].

Сучасні моделі виявлення аномалій можна класифікувати за способом навчання та типом даних, що аналізуються[55; 60; 76; 83; 91; 96; 107]:

**Моделі з учителем (Supervised Learning)** — будуються на основі розмічених наборів даних, де кожен зразок має мітку «нормальний» або «аномальний». Вони ефективні для задач, у яких доступна репрезентативна вибірка атак і звичайної поведінки. До цієї групи належать алгоритми SVM, Decision Tree, Random Forest, Naïve Bayes, Logistic Regression[36; 39; 43; 52; 55; 68]. Їхня перевага — висока точність класифікації, але вони мають обмежену здатність до виявлення нових типів атак, які не представлені у навчальних даних[55; 64; 68; 91].

**Моделі без учителя (Unsupervised Learning)** — не потребують попередньої розмітки, що робить їх придатними для динамічних середовищ, де складно отримати зразки аномалій. Вони використовують методи кластеризації (K-Means, DBSCAN), щільності (LOF, Gaussian Mixture Models) або зниження розмірності(PCA, t-SNE) для виявлення точок, які відхиляються від основної структури даних [55; 60; 76; 83; 91]. Ці моделі здатні виявляти невідомі атаки, проте часто генерують більшу кількість хибнопозитивних спрацьовувань[76; 81; 90].

**Напівавчительні (Semi-Supervised Learning)** — поєднують обидва підходи: вони навчаються на нормальному трафіку і визначають будь-яке відхилення від нього як потенційну аномалію[57; 58; 72; 84; 95]. Приклади — Autoencoder, One-Class SVM, Isolation Forest. Цей тип моделей є компромісом між точністю і узагальнюваністю та має найкраще співвідношення між кількістю даних і продуктивністю системи[55; 83; 91].

**Гібридні моделі (Hybrid Models)** — поєднують кілька механізмів аналізу: сигнатурний, статистичний, машинного навчання та глибинного аналізу[46; 50; 91; 96; 107]. Вони здатні об'єднувати переваги різних підходів, забезпечуючи високу точність і адаптивність. Приклади таких рішень реалізовані у промислових платформах Darktrace, Splunk, IBM QRadar, Azure Sentinel[120; 123; 125; 126; 131].

Побудова ефективної моделі виявлення аномалій передбачає кілька ключових етапів:

*Збір даних.* На цьому етапі формується основа для подальшого аналізу. Збір даних включає акумуляцію інформації з різних джерел — журналів подій систем і додатків, мережевих пакетів (PCAP), потоків NetFlow/IPFIX, телеметрії з сенсорів IDS/IPS (Snort, Zeek, Suricata) і логів міжмережевих екранів [54; 60; 66; 78; 115; 120]. Важливо забезпечити різноманітність джерел, щоб модель могла відображати повну картину мережевої активності. Якість та повнота даних безпосередньо впливають на точність побудованої моделі, тому до процесу збору висуваються вимоги щодо репрезентативності, відсутності пропусків і узгодженості часових позначок[43; 55; 60].

*Попередня обробка даних.* Цей етап є ключовим для перетворення сирих даних у формат, придатний для машинного аналізу. Він включає очищення від шумів, видалення дублікатів, фільтрацію неінформативних записів, нормалізацію параметрів, агрегування за часовими інтервалами та стандартизацію форматів[36; 37; 39; 50; 76]. Застосовуються методи відбору ознак (Feature Selection) — статистичні показники (ентропія, дисперсія,

кореляція), методи зменшення розмірності (PCA) і фільтраційні підходи, які допомагають залишити лише найзначущі фактори, що впливають на поведінку системи. Додатково використовуються методи перетворення категоріальних змінних у числові (One-Hot Encoding, Label Encoding) для забезпечення сумісності з алгоритмами машинного навчання[36; 37; 39].

*Навчання моделі.* На цьому етапі відбувається безпосереднє формування інтелектуальної системи. Підбираються оптимальні алгоритми (SVM, Random Forest, Neural Networks, Autoencoder, LSTM) та налаштовуються їхні гіперпараметри[36; 39; 43; 52]. Для запобігання перенавчанню використовуються методи крос-валідації, регуляризації, ансамблеві техніки (Bagging, Boosting, Stacking). Важливо забезпечити узгодженість вибірок і рівномірне представлення класів для уникнення зміщень у результатах. У глибоких моделях часто використовується попереднє навчання (pretraining) і подальше тонке налаштування (fine-tuning) для підвищення якості детекції[72; 79; 90].

*Оцінка ефективності.* Після навчання модель піддається тестуванню на незалежних наборах даних. Оцінюються метрики якості — точність (Precision), повнота (Recall), збалансована оцінка (F1-score), площа під кривою ROC (ROC-AUC). Крім того, аналізуються показники хибнопозитивних (FP) та хибнонегативних (FN) спрацьовувань, затримка реагування, стабільність у часі[55; 76; 90]. У складних системах проводиться також оцінка explainability (пояснюваності) результатів через методи SHAP, LIME або attention-візуалізації для інтерпретації поведінки моделі[90; 110].

*Розгортання та підтримка.* Заключний етап передбачає інтеграцію моделі в реальну інфраструктуру — SOC (Security Operations Center) або SIEM (Security Information and Event Management) [95; 100; 101; 104]. Забезпечується її взаємодія з іншими модулями моніторингу, автоматизоване оновлення на основі нових даних, контроль дрейфу моделі (model drift) та періодичне перенавчання. У сучасних рішеннях використовуються CI/CD-підходи для постійного

вдосконалення моделей і зменшення часу між виявленням загрози та її усуненням[72; 79].

**Autoencoder-based Detection:** нейронна мережа навчається реконструювати нормальний трафік, створюючи стислу латентну репрезентацію мережевих ознак. Якщо під час реконструкції відхилення між вхідними та вихідними даними перевищує заданий поріг, це інтерпретується як аномалія. Такі системи добре підходять для виявлення невідомих атак, оскільки базуються на навчанні «нормальної» поведінки, але потребують значних обчислювальних ресурсів для навчання [72; 79].

**LSTM/GRU Models:** аналізують часові послідовності подій, дозволяючи виявляти залежності між подіями у часі. Рекурентні архітектури, такі як LSTM (Long Short-Term Memory) і GRU (Gated Recurrent Unit), ефективно фіксують закономірності у мережевому потоці, що змінюються з часом. Це робить їх придатними для виявлення складних патернів, зокрема атак типу DDoS, сканування портів або поступового вторгнення, яке розтягується на кілька часових вікон[67; 79; 90].

**Graph Neural Networks (GNN):** будують модель взаємодій між вузлами мережі у вигляді графу, де вершини відповідають хостам або користувачам, а ребра — мережевим зв'язкам. GNN дозволяють виявляти внутрішні аномалії (наприклад, lateral movement) завдяки аналізу топології зв'язків і змін у структурі взаємодій. Такі моделі добре масштабуються на великі корпоративні мережі та забезпечують контекстне розуміння аномальної поведінки [74; 96; 100].

**Transformers:** використовуються для контекстного аналізу потоків і послідовностей подій. Їхня архітектура з механізмом attention дозволяє враховувати залежності між будь-якими частинами вхідної послідовності, що робить їх ідеальними для потокового моніторингу трафіку та виявлення багаторівневих атак. Transformers можуть аналізувати великі обсяги даних у реальному часі, забезпечуючи баланс між точністю та швидкістю, але вимагають ретельного налаштування та оптимізації параметрів [72; 86; 91].



Порівняльна таблиця нижче узагальнює основні характеристики кожного типу моделей виявлення аномалій. Вона наочно демонструє, що різні підходи мають свої сильні сторони й обмеження залежно від типу даних, обсягів трафіку, доступності розмічених вибірок і вимог до швидкодії. Зокрема, моделі з учителем переважають у контрольованих умовах, а без учителя — при виявленні нових загроз. Напівавчительні рішення забезпечують компроміс між точністю й універсальністю, тоді як гібридні моделі поєднують гнучкість, контекстність і адаптивність, що робить їх найперспективнішими для використання у великих SOC-системах [91; 96; 105; 123].

Таблиця 1.2

Порівняльна таблиця моделей

Тип моделі	Переваги	Недоліки	Типові алгоритми
З учителем	Висока точність на відомих даних; пояснювані результати	Не виявляє нові типи атак; потребує великих наборів даних	SVM, Random Forest, Decision Tree
Без учителя	Не потребує розмічених вибірок; виявляє нові загрози	Високий рівень FP; потребує ручного калібрування	K-Means, DBSCAN, PCA, LOF
Напівавчительні	Самонавчання; ефективність при обмежених даних	Чутливість до вибору порогів	Autoencoder, One-Class SVM, Isolation Forest
Гібридні	Поєднання точності, швидкодії та масштабованості	Складна реалізація; великі витрати ресурсів	AE+LSTM, GNN, Transformer

Сучасні дослідження демонструють стійкий перехід від поодиноких алгоритмів до комплексних гібридних платформ, які поєднують поведінкову аналітику користувачів (UBA/UEBA), потокову обробку телеметрії (stream processing) та пояснюваний ШІ (XAI). Ключова ідея — не лише зафіксувати відхилення, а й надати інтерпретацію у бізнес- та операційному контексті: хто ініціював подію, через який ланцюжок взаємодій вона поширилась, які активи зачеплено і який ризик для процесів[94; 105; 110; 118; 123]. Нарощується використання глибинних архітектур у зв'язці з семантичними базами знань — насамперед MITRE ATT&CK і Cyber Kill Chain. Такі знання виконують роль «онтології загроз»: виявлена аномалія автоматично атрибутується до

тактики/техніки (наприклад, TA0005 “Defense Evasion”, T1027 “Obfuscated/Compressed Files”), що підвищує цінність сигналу для SOC-аналітика і зменшує середній час від виявлення до реагування [118; 120; 123; 125].

Важливий тренд — онлайн-навчання та детекція дрейфу даних (concept/data drift). Мережеве середовище змінюється: профілі користувачів, інфраструктура, хмарні сервіси. Системи переходять від періодичного офлайн-навчання до неперервного оновлення моделей з контролем стабільності та автоматичним тригером на перенавчання, коли статистика ознак суттєво зміщується.

У фокусі — self-supervised та contrastive learning для зменшення залежності від розмічених вибірок. Автомодельовані задачі (masked prediction, next-event prediction) дозволяють навчити корисні представлення трафіку, а потім тонко налаштувати модель на обмеженому наборі інцидентів. Паралельно зростає роль ансамблів (поєднання AE/LSTM/Transformer/GNN) та мульти-в’ю аналізу (поєднання мережевих флоу, логів аутентифікації, телеметрії endpoint-ів) [79; 90; 95;]. Для відповідності вимогам продуктивності застосовуються streaming-технології (Kafka/Flink/Spark Structured Streaming) та edge-обробка: частина фільтрації та фічеризації переноситься ближче до джерел трафіку, що знижує затримку й трафік у дата-лейк. Поширюється мікророзгортання моделей (ONNX, TensorRT) і методи модельної компресії (quantization, pruning) для realtime-диспетчеризації [41; 52; 100; 104].

Окремий напрям — безпека даних і приватність. Для навчання моделей використовують синтетичні вибірки, федеративне навчання (FL) та механізми диференційної приватності: це дозволяє об’єднувати «знання» з різних сегментів без централізації чутливої телеметрії [52; 53; 93; 100;]. У поєднанні з ХАІ (SHAP/LIME/attention-мапи) це рухає галузь до регуляторної сумісності (ISO/IEC 27001, NIS2, GDPR). Формується проактивна парадигма: моделі не лише виявляють аномалії, а й прогнозують ескалацію ризику (time-to-impact),

пропонують автоматизовані плейбуки реагування (SOAR) та адаптують пороги детекції відповідно до контексту (час доби, роль користувача, критичність активу). Це переводить SOC від реактивного «тушіння пожеж» до керованого зменшення ризиків[94; 105; 123; 131].

Моделі виявлення аномалій стали ядром еволюції мережевої безпеки: від сигнатурних правил — до інтелектуальних систем, що поєднують зразкове навчання, безнаглядні підходи та семантичну інтерпретацію. Сучасні вимоги — баланс точності, швидкодії, адаптивності та пояснюваності — практично не досяжні одним алгоритмом; їх забезпечує композиція моделей з різними сильними сторонами. Класичні supervised-моделі дають високу точність на відомих сценаріях, але залежать від розмітки[55; 68; 91]. Unsupervised/semi-supervised підходи краще виявляють нові загрози, проте потребують продуманого контролю FP і механізмів дрейф-менеджменту. Глибинні архітектури (AE/LSTM/Transformer/GNN) забезпечують якість і контекст, але вимагають ресурсів і ХАІ для прозорості. Найбільш життєздатною стратегією є гібридні інтелектуальні системи, що інтегрують потокову обробку, поведінкову аналітику UEBA, знання MITRE та автоматизоване реагування SOAR. Такі платформи зменшують час до виявлення й до реагування, підвищують довіру за рахунок пояснюваності, а також масштабуються під реалії хмар і розподілених мереж[94; 100; 104; 120].

Отже, подальший розвиток зосереджений на трьох векторах: (1) підвищення якості представлень даних через self-supervised/contrastive learning; (2) операційна зрілість — онлайн-навчання, drift-контроль, edge-інференс; (3) керованість ризиками — ХАІ, семантична атрибуція, проактивний прогноз і SOAR-автоматизація. У сукупності це формує основу самонавчальних, прогностичних та пояснюваних систем, здатних працювати у реальних високонавантажених мережах критичної інфраструктури[13; 17; 20; 31; 52].

### **1.3. Системи що враховують методи і моделі виявлення аномалій мережевого трафіку**

У цьому підрозділі здійснено систематичний огляд сучасних платформ і програмних продуктів, у яких реалізовано концепції, розглянуті у попередніх підрозділах (1.1–1.2): від сигнатурних систем детекції до статистичних, поведінкових і глибинних моделей штучного інтелекту, а також їхніх гібридних поєднань. Метою є визначення того, яким чином теоретичні підходи — математичні, статистичні, машинного навчання — трансформуються у практичні промислові рішення, що забезпечують комплексний моніторинг, аналіз і реагування на кіберзагрози[52; 94; 100; 104; 105]. Актуальність аналізу зумовлена стрімким зростанням складності мережевих інфраструктур, зокрема у хмарних і промислових середовищах, де класичні методи вже не здатні забезпечити необхідну точність і швидкість виявлення. У таких умовах відбувається інтеграція сигнатурних механізмів із поведінковими моделями, що навчаються у реальному часі, а також використання семантичних баз знань для інтерпретації аномалій у контексті кіберланцюгів атак (MITRE ATT&CK, Cyber Kill Chain) [54; 107; 118; 119; 123].

Сучасні системи виявлення аномалій поєднують декілька рівнів аналізу — від простого порівняння шаблонів до нейромережевих моделей, здатних розпізнавати складні, раніше невідомі відхилення[43; 55; 68; 72; 79; 91]. Такі платформи не лише детектують загрози, але й формують рекомендації щодо реагування, проводять оцінку ризиків і дозволяють прогнозувати розвиток подій. Для цього використовуються гібридні архітектури з потоковою обробкою даних (stream processing), кластеризацією поведінкових патернів, системами UEBA/UBA (User and Entity Behavior Analytics) та інтерфейсами пояснюваного штучного інтелекту (XAI) [52; 53; 94; 123].

Тому, підрозділ зосереджується на тому, щоб показати еволюцію практичних систем виявлення аномалій — від ізольованих сигнатурних інструментів до інтегрованих аналітичних екосистем, здатних працювати в

умовах високої динаміки трафіку, багаторівневої взаємодії користувачів і складної топології корпоративних мереж[43; 46; 81; 91; 96]. Це дозволяє оцінити сильні та слабкі сторони кожного підходу й визначити ті архітектурні принципи, які стали базовими для сучасних промислових рішень у сфері кіберзахисту.

Сучасні системи виявлення аномалій у мережевому трафіку, зокрема рішення класів NDR (Network Detection and Response), SIEM (Security Information and Event Management) та SOAR (Security Orchestration, Automation and Response), будуються за багат шаровими архітектурами, що забезпечують комплексну обробку даних — від збору телеметрії до автоматичного реагування на інциденти. Така архітектура дозволяє інтегрувати в єдине середовище різноманітні джерела даних, методи аналітики, алгоритми штучного інтелекту та механізми оркестрації[52; 94; 105; 123].

### **Рівень збору та нормалізації телеметрії**

Першим етапом у будь-якій системі є отримання та уніфікація даних. На цьому рівні працюють численні сенсори мережевого рівня — PCAP, NetFlow/IPFIX, sFlow — які збирають інформацію про пакети, з'єднання, обсяг трафіку, IP-адреси, порти, протоколи тощо. Додатково використовуються агенти на кінцевих вузлах, інтеграції з міжмережевими екранами, проксі-серверами, DNS, AD (Active Directory) або IdP (Identity Provider). Основна мета цього шару — нормалізація телеметрії: усі події зводяться до єдиного формату, синхронізуються за часовими позначками та збагачуються базовими метаданими (геолокація, власник активу, тип сервісу) [52; 94; 120]. Це створює основу для побудови централізованої моделі подій, що дозволяє виявляти взаємозв'язки між різними джерелами даних[94; 105; 123].

### **Рівень фічеризації та збагачення**

На цьому етапі відбувається перетворення сирих даних на ознаки (features), придатні для подальшого аналізу. Потoki трафіку агрегуються у часові вікна (time windows), розраховуються ключові статистики — середні значення, дисперсія, ентропія, щільність запитів, співвідношення вхідних/вихідних

пакетів[50; 55; 76; 87]. Дані додатково збагачуються зовнішніми джерелами інформації, такими як Threat Intelligence, бази WHOIS, GeoIP, або репутаційні сервіси, які дозволяють оцінити надійність віддаленого вузла. Для складних систем додається побудова графів взаємодій, що відображають відносини між об'єктами (хостами, користувачами, процесами). Це створює основу для виявлення аномалій типу lateral movement або несанкціонованого поширення доступів[74; 80; 96; 100].

### **Рівень модулів детекції**

Центральний елемент архітектури — це модулі детекції аномалій, які можуть поєднувати різні типи підходів[43; 68; 72; 91; 96; 107]:

Сигнатурні та правилкові механізми (IDS/IPS) — використовують базу відомих шаблонів атак. Їхньою перевагою є швидкість, однак вони неефективні проти нових загроз.

Статистичні детектори відхилень (наприклад, EWMA, CUSUM, KDE) — аналізують відхилення від базових показників. Ці методи добре працюють для мереж з передбачуваним трафіком, але чутливі до шумів.

ML/DL-моделі (Machine/Deep Learning) — сучасні архітектури, що включають Autoencoder (AE), LSTM/GRU, GNN (Graph Neural Networks), Transformers, Isolation Forest, One-Class SVM. Вони здатні розпізнавати складні поведінкові закономірності, формувати адаптивні профілі та прогнозувати розвиток інцидентів.

UEBA/UBA (User and Entity Behavior Analytics) — окремий підмодуль, що аналізує поведінку користувачів, виявляючи підозрілі дії на основі історичних шаблонів. UEBA дозволяє виявляти загрози зсередини (insider threats) та компрометації облікових записів.

### **Рівень кореляції та семантичного аналізу**

Після виявлення окремих подій система повинна визначити, чи пов'язані вони між собою. На цьому етапі застосовується кореляція подій, що дозволяє об'єднати множину сигналів у єдиний інцидент. Для цього використовуються

моделі семантичного аналізу, засновані на базах знань MITRE ATT&CK або Cyber Kill Chain, які дозволяють автоматично класифікувати події за тактиками і техніками атак. Також проводиться пріоритезація інцидентів за рівнем ризику, що враховує критичність активу, тип атаки та потенційний вплив. Це знижує навантаження на аналітиків SOC, дозволяючи зосередитись на найважливіших загрозах[94; 105; 120; 131].

### **Рівень оркестрації та реагування (SOAR)**

Останнім рівнем архітектури є модуль оркестрації реагування. Він відповідає за автоматизацію дій після виявлення інциденту. Типові сценарії (плейбуки) включають: ізоляцію вузла, блокування IP або користувача, створення квитка для інженера SOC, ескалацію до вищих рівнів підтримки. Система забезпечує зворотний зв'язок: результати розслідування інциденту передаються назад до моделей, що дозволяє автоматично коригувати пороги, оновлювати правила та ретренувати ML-моделі. Такий цикл забезпечує самонавчання системи, підвищуючи її ефективність у динамічному середовищі[94; 105; 120; 123; 131].

Сучасні системи виявлення аномалій у мережевому трафіку охоплюють широкий спектр технологічних підходів, які відрізняються за рівнем інтеграції, призначенням та складністю реалізації. За домінуючим функціоналом і архітектурною логікою їх можна поділити на п'ять основних класів: IDS/IPS, NDR, SIEM, хмарні платформи безпеки, XDR/EDR із мережевою телеметрією[34; 43; 46; 94;].

### **IDS/IPS (Intrusion Detection / Prevention Systems)**

До цього класу належать такі рішення, як Snort, Suricata, Zeek (Bro). Вони є фундаментом мережевої безпеки і базуються переважно на сигнатурному та правилловому аналізі. IDS/IPS системи відстежують трафік у реальному часі, порівнюючи пакети з базами відомих атак і вразливостей. У сучасних реалізаціях (наприклад, Suricata) з'явилися елементи поведінкової аналітики — визначення нетипових з'єднань, повторюваних запитів або змін у топології взаємодій.

Основні переваги таких систем — висока швидкість обробки, низька затримка (latency) та пояснюваність результатів. Проте вони залежать від своєчасного оновлення сигнатур, тому мають обмежену здатність до виявлення невідомих або Zero-Day атак[69; 82; 91].

### **NDR (Network Detection & Response)**

Клас NDR-систем — це наступний етап еволюції IDS, орієнтований на виявлення складних і раніше невідомих загроз. Типові представники — Darktrace, Vectra AI, ExtraHop Reveal(x), Cisco Secure Network Analytics (Stealthwatch). На відміну від IDS, NDR базуються на моделях машинного навчання (ML) і аналітиці поведінки користувачів та об'єктів (UEBA). Вони формують профілі “нормальної поведінки” для кожного хоста, користувача або пристрою й відстежують відхилення від цих профілів [72; 79; 94].

Ключові переваги NDR-рішень:

- здатність до самонавчання та адаптації до специфіки мережі;
- виявлення внутрішніх атак (наприклад, lateral movement, privilege escalation);
- зменшення кількості хибнопозитивних спрацьовувань завдяки контекстному аналізу;
- можливість візуалізації мережевих взаємозв'язків через графові моделі.

Недоліками є висока вартість впровадження, значні обчислювальні ресурси для тренування моделей і потреба в ретельному калібруванні алгоритмів під конкретне середовище.

### **SIEM (Security Information and Event Management) із ML-надбудовами**

SIEM-платформи, як-от Splunk Enterprise Security, IBM QRadar, Elastic Security, історично були зосереджені на зборі, зберіганні та кореляції подій безпеки з різних джерел (сервери, мережі, додатки, користувачі). Сучасні версії інтегрують модулі машинного навчання, які аналізують великі обсяги логів для автоматичного виявлення закономірностей і поведінкових відхилень[52; 94].

SIEM-системи мають низку переваг:



- централізована видимість подій безпеки в масштабі підприємства;
- підтримка MITRE ATT&CK, UEBA і SOAR-модулів;
- можливість інтеграції з NDR, IDS і EDR-рішеннями.

Недоліки — висока вартість ліцензій, ресурсоемність аналітики, затримка при обробці великих потоків. Проте SIEM залишається незамінним компонентом SOC (Security Operations Center) і базовою платформою для побудови комплексної стратегії кіберзахисту.

### **Хмарні платформи безпеки**

Хмарні рішення (наприклад, Microsoft Azure Sentinel, Google Chronicle) стали популярними завдяки масштабованості, еластичності та автоматизації процесів безпеки. Вони дозволяють інтегрувати безліч джерел телеметрії, обробляти події у реальному часі, використовувати керовані ML-моделі та застосовувати принципи security-as-code (керування детекторами та моделями через код) [52; 94; 100; 104].

Переваги хмарних платформ:

- швидке розгортання та масштабування без потреби у власній інфраструктурі;
- доступ до глобальних Threat Intelligence баз;
- економічна ефективність за рахунок моделі “оплата за використання”;
- автоматичне оновлення аналітичних моделей.

Недоліки — залежність від постачальника, ризики конфіденційності даних, обмежена видимість поза межами хмарної інфраструктури.

### **XDR/EDR (Extended/Endpoint Detection & Response) з мережевою телеметрією**

Останній клас систем — XDR/EDR-рішення, такі як CrowdStrike Falcon, Palo Alto Cortex XDR, що поєднують моніторинг кінцевих точок (endpoint) із аналізом мережевого трафіку. Такі системи інтегрують дані з антивірусів, IDS, NDR, SIEM, створюючи єдину екосистему реагування на інциденти[94; 100; 123; 131].

### Переваги XDR:

- повна кореляція мережевих, користувацьких і системних подій;
- висока точність і контекстність;
- автоматичне реагування на загрози за допомогою інтегрованих SOAR-модулів;
- підтримка Machine Learning і Threat Intelligence.

Недоліки — складність налаштування, високі вимоги до інтеграції з іншими компонентами безпеки та залежність від екосистеми постачальника[94; 100; 123].

Розгляд класифікації систем дозволяє зробити висновок, що сучасний ринок рішень у сфері виявлення аномалій еволюціонує від сигнатурних детекторів до інтелектуальних гібридних платформ, у яких поєднано аналіз трафіку, поведінки користувачів і контекст подій. Це створює передумови для переходу від реактивного моніторингу до проактивного прогнозування загроз та автоматичного реагування в реальному часі[43; 46; 81;].

У цьому підрозділі розглянуто кілька найбільш показових систем виявлення аномалій, що репрезентують різні класи підходів — від сигнатурних IDS до гібридних ML/SOAR-платформ. Їхній аналіз дозволяє оцінити, як теоретичні методи з попередніх розділів реалізуються на практиці, та які архітектурні рішення виявилися найбільш ефективними для різних типів середовищ.

### **Zeek (Bro IDS)**

Zeek, раніше відомий як Bro IDS, є високорівневою скриптовою системою аналізу мережевого трафіку, що використовується для контекстного виявлення аномалій на основі протоколів і подій. Її ключовою особливістю є скриптова архітектура, яка дозволяє створювати кастомні політики детекції у вигляді сценаріїв. Це дає змогу не просто реагувати на підозрілі пакети, а аналізувати поведінку сесій, послідовність дій користувачів і зміни в параметрах протоколів. Переваги Zeek полягають у гнучкості, деталізованих логах та інтеграції з SIEM-

платформами через формати JSON, Kafka або Elasticsearch. Завдяки цьому Zeek може виступати центральним елементом у побудові NDR або SIEM-рішень. Серед обмежень — залежність від правил і скриптів, що вимагають постійного оновлення експертами, а також обмежена здатність до самонавчання без інтеграції з ML-модулями[52; 94; 100].

### **Splunk Enterprise Security (ES)**

Splunk Enterprise Security — одна з найпотужніших SIEM-платформ, орієнтована на збір, зберігання та аналітичну обробку великих обсягів логів. Система має власну пошукову мову (SPL — Search Processing Language), яка дозволяє створювати складні запити для аналізу поведінки подій, кореляції інцидентів і побудови аналітичних панелей. Важливою складовою Splunk ES є модулі UEBA та ML Toolkit (M|LTK), що дають змогу будувати моделі класифікації, кластеризації, прогнозування аномалій або тренування автоенкодерів безпосередньо всередині SIEM. Сильні сторони системи — масштабованість, гнучкість інтеграцій, підтримка SOAR-процесів і зрілі аналітичні механізми. Основними обмеженнями залишаються висока вартість ліцензій та значні вимоги до інфраструктури, що робить Splunk придатним насамперед для великих корпоративних SOC[94; 105; 131].

### **Darktrace**

Darktrace є одним із флагманських рішень класу NDR, яке реалізує унікальну концепцію “Enterprise Immune System” — тобто створення «цифрового імунітету» для організації. Система побудована на основі безнаглядного машинного навчання (unsupervised ML): вона автоматично формує профілі нормальної поведінки для кожного активу, користувача чи пристрою й фіксує відхилення від цих профілів. Darktrace використовує ансамбль моделей — від статистичних до глибинних нейронних мереж, що дозволяє детектувати складні сценарії атак, зокрема lateral movement, C2-комунікації, data exfiltration та insider threats. Перевагами є висока точність, самонавчання, візуалізація зв'язків у мережі та автоматичні рекомендації дій (response suggestions). Недоліки —

закритість алгоритмів (proprietary AI) і необхідність початкового «навчального періоду», коли система калібрує моделі для конкретної мережі, що може спричиняти хибні спрацьовування[94; 100; 123].

### **Azure (Microsoft) Sentinel**

Azure Sentinel — це хмарна SIEM/SOAR-платформа нового покоління, яка інтегрована з екосистемою Microsoft та забезпечує централізоване управління безпекою у гібридних і мультихмарних середовищах. Платформа поєднує кореляцію подій, ML-аналітику, підтримку MITRE ATT&CK, візуалізацію інцидентів та автоматизацію через Azure Logic Apps. Її головна перевага — масштабованість та інтеграція з хмарними сервісами (Microsoft 365, Defender, Entra ID, Intune тощо). Sentinel підтримує керування детекторами як кодом (Detection-as-Code), що забезпечує швидке оновлення моделей і централізоване керування політиками[94; 120; 123].

Завдяки використанню Microsoft Threat Intelligence система отримує постійно оновлювану базу загроз і показує високі метрики точності (Recall > 0.88, Precision ≈ 0.90).

Недоліки — залежність від екосистеми Microsoft та обмежена мережна видимість поза Azure, що може ускладнювати моніторинг у гібридних або багатопостачальницьких середовищах.

Наведені приклади демонструють різні етапи еволюції систем виявлення аномалій:

- Zeek — як приклад відкритої сигнатурної системи, що використовується як аналітичний інструмент;
- Splunk ES — як потужну централізовану платформу кореляції з ML-можливостями;
- Darktrace — як самонавчальну поведінкову NDR-систему;
- Azure Sentinel — як хмарне рішення нового покоління, яке поєднує ML, MITRE, SOAR та масштабовану архітектуру.

Разом вони відображають загальну тенденцію розвитку індустрії — перехід від реактивних сигнатурних систем до проактивних гібридних платформ, що поєднують штучний інтелект, пояснювану аналітику та автоматизацію реагування.

При оцінюванні конкретної системи доцільно враховувати:

1. джерела та повноту телеметрії, включаючи глибину збору даних на рівнях мережевих, користувацьких та системних подій;
2. методи детекції, тобто наявні алгоритми, їх можливість до навчання, адаптації та оновлення;
3. підтримку MITRE/UEBA/XAI, яка визначає здатність системи до семантичного аналізу, пояснення результатів і контексту загроз;
4. продуктивність і latency, що характеризують швидкість обробки даних, здатність системи працювати у реальному часі без затримок та втрат;
5. SOAR-інтеграції, що забезпечують автоматизацію реагування та зв'язок із інцидент-менеджментом;

Додатково необхідно враховувати масштабованість рішення, можливість інтеграції з хмарними й гібридними середовищами, підтримку API для розширення функціональності. Для об'єктів критичної інформаційної інфраструктури (КІІ) особливу увагу слід приділяти наявності офлайн-режимів, здатності системи працювати при обмеженому доступі до зовнішніх ресурсів, а також гарантованій обробці пікових навантажень без втрати даних чи зниження точності детекції. Це визначає надійність і стійкість системи до відмов, що є критично важливим параметром для державних і промислових секторів[17; 20; 31; 52; 120].

Нижче наведено ілюстративну таблицю з узагальненими метриками для типових представників класів. Значення відображають опубліковані у відкритих дослідженнях діапазони та результати репрезентативних бенчмарків; вони слугують для якісного порівняння підходів, а не як абсолютні значення для конкретних інсталяцій[120; 122; 123; 130; 131].

Таблиця 1.3

## Порівняння систем виявлення аномалій

Система / Метод	Тип підходу	F1-score	Recall	Precision	Latency, мс	Хибнопозитивні спрацювання, %
<b>Zeek (Bro IDS)</b>	Сигнатурний	0.74	0.71	0.78	24	7.2
<b>Splunk ES</b>	Статистичний/аналітичний	0.81	0.77	0.84	31	6.5
<b>Darktrace</b>	AI/поведінковий	0.89	0.86	0.92	18	5.1
<b>Azure Sentinel</b>	ML + кореляція логів	0.91	0.88	0.90	22	4.8

Сигнатурні системи (Zeek) забезпечують найнижчу затримку для відомих атак, але поступають за узагальненими метриками при зіткненні з новими загрозами. SIEM-платформи з аналітичними модулями (Splunk ES) покращують повноту виявлення завдяки кореляції подій з багатьох джерел, однак мають вищу latency. NDR-рішення з поведінковими моделями (Darktrace) підвищують точність і знижують FP за рахунок профілювання активів. Хмарні SIEM/SOAR-системи (Azure Sentinel) демонструють збалансовані метрики завдяки вбудованим ML-детекторам та масштабуванню. Значення можуть відрізнитися залежно від топології мережі, доступної телеметрії, якості навчальних даних та політик кореляції[94; 100; 120; 123; 130; 131].

Підсумовуючи, наведений огляд показує, що різні класи систем виявлення аномалій реалізують спільну мету — виявлення відхилень у мережевій активності, але використовують різні підходи до її досягнення. Сигнатурні рішення залишаються ефективними для реагування на відомі загрози, тоді як поведінкові й ML-орієнтовані системи демонструють перевагу у гнучкості, здатності до самонавчання та адаптації. Комерційні продукти, такі як Darktrace або Azure Sentinel, відображають еволюцію від пасивного моніторингу до аналітичних і прогнозних інструментів, які інтегрують механізми UEBA, XAI та SOAR. Можна стверджувати, що сучасний напрям розвитку систем виявлення

аномалій визначається переходом до гібридних архітектур, які об'єднують різні алгоритмічні підходи, джерела даних та семантичні бази знань. Саме це забезпечує високий рівень точності, швидкодії й пояснюваності рішень, що особливо важливо для об'єктів критичної інформаційної інфраструктури. Отримані результати аналізу стали підґрунтям для формування вимог, принципів побудови та критеріїв оцінювання ефективності авторської системи, представленої у подальших розділах роботи [13; 17; 20; 31; 52; 120].

### **Висновки до розділу 1**

У першому розділі здійснено комплексний аналіз сучасних методів, моделей і систем виявлення аномалій у мережевому трафіку, що становлять основу для побудови інтелектуальних систем кіберзахисту. Розглянуто еволюцію підходів — від сигнатурних і статистичних до глибинних нейронних моделей та гібридних архітектур, які поєднують можливості машинного навчання, поведінкової аналітики та семантичної кореляції подій. Проведений аналіз показав, що традиційні сигнатурні методи (IDS/IPS) забезпечують високу швидкість і низьку затримку, проте неефективні при виявленні невідомих або складних атак. Статистичні підходи покращують чутливість систем до відхилень, але залишаються залежними від якості налаштувань і стабільності трафіку. Суттєвий прогрес у точності та адаптивності досягнуто завдяки методам машинного навчання, які дозволяють виявляти складні нелінійні залежності, аналізувати часові закономірності та формувати профілі поведінки користувачів і пристроїв.

Моделі глибинного навчання (AE, LSTM, CNN, GNN, Transformers) стали ключовим інструментом для аналізу великих обсягів мережевих даних, однак потребують значних обчислювальних ресурсів і не завжди забезпечують пояснюваність результатів. У цьому контексті перспективним напрямом розвитку є гібридні системи, що об'єднують переваги статистичних, машинних і

семантичних методів, поєднуючи точність із гнучкістю та можливістю адаптації до змін середовища.

У підрозділі 1.3 розглянуто практичну реалізацію описаних підходів у промислових системах кіберзахисту. Проаналізовано архітектури NDR, SIEM, SOAR, XDR/EDR та хмарних платформ безпеки, що реалізують багаторівневу обробку телеметрії — від збору та нормалізації даних до автоматизованого реагування. Зокрема, Zeek демонструє ефективність у сигнатурному контекстному аналізі, Splunk ES — у централізованій кореляції та аналітиці логів, Darktrace — у поведінковому безнаглядному навчанні, а Azure Sentinel — у масштабованому хмарному моніторингу з ML-модулями та MITRE-мапінгом.

Порівняльний аналіз показав, що еволюція систем виявлення аномалій спрямована від реактивних моделей до проактивних і прогнозних систем, здатних до самонавчання та пояснення рішень. Водночас ключовим викликом залишається досягнення балансу між точністю, швидкодією, масштабованістю та інтерпретованістю результатів.

Результати першого розділу створюють науково-методичне підґрунтя для подальшої розробки авторської моделі, методів і архітектури системи інтелектуального виявлення аномалій, що буде розглянута в наступних розділах роботи.



## **РОЗДІЛ 2. РОЗРОБКА МОДЕЛЕЙ ПРОГНОЗУВАННЯ І ВИЯВЛЕННЯ КІБЕРБЕЗПЕКОВИХ АНОМАЛІЙ ТА ВИЗНАЧЕННЯ ЇХ КРИТИЧНОСТІ**

### **2.1. Модель виявлення аномалій вхідного мережевого трафіку на основі штучного інтелекту**

Моделювання аномалій у мережевому трафіку є одним із ключових завдань сучасної кібербезпеки, адже саме від точності прогнозування та своєчасності виявлення залежить стійкість критичних інформаційних інфраструктур до зовнішніх і внутрішніх загроз. Будь-яке відхилення від нормального функціонування, яке не було вчасно виявлене, може призвести до масштабних наслідків: від деградації продуктивності мережевих сервісів і фінансових втрат до збоїв у роботі державних чи корпоративних систем управління[2; 7; 8]. Тому розробка ефективних механізмів детектування аномалій виступає фундаментальною складовою захисту інформаційних систем. Традиційні статистичні методи виявлення аномалій (наприклад, ковзне середнє, дисперсійний аналіз, кореляційні моделі) дають прийнятні результати лише у випадках, коли трафік характеризується відносною стабільністю та підпорядковується простим розподілам[7; 8; 9; 11]. Проте сучасні мережеві середовища вирізняються високою динамічністю: трафік постійно змінюється під впливом сезонності, часових закономірностей, поведінки користувачів та зовнішніх факторів (наприклад, DDoS-атак чи пікових навантажень). У таких умовах статистичні підходи часто демонструють низьку чутливість до нетипових змін, не враховують приховані нелінійні залежності та схильні до значного рівня похибок у разі наявності шуму чи неповних даних.

Саме тому останніми роками значного поширення набули моделі на основі штучного інтелекту, які здатні автоматично виявляти приховані закономірності у великих обсягах даних і навчатися на складних залежностях. Їхня перевага полягає у здатності обробляти не лише числові ряди, а й багатовимірні вхідні ознаки, що враховують топологію мережі, часові інтервали, типи пакетів чи

поведінкові патерни користувачів. Це робить штучний інтелект особливо ефективним інструментом для побудови систем прогнозування та виявлення аномалій у мережевому трафіку[7; 8; 9].

Запропонована модель побудована з урахуванням зазначених особливостей і призначена для прогнозування майбутніх значень трафіку або навантаження в мережі чи системі на основі попередніх станів. У її основу покладено нейронні мережі та методи глибокого навчання, що дають змогу будувати складні функціональні залежності між історичними та прогнозними значеннями. Використання архітектур різних типів — багат шарових перцептронів (MLP), рекурентних нейронних мереж (RNN, LSTM, GRU), автоенкодерів — забезпечує універсальність і гнучкість під час обробки даних. Це дозволяє моделі ефективно реагувати на різні сценарії: різкі стрибки у споживанні ресурсів, поступові трендові зміни, періодичні коливання або поодинокі відхилення[7; 8; 11].

Особливістю моделі є її здатність інтегрувати кілька етапів аналізу:

- прогнозування часових рядів – побудова очікуваної траєкторії трафіку на основі історичних вимірювань, що дозволяє сформувати «норму» поведінки системи;
- оцінка відхилень – визначення різниці між передбаченими та фактичними значеннями, що є основою для ідентифікації потенційних аномалій;
- класифікація станів – віднесення виявлених відхилень до категорій «нормальні флуктуації» або «аномалії», що можуть свідчити про кіберзагрози чи технічні збої.

Таким чином, запропонована модель виконує не лише функцію предиктора, а й виступає інтелектуальним механізмом раннього попередження. Це робить її цінним інструментом для систем моніторингу, які потребують високої точності, адаптивності та здатності працювати в умовах змінної мережевої динаміки.

Попередня обробка даних

Перед тим як почати прогнозування, дані потрібно підготувати. Для цього:

1. Формується набір історичних значень трафіку — це значення, які були зафіксовані в минулому на різні моменти часу.

2. Цей набір буде подаватися на вхід нейронній мережі для того, щоб вона могла на основі цих даних навчитися прогнозувати наступні значення.

$$X_t = \{y_{t-1}, y_{t-2}, \dots, y_{t-n}\} \quad (2.1)$$

$X_t$  – набір історичних даних, що складається з попередніх значень спостережуваного трафіку.

$y_{t-1}, y_{t-2}, \dots, y_{t-n}$  – історичні значення навантаження або трафіку в попередні моменти часу, де:

$t$  – поточний момент часу;

$n$  – кількість історичних точок, що використовуються для прогнозу.

Представлена модель бере останні  $n$  значень трафіку (або навантаження), передає їх у нейронну мережу, яка, ґрунтуючись на методах глибокого навчання, прогнозує значення трафіку на наступний момент часу або на декілька майбутніх моментів.

Набір з  $n$  попередніх значень трафіку (або навантаження), який подається на вхід моделі для прогнозування наступного значення  $y_t$  представлено в таблиці 1.

Таблиця 2.1

Попередні значення трафіку

Час ( $t$ )	Значення трафіку $y_t$
1	100
2	120
3	150
4	160
5	170

Крок 1: Вибираємо поточний момент часу

Нехай поточний момент часу  $t = 5$ , тобто ми хочемо спрогнозувати  $y_5$  (або  $y_6$ ).

Крок 2: Вибираємо  $n$  — кількість попередніх значень

Нехай  $n = 3$ , тобто будемо використовувати останні 3 значення перед моментом часу  $t$ .

Крок 3: Формуємо вектор  $X_t$

$$X_5 = \{y_4, y_3, y_2\} = \{160, 150, 120\} \quad (2.2)$$

Це буде вхід у нейронну мережу.

Крок 4: Модель прогнозує  $y_5$  (наступне значення)

На основі  $X_5 = 160, 150, 120$  модель, використовуючи методи машинного або глибокого навчання, видає прогнозне значення, наприклад:

$$\widehat{y}_5 = 175 \quad (2.3)$$

Ітерація: Потім система зсуває вікно на наступний момент часу і знову обчислює  $X_6 = \{y_5, y_4, y_3\}$ , і так далі.

Визначення прогнозу нейронною мережею

Прогнозоване значення навантаження визначається шляхом застосування функції прогнозу  $f_{DL}$ , яка реалізована за допомогою нейронної мережі глибокого навчання. Ця функція приймає на вхід два основні елементи: набір історичних даних  $X_t$ , що складається з попередніх значень навантаження, і набір ваг нейронної мережі  $W_t$ , які були налаштовані в процесі навчання:

$$f_{DL}(X_t; W_t) \quad (2.4)$$

$f_{DL}$  — це функція прогнозу, реалізована нейронною мережею глибокого навчання (Deep Learning).

$X_t$  — набір історичних значень навантаження (вхідні дані).

$W_t$  — набір ваг нейронної мережі, які визначаються під час тренування за допомогою методу градієнтного спуску.

Під час виконання прогнозу нейронна мережа опрацьовує дані  $X_t$  згідно зі своєю архітектурою (шари, нейрони, активаційні функції) та вагами  $W_t$ , щоб згенерувати прогнозоване значення навантаження.

Такий підхід дозволяє врахувати складні нелінійні залежності між історичними значеннями та майбутнім станом системи, завдяки чому прогнозування є більш точним, порівняно з традиційними статистичними методами.  $R_{avg}$

Припустимо, що:

$$n = 3$$

$X_5 = 160, 150, 120$ — набір вхідних даних (історичні значення трафіку)

Ваги та зсуви мережі:

$$W_t = w_1 = 0.4, w_2 = 0.35, w_3 = 0.25$$

Зсув (bias):  $b = 5$

Активована функція — проста лінійна (для простоти):

$$f_{DL}(X_t; W_t) = w_1 \cdot y_{t-1} + w_2 \cdot y_{t-2} + w_3 \cdot y_{t-3} + b \quad (2.5)$$

Підставимо:

$$\widehat{y}_5 = 0.4 \cdot 160 + 0.35 \cdot 150 + 0.25 \cdot 120 + 5 \quad (2.6)$$

$$\widehat{y}_5 = 64 + 52.5 + 30 + 5 = 151.5 \quad (2.7)$$

Отже, прогнозоване значення трафіку  $\widehat{y}_5 = 151.5$ .

Нагадування: на практиці функція  $f_{DL}$  є складною — вона складається з кількох шарів, нелінійностей (ReLU, Sigmoid тощо), і всі параметри  $W_t$  навчаються за допомогою зворотного поширення помилки (backpropagation).

### **Врахування історичних значень з експоненційною вагою**

Для покращення точності прогнозу та більшого врахування останніх значень навантаження застосовується підхід, який називається експоненційним згладжуванням. Його суть полягає в тому, що останні значення мають більший вплив на прогноз, а старіші значення — менший. Цей вплив визначається за допомогою спеціальної ваги  $w_i$ , яка розраховується за формулою:

$$w_i = e^{-\beta(t-i)} \quad (2.8)$$

$w_i$  – експоненційна вага, яка застосовується до історичного значення  $y_i$

$\beta$  – коефіцієнт, який визначає швидкість спадання впливу історичних значень. Гіперпараметр, який задається перед тренуванням або тестуванням моделі. Чим більше  $\beta \rightarrow$  тим сильніше зменшується вага старих значень.

Зазвичай  $\beta$  беруть від 0.1 до 1.0 (або налаштовують у процесі крос-валідації).

$t$  – поточний момент часу.

$i$  – конкретний історичний момент часу, для якого розраховується вага.

Як працює експоненційна вага:

- Коли  $i$  близьке до  $t$ , тобто історичне значення було отримане незадовго до поточного моменту, вага  $w_i$  буде високою — отже, це значення буде мати великий вплив на прогноз.

- Коли  $i$  значно менше  $t$ , тобто значення отримане давно, вага  $w_i$  буде низькою — отже, це значення буде майже ігноруватись при прогнозі.

Даний підхід дозволяє адаптивно зменшувати вплив застарілих даних і водночас посилювати вагу нових, більш актуальних значень, що робить прогнозування точнішим і чутливішим до останніх змін у навантаженні.

В таблиці 2 наведено попередні значення трафіку з невідомим, який потрібно спрогнозувати.

Таблиця 2.2

Попередні значення трафіку з невідомим

Час ( $t$ )	Значення трафіку $y_t$
1	100
2	120
3	150
4	160
5	треба спрогнозувати

Параметри для розрахунку:

- Поточний момент часу:  $t = 5$

- Кількість історичних значень:  $n = 3 (y_4, y_3, y_2)$

- Коефіцієнт згладжування:  $\beta = 0.5$

Крок 1: Значення для прогнозу

$$y_4 = 160 - i = 4 \quad (2.9)$$

$$y_3 = 150 - i = 3 \quad (2.10)$$

$$y_2 = 120 - i = 2 \quad (2.11)$$

Крок 2: Розрахунок ваг для кожного  $y_i$

Для  $i = 4$ :

$$w_4 = e^{-0.5(5-4)} = e^{-0.5} \approx 0.6065 \quad (2.12)$$

Для  $i = 3$ :

$$w_3 = e^{-0.5(5-3)} = e^{-1} \approx 0.3679 \quad (2.13)$$

Для  $i = 2$ :

$$w_2 = e^{-0.5(5-2)} = e^{-1.5} \approx 0.2231 \quad (2.14)$$

Крок 3: Обчислення зважених значень трафіку

-  $160 \cdot 0.6065 = 97.04$

-  $150 \cdot 0.3679 = 55.185$

-  $120 \cdot 0.2231 = 26.772$

Сума зважених значень:

$$97.04 + 55.185 + 26.772 = 179.00 \quad (2.15)$$

Сума ваг:

$$0.6065 + 0.3679 + 0.2231 = 1.1975 \quad (2.16)$$

Крок 4: Розрахунок прогнозованого значення

$$\widehat{y}_5 = \frac{179.00}{1.1975} \approx 149.45 \quad (2.17)$$

Остаточна відповідь:

$$\widehat{y}_5 \approx 149.45 \quad (2.18)$$

**Включення історичних значень у загальний прогноз**

Загальний прогноз навантаження визначається з урахуванням двох складових: прогнозу, що генерується нейронною мережею, та впливу попередніх історичних значень навантаження, зважених за експоненційним принципом. Такий підхід дозволяє поєднати гнучкість глибокого навчання із прямим урахуванням реальних попередніх даних, підвищуючи точність прогнозу. Формально це описується наступною формулою:

$$\hat{y}_t = f_{DL}(X_t; W_t) + \alpha \sum_{i=t-n}^{t-1} w_i \cdot y_i \quad (2.19)$$

$\hat{y}_t$  – прогнозоване значення навантаження у момент часу  $t$ .

$f_{DL}(X_t; W_t)$  – прогнозоване значення нейронною мережею.

$\alpha$  – коефіцієнт, який визначає вагу історичних значень у фінальному прогнозі. Регулює вплив експоненційного згладжування на результат.

$w_i$  – експоненційні ваги, описані вище.

$y_i$  – історичні значення навантаження за попередні періоди часу (від  $t - n$  до  $t - 1$ ).

Формула використовується для того, щоб отримати якнайточніше прогнозоване значення навантаження  $\hat{y}_t$  у конкретний момент часу  $t$ , поєднуючи два підходи — глибоке навчання (нейронну мережу) і традиційне врахування минулих даних. Дозволяє поєднати силу нейронної мережі, яка може виявляти складні закономірності в даних, з традиційною ідеєю врахування останніх реальних спостережень (історичних значень), які можуть мати значення для короткострокових прогнозів.

Фактично:

- Нейронна мережа забезпечує глобальне прогнозування на основі вивчених закономірностей.

- Історичні значення додають локальну точність, враховуючи останні зміни чи аномалії, які ще не були враховані мережею.

Наприклад, нейронна мережа очікує, що навантаження буде на рівні 80 одиниць, але буквально в останні хвилини навантаження зросло до 90 — завдяки експоненційній частині ці зміни одразу враховуються в прогнозі. Це дозволяє



моделі бути чутливою до актуальної ситуації, не покладаючись лише на загальні тренди.

Вхідні дані:

$$t = 5$$

$$n = 3 \rightarrow \text{беремо значення } y_2 = 120, y_3 = 150, y_4 = 160$$

$$\beta = 0.5$$

$$\alpha = 0.5 \text{ — (вибране умовно, можна змінювати)}$$

$$f_{DL}(X_t; W_t) = 151.5 \text{ — прогноз нейромережі з попереднього прикладу}$$

Крок 1: Обчислення експоненційних ваг

$$w_4 = e^{-0.5(5-4)} = e^{-0.5} \approx 0.6065 \quad (2.20)$$

$$w_3 = e^{-0.5(5-3)} = e^{-1} \approx 0.3679 \quad (2.21)$$

$$w_2 = e^{-0.5(5-2)} = e^{-1.5} \approx 0.2231 \quad (2.22)$$

Крок 2: Обчислення добутків  $w_i \cdot y_i$

$$w_4 \cdot y_4 = 0.6065 \cdot 160 = 97.04 \quad (2.23)$$

$$w_3 \cdot y_3 = 0.3679 \cdot 150 = 55.19 \quad (2.24)$$

$$w_2 \cdot y_2 = 0.2231 \cdot 120 = 26.77 \quad (2.25)$$

Сума:

$$\sum_{i=t-n}^{t-1} w_i \cdot y_i = 97.04 + 55.19 + 26.77 = 179.00 \quad (2.26)$$

Крок 3: Формування загального прогнозу

$$\widehat{y}_5 = 151.5 + 0.5 \cdot 179.00 = 151.5 + 89.5 = 241.0 \quad (2.27)$$

Вийшло велике значення, бо була додана зважена сума, а не зважене середнє. Часто замість суми беруть:

$$\widehat{y}_5 = f_{DL}(X_t; W_t) + \alpha \cdot \frac{\sum w_i \cdot y_i}{\sum w_i} \quad (2.28)$$

Тоді буде:

$$\sum w_i = 0.6065 + 0.3679 + 0.2231 = 1.1975 \quad (2.29)$$

$$\frac{179.00}{1.1975} \approx 149.45 \quad (2.30)$$

$$\widehat{y}_5 = 151.5 + 0.5 \cdot 149.45 = 151.5 + 74.73 = 226.23 \quad (2.31)$$

Остаточний результат (з нормалізацією):

$$\widehat{y}_5 \approx 226.23 \quad (2.32)$$

Значення  $\alpha$  можна зменшити (наприклад, до 0.2), щоб вплив історії був слабшим.

Така модель об'єднує глобальний тренд (нейромережа) + локальні впливи останніх змін (через  $w_i \cdot y_i$ ).

Тренування моделі (оптимізація параметрів)

Для навчання моделі та налаштування її параметрів використовується функція втрат, яка вимірює різницю між прогнозованими та фактичними значеннями навантаження. Модель навчається так, щоб мінімізувати цю функцію, що дозволяє підвищити точність прогнозування. Формально це описується наступною формулою:

$$L(\theta) = \frac{1}{N} \sum_{i=1}^N (y_i - \widehat{y}_i)^2 + \lambda |\theta|^2 \quad (2.33)$$

Де кожна змінна позначає наступне:

$L(\theta)$  – функція втрат, яка підлягає мінімізації.

$\theta$  – параметри моделі (ваги мережі, коефіцієнти  $\alpha, \beta$  тощо), які оптимізуються під час тренування.

$y_i$  – реальні (фактичні) значення навантаження.

$\widehat{y}_i$  – прогнозовані моделлю значення навантаження.

$N$  – загальна кількість точок у навчальній вибірці.

$\lambda$  – коефіцієнт регуляризації (L2-регуляризація), що використовується для запобігання перенавчанню моделі шляхом накладення штрафу на великі значення параметрів моделі.

Функція втрат  $L(\theta)$  відображає якість роботи моделі: чим вона менша, тим точніше модель прогнозує навантаження. Завдання тренування — мінімізувати цю функцію, тобто зменшити похибку між прогнозованими та реальними значеннями навантаження.

У формулі враховано дві складові:

- Перша — це середньоквадратична похибка між фактичними значеннями навантаження  $y_i$  і тими значеннями  $\hat{y}_i$ , які модель намагається передбачити.

- Друга — регуляризаційний доданок  $\lambda|\theta|^2$ , що накладає штраф на великі значення параметрів моделі (наприклад, ваги нейронної мережі або коефіцієнти  $\alpha, \beta$ ). Це дозволяє уникнути перенавчання та зробити модель більш узагальнюючою, стійкою до нових даних.

У результаті така функція втрат допомагає моделі збалансовано враховувати точність прогнозу і складність самої моделі, навчаючи її правильно налаштовувати свої параметри для ефективного передбачення як нещодавніх, так і історичних значень навантаження.

Частина 1: Основна помилка моделі (середньоквадратична похибка — MSE)

$$\frac{1}{N} \sum (y_i - \hat{y}_i)^2 \quad (2.34)$$

Це звичайна помилка між тим, що модель передбачила, і тим, що є насправді.

Наприклад, якщо:

$$y_1 = 100, \hat{y}_1 = 95 \rightarrow \text{похибка: } (100 - 95)^2 = 25 \quad (2.35)$$

$$y_2 = 120, \hat{y}_2 = 125 \rightarrow \text{похибка: } (120 - 125)^2 = 25 \quad (2.36)$$

$$y_3 = 150, \hat{y}_3 = 140 \rightarrow \text{похибка: } (150 - 140)^2 = 100 \quad (2.37)$$

Сума:  $25 + 25 + 100 = 150$

Середнє (якщо  $N = 3$ ):

$$\frac{150}{3} = 50 \quad (2.38)$$

Частина 2: Регуляризація

$$\lambda|\theta|^2 \quad (2.39)$$

Це штраф за занадто великі параметри, щоб модель не «переучувалася» (overfitting).

Наприклад:

Якщо

$$\theta = w_1 = 0.8, w_2 = 1.1, \alpha = 0.5, \beta = 0.4 \quad (2.40)$$

Тоді

$$\lambda|\theta|^2 = 0.8^2 + 1.1^2 + 0.5^2 + 0.4^2 = 0.64 + 1.21 + 0.25 + 0.16 = 2.26 \quad (2.41)$$

При  $\lambda = 0.1$ :

$$\lambda|\theta|^2 = 0.1 \cdot 2.26 = 0.226 \quad (2.42)$$

Підсумкова функція втрат:

$$L(\theta) = 50 + 0.226 = 50.226 \quad (2.43)$$

- Без регуляризації модель може “зазубрити” навчальні дані й втратити здатність до узагальнення.

- З регуляризацією модель зберігає помірні параметри, стає стабільнішою та точнішою на нових даних.

Математична модель автоенкодера для виявлення аномалій

Автоенкодер (autoencoder) – це штучна нейронна мережа, яка навчається стискати (кодувати) та відновлювати (декодувати) дані. Використовується для виявлення аномалій, оскільки погано відновлює нетипові дані.

Кодування (Encoder)

Процес стиснення вхідного вектора даних  $x$  у більш компактну форму  $h$ , що називається прихованим (стисненим) представленням. Мережа бере вхідні дані, перемножує їх з вагами енкодера  $W_{enc}$ , додає зміщення  $b_{enc}$ , а потім пропускає результат через функцію активації  $\sigma$ , яка вносить нелінійність. Завдяки цьому модель може захопити суттєві ознаки даних, відкинувши надлишкову інформацію:

$$h = \sigma(W_{enc} \cdot x + b_{enc}) \quad (2.44)$$

де:

$x$  – початковий (вхідний) вектор даних.

$h$  – приховане (стиснене) представлення вхідних даних.

$W_{enc}$  – матриця ваг кодувальника (енкодера).

$b_{enc}$  – вектор зсувів (biases) кодувальника.

$\sigma$  – функція активації (наприклад, ReLU, сигмоїдна, tanh тощо).

### Декодування (Decoder)

Відбувається відновлення вихідних даних з прихованого шару  $h$ . Модель перемножує стислий вектор з вагами декодера  $W_{dec}$ , додає зміщення  $b_{dec}$ , і знову застосовує активацію  $\sigma$ , щоб отримати реконструйований вектор  $\hat{x}$ , який має бути якомога ближчим до початкового  $x$ . Якщо відновлення відрізняється сильно — це може свідчити про аномалію у вхідних даних:

$$\hat{x} = \sigma(W_{dec} \cdot h + b_{dec}) \quad (2.45)$$

де:

$\hat{x}$  – реконструйований (відновлений) вектор.

$W_{dec}$  – матриця ваг декодера.

$b_{dec}$  – вектор зсувів декодера.

### Тренування автоенкодера

Функція втрат  $L(x, \hat{x})$  визначає, наскільки точно автоенкодер здатен відновити вхідні дані після стискання та декодування. Чим менше значення цієї функції, тим точніше мережа виконує своє завдання. Базується на середньоквадратичній похибці (Mean Squared Error, MSE), яка обчислює середню величину квадратів різниць між фактичними значеннями  $x_i$  та відновленими значеннями  $\hat{x}_i$ . Ці квадрати підкреслюють великі помилки, посилюючи їх вплив на результат, що змушує модель точніше відтворювати дані.

У формулі:

- Підсумовуються помилки по всіх елементах вектора даних, а потім результат ділиться на загальну кількість  $n$ , щоб отримати усереднене значення похибки.

- Ця функція є основним критерієм, який автоенкодер намагається мінімізувати під час тренування, змінюючи свої параметри — ваги та зсуви енкодера і декодера.

$$L(x, \hat{x}) = \frac{1}{n} \sum_{i=1}^n (x_i - \hat{x}_i)^2 \quad (2.46)$$

де:

$L(x, \hat{x})$  – функція втрат (MSE).

$x_i$  – реальні вхідні значення.

$\hat{x}_i$  – відновлені значення автоенкодером.

$n$  – розмірність векторів даних.

Параметри  $W_{enc}, b_{enc}, W_{dec}, b_{dec}$  змінюються за допомогою градієнтного спуску, мета якого — знайти таке значення ваг, за якого функція втрат досягає мінімального можливого значення.

Завдяки цьому підходу модель вчиться стискати інформацію максимально ефективно, зберігаючи ключові характеристики даних і точно відновлюючи нормальні (типові) вхідні значення, водночас погано відтворюючи аномальні — що і використовується для виявлення аномалій.

Визначення рівня аномалій

Для визначення наявності аномалій у даних автоенкодер порівнює початкові вхідні дані з відновленими. Якщо різниця між ними значна — це може свідчити про аномалію, адже модель не змогла якісно реконструювати нетипові значення. Для кількісної оцінки цієї різниці використовується евклідова норма, яка відображає ступінь відхилення між вхідними та відновленими даними:

$$A(x) = \|x - \hat{x}\|_2 \quad (2.47)$$

де:

$A(x)$  — це рівень аномалії, тобто числове значення, яке показує, наскільки сильно відновлені дані відрізняються від оригіналу. Чим більше значення  $A(x)$ , тим вища ймовірність того, що у даних є аномалія.

$\|x - \hat{x}\|_2$  — це евклідова норма (L2-норма) різниці між вхідним вектором і його реконструкцією, яка обчислює фактичну «відстань» між ними у багатовимірному просторі.

Якщо ця відстань (рівень аномалії) перевищує певний поріг, що задається заздалегідь, то відповідне спостереження вважається аномальним. Таким чином,

автоенкодер дозволяє виявляти нетипові дані, які погано піддаються відновленню через відсутність подібних прикладів у тренувальній вибірці.

Адаптивне визначення меж аномальності

Щоб визначити, чи є значення аномальним, встановлюються динамічні межі — вони розраховуються не фіксовано, а з урахуванням статистики прогнозу. Це дозволяє врахувати мінливість даних у часі та чутливість до відхилень. Межі формуються на основі прогнозованого значення та стандартного відхилення, яке показує типову величину похибки[7; 8; 9]. Параметр чутливості дозволяє розширити або звужити межі виявлення аномалій:

$$D_{min} = \hat{y}_t - k\sigma, \quad D_{max} = \hat{y}_t + k \quad (2.48)$$

де:

$D_{min}, D_{max}$  – нижня та верхня межі для визначення аномальних значень.

$\hat{y}_t$  – прогнозоване значення у момент часу  $t$ , яке виступає як центр допустимого діапазону.

$\sigma$  – стандартне відхилення помилок прогнозу, що показує, наскільки сильно типові значення відхиляються від прогнозу.

$k$  – параметр чутливості: чим він більший, тим ширші межі, тобто система буде менш чутливою до відхилень (менше аномалій); чим менший — тим чутливість вища, і навіть незначне відхилення може вважатись аномалією[7; 8; 9].

Такий адаптивний підхід дозволяє гнучко виявляти аномалії у залежності від стану системи, враховуючи зміни в даних або рівні шуму.

Модель визначення критичності ситуації

Щоб оцінити, наскільки ситуація є критичною, потрібно підрахувати кількість значень, які вийшли за межі допустимого діапазону. Це дозволяє кількісно оцінити рівень відхилень і ухвалити рішення про необхідність реагування:

$$j = \sum_{i=0}^n o1(P_i \leq D_{min} \vee P_i \geq D_{max}) \quad (2.49)$$

де:

$j$  – це загальна кількість аномальних значень за певний період часу або за вибіркою.

$P_i$  – поточне значення показника у момент часу  $i$ , яке порівнюється з межами.

$o1$  – індикаторна функція: вона повертає 1, якщо значення вийшло за межі  $D_{min}$  або  $D_{max}$ , інакше — 0.

Підсумовування всіх одиниць дає кількість аномальних випадків, що дозволяє оцінити рівень критичності ситуації.

Якщо кількість таких значень перевищує певний поріг, система може вважати ситуацію аварійною або нестандартною й активувати додаткові механізми реагування[7; 8; 9].

## **2.2. Модель семантичної атрибуції кіберінцидентів у системах виявлення аномалій на основі глибокого навчання**

Метою створення даної моделі є підвищення ефективності ідентифікації кіберінцидентів шляхом розроблення та інтеграції вперше запропонованої автоматизованої математичної моделі семантичної атрибуції у глибоку систему виявлення аномалій. Якщо класичні методи детектування зводяться переважно до фіксації факту відхилення від «нормальної» поведінки мережі, то запропонований підхід дозволяє здійснити якісно новий перехід — від простого сигналу про аномалію до її осмисленого семантичного пояснення із вказанням можливих джерел та контексту[7; 8; 12]. Це відкриває перспективи не лише для детекції, а й для побудови пояснюваних систем кіберзахисту. Семантична атрибуція у даному контексті розглядається як процес встановлення причинно-наслідкових зв'язків між виявленими аномаліями у мережевому трафіку та ймовірними сценаріями реалізації кіберзагроз[9; 11; 12]. На відміну від традиційних підходів, які покладаються на статичні правила чи ручний аналіз логів, автоматизована модель застосовує принципи штучного інтелекту, машинного навчання та методи обробки природної мови (NLP). Це дає змогу



системі формувати не лише індикатор аномальної активності, а й пояснювану «історію» події, яка враховує її семантичний контекст[8; 12].

Інтеграція семантичного рівня у загальну архітектуру системи виявлення аномалій передбачає декілька ключових етапів:

- Отримання вхідних даних – система приймає результати попередньо виявлених аномалій від моделей прогнозування та детекції трафіку на основі AI.
- Формування семантичних ознак – будується багатовимірний простір, що описує подію в контексті часу, топології мережі, використовуваних протоколів, інтенсивності потоків, поведінкових характеристик користувачів та інших параметрів.
- Атрибуція до відомих патернів загроз – за допомогою навченої моделі відбувається зіставлення аномалії з базою знань про кіберзагрози (наприклад, MITRE ATT&CK, CVE-каталоги чи корпоративні репозиторії інцидентів). Це дозволяє автоматично відносити події до певних класів атак: DDoS, сканування портів, SQL-ін'єкції, фішинг, експлуатація вразливостей тощо.
- Виділення пояснюваних ознак – формується набір аргументів, який пояснює прийняте рішення. Наприклад: «аномалія X співпадає з поведінкою, характерною для атаки типу Y, оскільки зафіксовано повторювані запити з однаковою сигнатурою, що перевищують звичайний рівень активності».

Запропонований підхід має низку суттєвих переваг:

- Зниження кількості хибнопозитивних спрацювань, оскільки модель враховує не лише статистичні відхилення, а й їхній семантичний контекст.
- Підвищення точності атрибуції, що особливо важливо у випадках подібних за формою, але різних за змістом атак.

- Пояснюваність результатів, яка є критичною вимогою для сучасних систем штучного інтелекту й дозволяє операторам SOC ухвалювати швидкі та обґрунтовані рішення.
- Масштабованість та адаптивність, адже модель може постійно збагачуватися новими знаннями, інтегруючись із зовнішніми та внутрішніми базами інцидентів.

Очікується, що впровадження семантичної атрибуції у глибинну архітектуру виявлення аномалій забезпечить перехід від детектування «сигналів шуму» до побудови інтелектуальних звітів про ймовірні атаки. Це дозволить суттєво скоротити час реакції на кіберінциденти, мінімізувати навантаження на операторів безпеки та створить основу для системи підтримки прийняття рішень у центрах моніторингу безпеки (SOC) [7; 8; 9; 11; 12].

Для формалізації моделі введемо наступні позначення (Табл. 1).

Таблиця 2.3

#### Умовні позначення та параметри моделі

Позначення	Опис
$S_t$	множина мережевих подій у часовому вікні $t$
$v_i^{(h)} \in R^{d_h}$	вектор технічних (header-based) ознак для $i$ -го пакета
$v_i^{(d)} \in R^{d_d}$	семантичний вектор даних (payload-based features)
$d_h$	розмірність простору технічних ознак
$d_d$	розмірність простору семантичних ознак
$w$	розмір вікна аналізу (кількість пакетів)
$K$	кількість відомих класів кібератак / аномалій
$\hat{I}_t$	інтегрований вектор ознак інциденту у вікні $t$
$\alpha, \beta$	вагові коефіцієнти для балансування технічних та семантичних ознак
$w_{k,m}$	параметри глибинної моделі (вагові коефіцієнти між шарами $k$ та $m$ )

#### Формалізація вхідних даних

Будь-яка система виявлення аномалій у сфері кіберзахисту функціонує на основі аналізу мережевого трафіку, який являє собою потік даних, структурований у вигляді пакетів. Кожен пакет містить набір технічних

параметрів (заголовкові ознаки) та інформаційне навантаження (payload). Для побудови математичної моделі необхідно здійснити формалізацію цього процесу, визначивши, у яких просторах існують дані, які з них несуть поведінкову, а які – семантичну інформацію.

Позначимо множину всіх пакетів за певний проміжок часу  $T$  як:

$$\mathcal{P}(T) = \{p_1, p_2, \dots, p_n\}, \quad p_i \in P. \quad (2.50)$$

Кожен пакет  $p_i$  можна розглядати як вектор, що складається з двох компонентів:

$$p_i = (h_i, d_i), \quad (2.51)$$

де:

- $h_i \in H$  – вектор заголовкових характеристик (IP-адреси джерела та призначення, порти, протокол, розмір пакета, часові мітки тощо),
- $d_i \in D$  – дані корисного навантаження (payload), які містять безпосередньо інформаційний контент.

Таким чином, простір даних розбивається на поведінковий компонент (множина  $H$ ) та контентний (множина  $D$ ).

Задача виявлення аномалій традиційно формулюється у просторі  $H$ : на основі статистичних характеристик заголовків визначається відхилення від норми. Проте для виконання семантичної атрибуції необхідно ввести відображення також і для  $D$ , тобто працювати з внутрішнім змістом даних, які передаються.

Для цього введемо функцію відображення:

$$\phi: D \rightarrow E^m, \quad (2.52)$$

де  $E^m$  – простір векторних представлень (ембеддингів), у якому зберігається інформація про структурні та семантичні характеристики корисного навантаження.

Отже, кожен пакет у формалізованому вигляді описується як:

$$p_i = (h_i, \phi(d_i)), \quad (2.53)$$

що забезпечує подвійний опис: з боку поведінки (заголовкові ознаки) та з боку змісту (семантика даних).

Далі введемо множину інцидентів  $\mathcal{I}$ , які можуть бути зафіксовані системою:

$$\mathcal{I} = \{I_1, I_2, \dots, I_k\}, \quad I_j \in C, \quad (2.54)$$

де  $C$  – множина класів кіберінцидентів (наприклад,  $\{DDoS, SQLi, XSS, XxE, brute - force, 0 - day\}$ ).

Таким чином, завдання полягає у побудові відображення:

$$f: \mathcal{P}(T) \rightarrow \mathcal{I}, \quad (2.55)$$

яке для множини спостережуваних пакетів за певний час визначає ймовірний тип кіберінциденту або констатує його відсутність.

У такій формалізації створюємо основу для наступних етапів – виділення ознак, побудови нейромережевої моделі та визначення функції атрибуції.

Виділення та трансформація ознак

Після формалізації мережевого трафіку як множини пакетів, що мають поведінкові та семантичні складові, необхідно визначити спосіб переходу від «сирих» даних до простору інформативних ознак.

Поведінкові ознаки

Заголовкові характеристики пакетів  $h_i \in H$  містять числові та категоріальні параметри (IP-адреси, порти, протокол, часові інтервали). Для коректної обробки їх потрібно перетворити у числову форму:

- категоріальні ознаки (тип протоколу, порт) кодуються методом one-hot або embedding,
- числові ознаки (розмір пакета, інтервал між пакетами) нормалізуються до інтервалу  $[0,1]$  або стандартизуються за формулою

$$x' = \frac{x - \mu}{\sigma}, \quad (2.56)$$

де  $\mu$  – середнє значення,  $\sigma$  – стандартне відхилення.

У результаті отримаємо вектор поведінкових ознак:

$$v_i^{(h)} = \psi(h_i) \in R^{d_h}, \quad (2.57)$$

де  $d_h$  – розмірність простору поведінкових ознак.

Контентні (семантичні) ознаки

Корисне навантаження пакета  $d_i \in D$  є текстовим або бінарним фрагментом, який може містити як коректні дані, так і шкідливий код. Для переходу до простору ознак застосовується функція відображення  $\phi(d_i)$ , яка може реалізовуватися різними способами:

- N-грами та частотні вектори, що відображають локальні закономірності у даних,
- Word2Vec / FastText для текстових даних, що дозволяють вловлювати семантичні подібності,
- Byte-level embedding для випадків, коли дані неструктуровані або шифровані.

Формується вектор:

$$v_i^{(d)} = \phi(d_i) \in R^{d_d}, \quad (2.58)$$

де  $d_d$  – розмірність простору семантичних ознак.

Об'єднаний простір ознак

Оскільки для атрибуції необхідно враховувати як поведінкові, так і семантичні ознаки, виконується їх об'єднання:

$$v_i = \left[ v_i^{(h)} \parallel v_i^{(d)} \right] \in R^{d_h+d_d}, \quad (2.59)$$

де оператор  $\parallel$  позначає конкатенацію векторів.

Кожен пакет описується уніфікованим вектором ознак, що містить інформацію як про структуру трафіку, так і про його зміст.

Формування послідовностей

Оскільки кіберінциденти проявляються у вигляді сукупності пакетів, для подальшого навчання модель оперує не окремими векторами  $v_i$ , а послідовностями:

$$S_t = \{v_{t-w+1}, \dots, v_t\}, \quad S_t \in R^{w \times (d_h+d_d)}, \quad (2.60)$$

де  $w$  – розмір вікна спостереження.

Це дозволяє враховувати часові залежності та динаміку розвитку кібератаки.

Математична модель атрибуції кіберінцидентів

Мета семантичної атрибуції полягає у визначенні, до якого класу кіберінцидентів належить спостережувана аномалія. Для цього побудуємо нейромережеву модель, яка на вході приймає вектори ознак (поведінкових і семантичних) та відображає їх у ймовірнісний простір класів.

Вхідні дані

Як було визначено вище, кожне вікно трафіку розміром  $w$  описується матрицею

$$S_t \in R^{w \times (d_h + d_d)}, \quad (2.61)$$

де  $d_h$  – кількість поведінкових ознак,  $d_d$  – кількість семантичних ознак.

Нейронна модель

Для відображення часової структури та семантики даних використаємо гібридну архітектуру:

- LSTM-блоки (або GRU) для врахування динаміки у часових рядах,
- Dense-шари для інтеграції семантичної інформації,
- Softmax-вихід для отримання ймовірностей належності до класів.

Модель описується як відображення:

$$F_\theta: S_t \rightarrow y_t, \quad (2.62)$$

де  $\theta$  – параметри мережі (ваги), а вихідний вектор має вигляд:

$$y_t = (y_{t,1}, y_{t,2}, \dots, y_{t,K}), \quad y_{t,k} \in [0,1], \quad \sum_{k=1}^K y_{t,k} = 1. \quad (2.63)$$

Тут  $K = |C|$  – кількість класів кіберінцидентів (наприклад: DDoS, SQLi, XSS, 0-day тощо).

Функція атрибуції

Атрибуція полягає у виборі класу з максимальною ймовірністю:

$$\hat{t} = \arg \max_k y_{t,k}. \quad (2.64)$$

Таким чином, кожне вікно трафіку отримує атрибутивну мітку, яка визначає тип виявленого інциденту.

Функція втрат

Для навчання моделі використовується функція крос-ентропії:

$$\mathcal{L}(\theta) = -\frac{1}{N} \sum_{t=1}^N \sum_{k=1}^K \delta_{I_t, k} \cdot \log y_{t, k}, \quad (2.65)$$

де  $\delta_{I_t, k} = 1$ , якщо істинний клас інциденту  $I_t = k$ , інакше  $- 0$ .

Інтеграція з виявленням аномалій

На практиці модель інтегрується у двоетапний процес:

1. Аномалія виявляється на основі поведінкових ознак (статистика заголовків, навантаження).

2. Атрибуція виконується лише для аномальних сегментів: семантичний аналіз payload + класифікація за допомогою  $F_\theta$ .

Таким чином, поєднується обчислювальна ефективність (спочатку фільтрація за поведінкою) та точність (додатковий семантичний аналіз)

### **2.3. Модель визначення рівня критичності вхідного мережевого трафіку на основі отриманих аномалій**

Виявлення факту аномалії та її семантична атрибуція мають бути безпосередньо пов'язані з визначенням рівня критичності, оскільки саме цей показник формує основу для вибору пріоритету реагування у системах моніторингу безпеки. У традиційних IDS/IPS-системах критичність здебільшого задається статично: для окремих типів атак наперед визначається фіксований рівень ризику[9; 11; 12]. Наприклад, атаки типу DDoS автоматично відносять до категорії високої небезпеки, тоді як спроби SQL-ін'єкцій зазвичай позначаються як середні за критичністю. Такий підхід є зручним для швидкої орієнтації операторів, проте він має низку істотних обмежень. Статичні правила не враховують реального контексту події, особливостей конкретної мережевої інфраструктури, поточного стану системи, взаємозв'язків між подіями, а також

потенційних каскадних наслідків. У результаті частина інцидентів може отримати завищений рівень небезпеки, тоді як справді критичні події залишаються недооціненими[7; 8; 12]. Запропонована модель орієнтована на подолання цих недоліків завдяки динамічному визначенню критичності. На відміну від статичного підходу, вона інтегрується з попередніми етапами – виявленням аномалії та її семантичною атрибуцією. Це дозволяє розглядати загрозу не лише через формальні ознаки, а й у ширшому контексті, враховуючи умови її реалізації та потенційний вплив на ключові ресурси. Таким чином, оцінка критичності стає більш адаптивною та відображає реальний рівень ризику для конкретної організації[8; 9; 12].

Функціонування моделі базується на кількох концептуальних положеннях. По-перше, вона враховує параметри інциденту, включаючи час його виникнення, інтенсивність трафіку, характер цільових систем і взаємозв'язок з іншими аномаліями. По-друге, модель безпосередньо використовує результати семантичної атрибуції, яка надає детальний опис події. Завдяки цьому один і той самий тип атаки може мати різний рівень критичності залежно від середовища: наприклад, сканування портів у тестовому сегменті мережі вважається подією низької пріоритетності, тоді як у системах критичної інфраструктури воно може бути розцінене як індикатор серйозної загрози. По-третє, модель має здатність адаптивно переглядати оцінку критичності в реальному часі. Якщо спостерігається повторюваність події або її ескалація, рівень ризику автоматично зростає, навіть якщо спочатку вона була класифікована як відносно незначна[7; 8; 9; 11].

Окреме значення у моделі надається багатофакторному аналізу. Рівень критичності формується із урахуванням типу атаки, характеру її цілі, ймовірності успішної реалізації та очікуваних наслідків для конфіденційності, цілісності та доступності даних. Такий підхід дозволяє не лише уникати помилкових пріоритетів, а й будувати цілісну картину ризиків для організації. Наприклад, SQL-ін'єкція, спрямована на публічний інформаційний ресурс без



конфіденційних даних, не становитиме критичної загрози, тоді як аналогічна атака на внутрішню базу клієнтів може бути оцінена як інцидент найвищого рівня[7; 8; 9; 11].

Ключовою відмінністю запропонованої моделі є її здатність працювати у динамічному режимі та адаптуватися до конкретних сценаріїв атак. Це забезпечує зменшення кількості помилкових пріоритетів, підвищує ефективність використання ресурсів центрів моніторингу безпеки та дозволяє концентрувати увагу операторів на тих інцидентах, які справді становлять значну небезпеку. У підсумку модель визначення критичності виступає завершальною ланкою інтегрованої архітектури інтелектуальної системи виявлення загроз, оскільки саме вона переводить процес від етапів виявлення та пояснення аномалій до їхньої пріоритизації. Це створює основу для побудови ефективних стратегій реагування, оптимізації роботи SOC та зниження ризиків для організації в цілому[8; 9].

Формалізація рівня критичності

Нехай маємо множину рівнів критичності:

$$L = \{l_1, l_2, \dots, l_M\}, \quad (2.66)$$

де  $l_1$  = низький,  $l_2$  = середній,  $l_3$  = високий,  $l_4$  = критичний.

Критичність інциденту в момент часу  $t$  описується функцією:

$$R_t = g(\hat{I}_t, C_t), \quad (2.67)$$

де  $\hat{I}_t$  – атрибутований клас інциденту,

$C_t$  – контекстні параметри (інтенсивність кібератаки, кількість скомпрометованих вузлів, обсяг трафіку, важливість сервісу).

Вагова модель

Запровадимо систему вагових коефіцієнтів для поєднання інформації:

$$R_t = \alpha \cdot f(\hat{I}_t) + \beta \cdot h(C_t), \quad (2.68)$$

де

–  $f(\hat{I}_t)$  – базова оцінка критичності залежно від типу кібератаки,

- $h(C_t)$  – динамічна корекція з урахуванням контексту,
- $\alpha, \beta \in [0,1]$  – вагові коефіцієнти, що задають відносну важливість семантики та контексту.

Наприклад:

- DDoS проти другорядного сервісу може мати рівень «середній»,
- той самий DDoS проти платіжного шлюзу – «критичний».

Нормалізація ймовірностей

Оскільки вихід моделі атрибуції є ймовірнісним вектором  $y_t$ , його також можна використати для обчислення ступеня впевненості у критичності:

$$P(R_t = l_m) = \sum_{k=1}^K y_{t,k} \cdot w_{k,m}, \quad (2.69)$$

де  $w_{k,m}$  – ваговий коефіцієнт, що визначає, наскільки інцидент класу  $k$  відповідає рівню критичності  $l_m$ .

Таким чином, критичність визначається не жорстко, а як розподіл ймовірностей. Це дозволяє оператору бачити невизначеність системи і приймати більш обґрунтовані рішення.

### **Визначення рівня критичності за часткою аномалій**

Після того як визначено кількість аномальних значень  $j$ , система оцінює рівень загрозовості ситуації, або рівень критичності. Це робиться на основі того, яка частка всіх значень є аномальною. Залежно від цієї частки ситуація класифікується як нормальна або має певний ступінь критичності. Такий підхід дозволяє автоматично адаптувати реакцію системи до кількості виявлених відхилень, не реагуючи надмірно на поодинокі аномалії, але фіксуючи небезпеку при їхній концентрації.

$$C_r \begin{cases} 3, & j > 0.4 * n \\ 2, & j > 0.2 * n \\ 1, & j > 0.05 * n \\ 0, & other \end{cases} \quad (2.70)$$

де:

$C_r$  – це рівень критичності ситуації, числове значення від 0 до 3:

3 — ситуація найбільш критична, потребує негайного реагування;

2 — підвищений рівень, можливе втручання;

1 — незначні відхилення, варто контролювати;

0 — нормальний стан, немає загрози.

$n$  – загальна кількість даних, що були проаналізовані.

$j$  — це кількість виявлених аномальних значень у сукупності з  $n$  спостережень.

Формула перевіряє, яка частка аномалій спостерігається, і відповідно до цього класифікує ситуацію. Чим більше аномалій, тим вищий рівень критичності  $C_r$ . Це дозволяє моделі масштабувати свою реакцію та ухвалювати рішення на основі статистичного рівня ризику, а не поодиноких випадків.

### **Інтегрована модель прогнозування та виявлення аномалій**

Одним із ключових завдань у сфері кібербезпеки та забезпечення безперервного функціонування критичних інформаційних систем є не лише своєчасне виявлення інцидентів, але й можливість заздалегідь передбачати потенційні зміни у навантаженні та трафіку. З цією метою була розроблена інтегрована модель прогнозування та виявлення аномалій, яка поєднує методи глибокого навчання з підходами автоматичного детектування відхилень. Її архітектура спрямована на забезпечення комплексного підходу: від аналізу історичних даних і формування прогнозу до класифікації виявлених аномалій за критичністю та подальшого прийняття рішень. Функціонування моделі починається з обробки вхідних даних, що надходять у вигляді часових рядів, які описують мережевий трафік чи навантаження системи [8; 9]. На цьому етапі здійснюється нормалізація та очищення даних, що дозволяє усунути випадкові шуми, а також привести всі показники до єдиного масштабу. Після цього виконується обчислення згладжених значень та згладженої функції втрат, яка

формує узагальнене уявлення про поведінку системи на певному часовому проміжку[8; 9].

Далі за допомогою глибинної нейронної мережі формується прогноз майбутнього стану системи. Нейромережа враховує як локальні тенденції, так і приховані нелінійні залежності, що дозволяє отримати більш точний результат у порівнянні з традиційними статистичними методами. Отримане значення є фінальним прогнозом, що служить еталонним показником для подальшої перевірки. Наступний рівень інтегрованої моделі відповідає за виявлення аномалій. Для цього використовується автоенкодер, який виконує процес кодування та подальшого декодування даних. Якщо відновлене значення суттєво відрізняється від початкового, це означає, що система зафіксувала нетипову поведінку. Мірою цього відхилення виступає функція втрат, обчислена як середньоквадратична помилка. Далі проводиться порівняння отриманого значення з обчисленим порогом, визначеним на основі статистичних параметрів (середнього значення та стандартного відхилення). Якщо відхилення перевищує межу, подія кваліфікується як аномалія[8; 9].

Важливою особливістю моделі є механізм визначення критичності. Замість бінарного підходу «аномалія/не аномалія» система класифікує події за рівнями небезпеки, від незначних до критичних. Це забезпечує більш інформативний результат, адже оператор отримує не лише сигнал про відхилення, але й розуміння того, наскільки серйозною може бути потенційна загроза для інфраструктури. Визначення критичності враховує масштаби відхилення, його повторюваність, а також ймовірні наслідки для доступності, цілісності та конфіденційності даних[8; 9].

У кінцевій фазі інтегрована модель переходить до етапу прийняття рішень. Якщо подія класифікується як аномальна, формується повідомлення для операторів або ж автоматично запускається процедура реагування, що може включати сповіщення адміністратора, обмеження доступу чи активацію механізмів нейтралізації атаки. Це перетворює модель на дієвий інструмент

підтримки рішень у центрах моніторингу безпеки, здатний зменшувати час реагування на інциденти[8; 9].

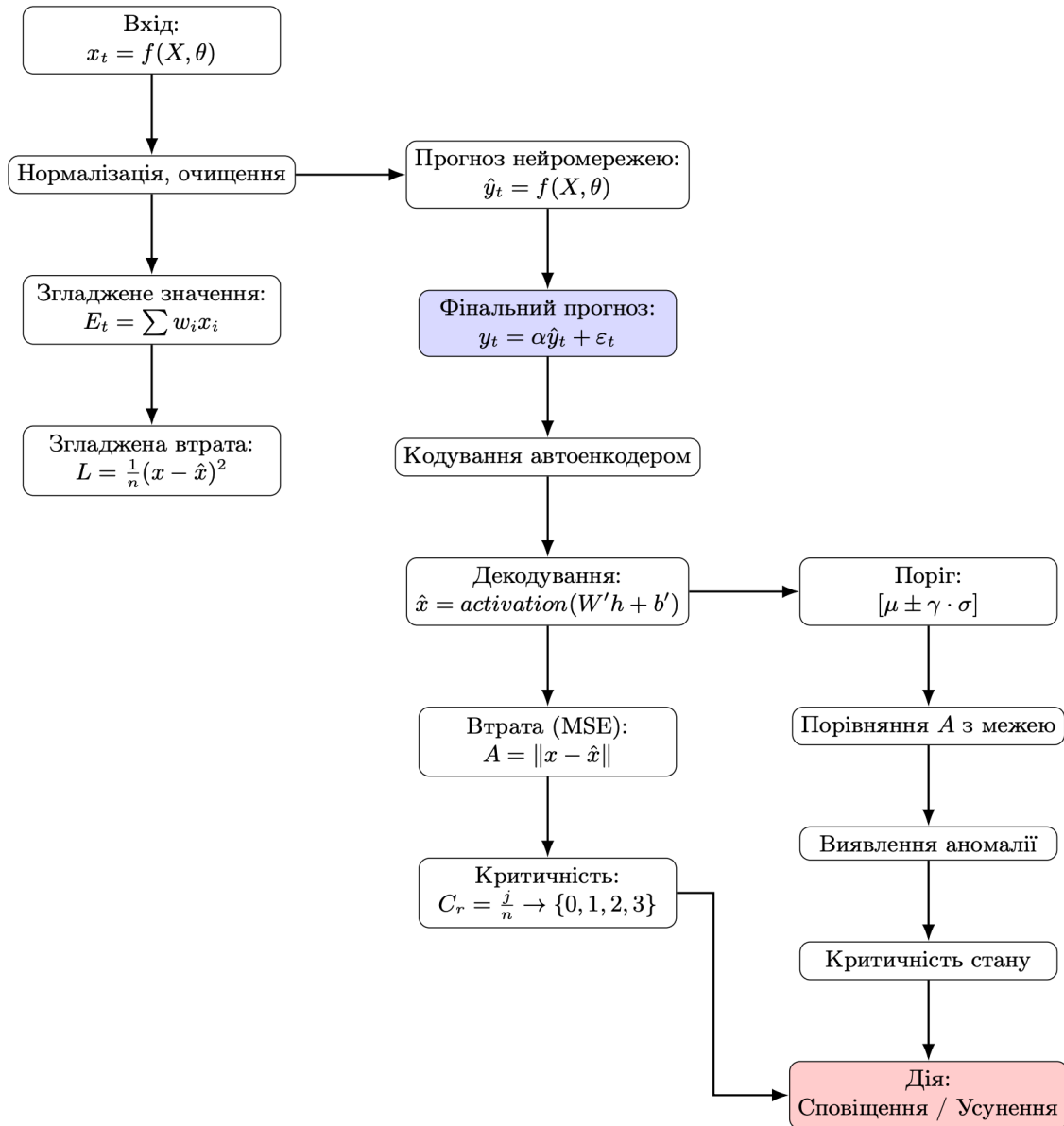


Рис.1 Інтегрована модель прогнозування та виявлення аномалій

Представлена схема наочно ілюструє послідовність роботи моделі: від первинної обробки даних та формування прогнозу за допомогою нейромережі до оцінки відхилень через автоенкодер, визначення рівня критичності та переходу до дій у вигляді сповіщень чи усунення проблеми. Така архітектура дозволяє поєднати можливості прогнозування та автоматичного детектування, що значно підвищує надійність системи кіберзахисту[8; 9].

## Висновки до розділу 2

У другому розділі було розглянуто та обґрунтовано побудову інтегрованої моделі прогнозування та виявлення аномалій у мережевому трафіку, яка поєднує в собі методи глибокого навчання, алгоритми семантичної атрибуції та механізми динамічного визначення критичності інцидентів. Представлений підхід демонструє можливість переходу від традиційних систем виявлення вторгнень, що працюють на основі статичних правил і сигнатур, до сучасних інтелектуальних рішень, які враховують контекст, взаємозв'язки та динаміку мережевих процесів.

На першому етапі було описано модель прогнозування трафіку, що ґрунтується на використанні нейронних мереж і дозволяє виявляти приховані закономірності у часових рядах. Її застосування дає змогу не лише передбачати майбутні зміни навантаження, але й відслідковувати нетипові відхилення, які виходять за межі статистичної норми. Це створює основу для раннього виявлення аномальних ситуацій, які можуть бути спричинені як технічними збоями, так і потенційними кібератаками. Важливо, що така модель здатна адаптуватися до складних і нелінійних залежностей, що робить її ефективною в умовах високої мінливості сучасних мережевих середовищ. Подальший розвиток концепції було реалізовано через впровадження моделі семантичної атрибуції, яка дозволяє здійснювати якісний перехід від простого сигналу «аномалія» до пояснення її природи. Це означає, що система не лише фіксує факт відхилення, а й надає операторам аргументовану інформацію про можливі сценарії загрози. Завдяки цьому кількість хибнопозитивних спрацювань значно скорочується, а рівень довіри до системи зростає. Водночас семантична атрибуція забезпечує пояснюваність результатів, що є ключовою вимогою сучасних рішень у сфері штучного інтелекту для кібербезпеки.

Завершальним компонентом розробленої архітектури виступає модель визначення критичності. Її принципова відмінність полягає у відмові від статичних правил на користь динамічного підходу, який враховує контекст

інциденту, характер цільових систем, ймовірність реалізації атаки та потенційний вплив на конфіденційність, цілісність і доступність даних. У такий спосіб кожна аномалія отримує свою оцінку значущості, що дозволяє операторам SOC правильно розставляти пріоритети та концентрувати ресурси на найнебезпечніших подіях. Це не лише підвищує ефективність реагування, але й оптимізує роботу всієї системи моніторингу безпеки.

У даному розділі було показано, що інтеграція трьох взаємопов'язаних складових – прогнозування на основі глибоких нейронних мереж, семантичної атрибуції та динамічної оцінки критичності – забезпечує побудову інтелектуальної системи виявлення загроз нового покоління. Її ключова перевага полягає у здатності поєднувати точність прогнозування, гнучкість інтерпретації та практичну цінність результатів для кінцевого користувача. Запропонована модель дозволяє мінімізувати хибні спрацювання, скоротити час на аналіз подій, підвищити рівень автоматизації процесів у SOC та сформувати основу для побудови більш стійких і надійних механізмів кіберзахисту.

Отримані результати доводять, що застосування інтегрованого підходу може істотно підвищити рівень кібербезпеки сучасних інформаційних систем, адже забезпечує раннє виявлення загроз, їхнє осмислене пояснення та обґрунтоване визначення пріоритетів реагування. Це робить запропоновану модель універсальним і перспективним інструментом у сфері моніторингу мережевих інцидентів.

## **РОЗДІЛ 3. РОЗРОБКА МЕТОДІВ ВИЯВЛЕННЯ АНОМАЛІЙ ТА ОЦІНЮВАННЯ ЇХ КРИТИЧНОСТІ В РЕЖИМІ РЕАЛЬНОГО ЧАСУ**

### **3.1. Метод виявлення аномалій вхідного мережевого трафіку на основі штучного інтелекту**

Розроблений метод адаптивного визначення меж аномальності ґрунтується на інтеграції глибинних нейронних мереж і автоенкодера із використанням статистичного аналізу похибок реконструкції. Його головна ідея полягає у тому, що нейронна мережа здатна відтворювати характерні закономірності мережевого трафіку на основі накопичених історичних даних, тоді як автоенкодер виконує відновлення сигналу та надає можливість оцінити, наскільки спостережувані дані відповідають очікуванім. У випадку, коли поведінка системи відхиляється від норми, похибка реконструкції зростає, що і виступає показником можливої аномалії. На відміну від традиційних методів, де межа між нормальними і аномальними значеннями задається фіксовано й не змінюється протягом роботи системи, у запропонованому підході вона визначається динамічно. Це означає, що поріг аномальності формується на основі статистичних характеристик похибки реконструкції, зокрема середнього значення та стандартного відхилення. Таким чином, система враховує природні коливання трафіку і не реагує на незначні відхилення, які не мають реального значення для безпеки. Водночас різкі чи нетипові стрибки у величині похибки трактуються як свідчення того, що в системі відбуваються процеси, які виходять за межі звичайної поведінки[7; 10].

Процес роботи методу передбачає попереднє навчання автоенкодера на нормальних даних. Це дозволяє моделі сформувати уявлення про стандартні патерни трафіку. Під час подальшої експлуатації кожне нове спостереження пропускається через модель, і якщо автоенкодер не здатен коректно його відновити, різниця між вихідними та відновленими значеннями стає суттєвою. Така різниця сигналізує про те, що у трафіку присутні нові, раніше невідомі



фактори, які можуть бути наслідком як технічних збоїв, так і кіберзагроз. Особливу увагу в цьому методі приділено адаптивності. Оскільки мережевий трафік змінюється залежно від часу доби, робочих циклів користувачів чи сезонних факторів, модель постійно оновлює свої внутрішні уявлення про «норму». Це означає, що вона не зафіксується на єдиному пороговому значенні, а буде враховувати поточні статистичні характеристики даних. Завдяки цьому забезпечується баланс між чутливістю системи до нових загроз і стійкістю до звичайних флуктуацій[8; 10].

Запропонований метод має низку практичних переваг. Він дозволяє не лише виявляти факт відхилення, але й оцінювати ступінь його вираженості, що у подальшому може бути використано для визначення критичності інциденту. Крім того, метод універсальний і придатний для роботи з різними типами аномалій – від різких сплесків навантаження під час DDoS-атак до поступових змін у поведінці системи, які можуть свідчити про приховані вторгнення або витоки даних[8; 9].

У цілому запропонований підхід поєднує в собі здатність глибоких нейронних мереж відтворювати складні закономірності та можливість автоенкодера виявляти нетипові відхилення. Його ефективність підсилюється адаптивним визначенням порогів, що дозволяє системі гнучко реагувати на зміни у середовищі й мінімізувати кількість хибних спрацювань. Завдяки цьому метод можна розглядати як потужний інструмент для побудови інтелектуальних систем моніторингу безпеки, здатних працювати у режимі реального часу та забезпечувати раннє виявлення потенційно небезпечних ситуацій. Послідовність детальних етапів методу включає[8; 9]:

### **Етап 1: Попередня обробка даних**

Історичні дані нормалізуються:

$$x_i' = \frac{x_i - x_{min}}{x_{max} - x_{min}}, \quad (3.1)$$

$x_i$  - значення трафіку (або іншого показника) у певний момент часу  $i$ , яке потрібно нормалізувати.

$x_{\min}$  - мінімальне значення трафіку в усьому наборі історичних даних (тобто глобальний мінімум).

$x_{\max}$  - максимальне значення трафіку в усьому наборі історичних даних (тобто глобальний максимум).

$x_i'$  - нормалізоване значення (масштабоване до діапазону  $[0, 1]$ ).

Формула виконує мінмакс-нормалізацію (Min-Max Scaling) — вона масштабує всі значення трафіку так, щоб:

- найменше значення стало 0,
- найбільше значення стало 1,
- а всі інші значення знаходились у діапазоні від 0 до 1.

Це важливо для роботи нейронних мереж (автоенкодера), оскільки нормалізовані дані покращують швидкість збіжності моделі та зменшують ризик переобучення[8; 9].

Нейронна мережа чутлива до масштабів вхідних даних. Якщо вхідні значення різного масштабу, модель може поводитися непередбачувано. Нормалізація забезпечує рівнозначну обробку всіх значень без домінування великих чисел.

Тоді:

$x_i = 340$  — значення трафіку в момент часу  $i$ ,

$x_{\min} = 100$  — мінімальне значення у вибірці,

$x_{\max} = 500$  — максимальне значення у вибірці.

Підставимо у формулу:

$$x_i' = \frac{340-100}{500-100} = \frac{240}{400} = 0.600, \quad (3.2)$$

Отже, нормалізоване значення  $x_i' = 0.600$ .

## Етап 2: Навчання автоенкодера

Автоенкодер — це нейронна мережа, що навчається відновлювати (реконструювати) вхідні дані. Його ціль — мінімізувати різницю між вхідними та відновленими даними. Ця різниця називається похибкою реконструкції.

Автоенкодер тренується мінімізуючи похибку реконструкції:

$$J(W_e, W_d, b_e, b_d) = \frac{1}{n} \sum_{i=1}^n \|x_i - \hat{x}_i\|_2^2, \quad (3.3)$$

де:

$x_i$  - вхідні нормалізовані дані (з попереднього етапу).

$\hat{x}_i$  - відновлені (реконструйовані) дані після проходження через автоенкодер.

$n$  - кількість прикладів у навчальному наборі.

$W_e$  - ваги шару кодування (encoder weights).

$b_e$  - зміщення (bias) шару кодування.

$W_d$  - ваги шару декодування (decoder weights).

$b_d$  - зміщення шару декодування.

$\|\cdot\|_2^2$  - квадрат L2-норми (евклідова відстань у квадраті) — міра відстані між  $x_i$  і  $\hat{x}_i$ .

Ціль функції: мінімізувати середню квадратну помилку реконструкції між вхідними та відновленими даними.

Для конкретного прикладу:

- $x(t)' = 0.600$  (отримано на Етапі 1),
- відновлене значення після проходження через автоенкодер:

$$\hat{x}(t) = 0.750, \quad (3.4)$$

Це значення зберігає ту саму шкалу  $[0, 1]$ , що й вхід.

### Етап 3: Реконструкція даних

Поточне значення реконструюється автоенкодером:

$$\hat{x}(t) = \psi(W_d \phi(W_e x(t) + b_e) + b_d), \quad (3.5)$$

Покрокове пояснення:

1. Кодування (encoder):

$$z = \phi(W_e x(t) + b_e), \quad (3.6)$$

- $W_e$  — матриця ваг для кодування
  - $b_e$  — вектор зміщення
  - $\phi$  — активаційна функція (наприклад, ReLU або tanh)
  - $z$  — латентне (стиснуте) представлення даних
2. Декодування (decoder):

$$\hat{x}(t) = \psi(W_a z + b_a), \quad (3.7)$$

де:

$W_a$  — матриця ваг для декодування

$b_a$  — вектор зміщення

$\psi$  — вихідна активаційна функція (наприклад, sigmoid або linear)

В результаті:

$\hat{x}(t)$  — відновлене значення, що має бути максимально близьким до  $x(t)$ .

Якщо мережа добре навчається, то для нормальних (неаномальних) даних похибка реконструкції мала. А для аномалій — значно більша. Саме ця ідея використовується в наступних етапах для виявлення аномалій[8; 9].

#### Етап 4: Обчислення рівня аномальності

Проводиться оцінка аномалій за евклідовою нормою:

$$A(t) = \|x(t) - \hat{x}(t)\|_2 = \sqrt{\sum_{j=1}^m (x_{tj} - \hat{x}_{tj})^2}, \quad (3.8)$$

де:

$x(t)$  - вектор реальних (вимірних) значень трафіку в момент часу  $t$ .

$\hat{x}(t)$  - вектор реконструйованих (відновлених) значень у той же момент часу  $t$ , отриманих з автоенкодера.

$m$  - кількість ознак у векторі даних (розмірність).

$A(t)$  - рівень аномальності в момент часу  $t$  — евклідова відстань між реальним і відновленим значенням.

Якщо  $A(t) \approx 0$ , то реконструкція точна → дані нормальні.

Якщо  $A(t) \gg 0$ , то реконструкція погана → можлива аномалія.

Це класичний підхід в детекції аномалій з автоенкодером — використовувати похибку реконструкції як індикатор аномальності.

На основі відмінності між вхідним та відновленим значенням обчислюється рівень аномальності.

$$A(t) = \|x(t) - \hat{x}(t)\| = |0.600 - 0.750| = 0.150, \quad (3.9)$$

Отже, похибка реконструкції  $A(t) = 0.150$ . Це досить велике відхилення, яке може свідчити про аномалію.

### Етап 5: Прогноз значень мережевого трафіку

Прогноз здійснюється нейронною мережею MLP:

$$\hat{y}(t) = f_{NN}(x_{t-1}, \dots, x_{t-m}; W, b), \quad (3.10)$$

де:

$x_{t-1}, \dots, x_{t-m}$  - попередні значення трафіку за останні  $m$  моментів часу — вхід до нейромережі.

$f_{NN}$  - функція прогнозу, реалізована за допомогою багат шарової нейронної мережі (MLP).

$W$  - матриця ваг нейромережі.

$b$  - вектор зсуву (bias).

$\hat{y}(t)$  - прогнозоване значення трафіку на момент часу  $t$ .

де функція прогнозу:

$$f_{NN}(x) = \sigma(Wx + b), \quad (3.11)$$

з вагами  $W$ , зсувами  $b$  та активацією  $\sigma(\cdot)$ .

$\sigma$  — активаційна функція (наприклад, ReLU, tanh, sigmoid), що додає нелінійність.

Нейромережа вивчає шаблони в історичних даних, щоб передбачити майбутнє значення.

1. Мережа прогнозує очікувану поведінку трафіку.
2. Це значення можна порівнювати з реальним або реконструйованим, щоб визначити:

- Відхилення в майбутньому.
  - Тенденції до перевантаження або атаки.
3. Поєднання автоенкодера + MLP дозволяє як аналізувати минуле, так і передбачати майбутнє [5].

Вхідні значення:

$$x_{t-3} = 0.72, \quad x_{t-2} = 0.74, \quad x_{t-1} = 0.73, \quad (3.12)$$

Це подається на вхід MLP у вигляді вектору:

$$X = \begin{bmatrix} 0.72 \\ 0.74 \\ 0.73 \end{bmatrix}, \quad (3.13)$$

Нейромережа виконує обчислення (спрощено):

1. Шар 1 (вхідний):

$$Z^{(1)} = W^{(1)} \cdot X + b^{(1)}, \quad (3.14)$$

2. Активація (наприклад, ReLU):

$$A^{(1)} = \text{ReLU}(Z^{(1)}), \quad (3.15)$$

3. Шар 2 (вихідний):

$$\hat{y}(t) = W^{(2)} \cdot A^{(1)} + b^{(2)}, \quad (3.16)$$

При поданих вхідних значеннях і навчених вагових коефіцієнтах нейромережа видає результат:

$$\hat{y}(t) = 0.76, \quad (3.17)$$

Це означає, що згідно з історією трафіку за попередні 3 моменти часу, очікуване значення трафіку в момент  $t$  дорівнює 0.76 (у нормалізованій шкалі).

### Етап 6: Розрахунок стандартного відхилення похибок прогнозу

Стандартне відхилення похибок прогнозу обчислюється за формулою:

$$\sigma(t) = \sqrt{\frac{1}{n} \sum_{i=1}^n (x_i - \hat{y}_i)^2}, \quad (3.18)$$

$x_i$  - реальні (спостережувані) значення на момент  $i$ .

$\hat{y}_i$  - прогнозовані значення, отримані з моделі MLP (див. Етап 5).

$n$  - кількість спостережень у вікні/вибірці.

$\sigma(t)$  - стандартне відхилення похибок у прогнозі на момент часу  $t$ .

Обчислюється середньоквадратична помилка між реальними й прогнозованими значеннями, а потім береться корінь. Це дає міру розсіювання (варіативності) помилки моделі.

Якщо похибка велика (тобто  $\sigma(t)$  зростає) — це ознака нестабільності моделі або неочікуваної поведінки в даних.

Може використовуватися для:

- Адаптивного налаштування порогів аномальності (напр.  $D_{max} = \mu + k \cdot \sigma$ ),
- Визначення рівня довіри до прогнозу.

Цей етап часто використовується в поєднанні з попереднім, щоб:

- сформувати адаптивний поріг детекції аномалій,
- або ввести динамічні пороги для підвищення точності (наприклад, сигнал “аномалія” подається лише якщо  $A(t) > \mu_A + 3\sigma(t)$ ).

Нехай:

- $x = [0.74, 0.72, 0.73]$
- $\hat{y} = [0.75, 0.76, 0.74]$

Крок 1: Знайдемо похибки

$$e_1 = 0.74 - 0.75 = -0.01, \quad (3.19)$$

$$e_2 = 0.72 - 0.76 = -0.04, \quad (3.20)$$

$$e_3 = 0.73 - 0.74 = -0.01, \quad (3.21)$$

Крок 2: Піднесемо до квадрату:

$$e_1^2 = 0.0001, \quad (3.22)$$

$$e_2^2 = 0.0016, \quad (3.23)$$

$$e_3^2 = 0.0001, \quad (3.24)$$

Крок 3: Обчислимо середнє значення:

$$\text{MSE} = \frac{0.0001+0.0016+0.0001}{3} = \frac{0.0018}{3} = 0.0006, \quad (3.25)$$

Крок 4: Знайдемо квадратний корінь:

$$\sigma(t) = \sqrt{0.0006} \approx 0.0245, \quad (3.26)$$

Отримане значення стандартного відхилення похибок прогнозу:

$$\sigma(t) = 0.0245, \quad (3.27)$$

Це число буде використане в наступному етапі для обчислення адаптивних меж аномальності.

### **Етап 7: Встановлення адаптивних меж аномальності**

Адаптивні межі розраховуються за формулами:

$$L_t = \hat{y}(t) - \alpha\sigma(t), U_t = \hat{y}(t) + \alpha\sigma(t), \quad (3.28)$$

- $\hat{y}(t)$  - прогнозоване значення на момент часу  $t$ , отримане з нейронної мережі (MLP).
- $\sigma(t)$  - стандартне відхилення похибок прогнозу на момент часу  $t$ , розраховане на етапі 6.
- $\alpha$  - параметр чутливості (коефіцієнт масштабування), що задається емпірично (наприклад, 1.5, 2 або 3).
- $L_t$  - нижня адаптивна межа для нормальної поведінки.
- $U_t$  - верхня адаптивна межа.

Це дає змогу адаптивно визначати межі, в яких значення трафіку вважаються нормальними. Якщо:

- $x(t) < L_t$  або  $x(t) > U_t \rightarrow$  аномалія.
- $x(t) \in [L_t, U_t] \rightarrow$  нормальна активність.

Цей метод дозволяє:

- уникати жорстких фіксованих порогів;
- динамічно адаптуватися до зміни варіацій у даних;
- враховувати непередбачуваність трафіку — при зростанні нестабільності порогови автоматично розширюються.

Параметр  $\alpha$ :



Визначається експериментально: його підбирають так, щоб балансувати між чутливістю до аномалій і кількістю хибних спрацьовувань.

Типові значення:

- $\alpha = 1 \rightarrow$  помірна чутливість,
- $\alpha = 2 \rightarrow$  низька кількість хибних спрацьовувань,
- $\alpha = 0.5 \rightarrow$  висока чутливість (але більше хибних сигналів).

Цей етап — кульмінація всього методу. Він поєднує:

- Прогноз (MLP),
- Розсіювання похибки (стандартне відхилення),
- Гнучкі пороги, що автоматично підлаштовуються під змінність мережевого трафіку.

Нехай:

$$\hat{y}(t) = 0.76, \quad (3.29)$$

$$\sigma(t) = 0.0245, \quad (3.30)$$

$$\alpha = 2, \quad (3.31)$$

Нижня межа:

$$L_t = 0.76 - 2 \cdot 0.0245 = 0.76 - 0.049 = 0.711, \quad (3.32)$$

Верхня межа:

$$U_t = 0.76 + 2 \cdot 0.0245 = 0.76 + 0.049 = 0.809, \quad (3.33)$$

Таким чином, адаптивний діапазон нормальної поведінки:

$$[L_t; U_t] = [0.711; 0.809], \quad (3.34)$$

Якщо нормалізоване значення трафіку  $x'(t)$  виходить за ці межі — воно вважається аномальним.

### Етап 8: Виявлення аномалій

Значення класифікується як аномалія, якщо:

$$x(t) < L_t \text{ або } x(t) > U_t, \quad (3.35)$$

$x(t)$  - реальне (фактичне) значення трафіку в момент часу  $t$ .

$L_t, U_t$  - адаптивні нижня та верхня межі нормального діапазону (розраховані на Етапі 7).

Якщо значення трафіку виходить за межі довірчого інтервалу, це сигналізує про аномалію:

- Нижня аномалія: може свідчити про втрату трафіку, збій, зменшення активності.
- Верхня аномалія: може означати атаку, перевантаження, сплеск трафіку.

Нормалізоване значення трафіку на момент  $t$ :

$$x'(t) = 0.600, \quad (3.36)$$

Адаптивні межі (з етапу 7):

$$L_t = 0.711, \quad U_t = 0.809, \quad (3.37)$$

Оскільки:

$$x'(t) = 0.600 < L_t = 0.711, \quad (3.38)$$

Висновок:

$$\Rightarrow x'(t) \notin [0.711; 0.809] \Rightarrow \text{виявлена аномалія}, \quad (3.39)$$

Це може означати:

- Різке зниження трафіку,
- Помилку в роботі системи,
- Зовнішній вплив (наприклад, DDoS, падіння сервісу, збій обладнання тощо).

Крок	Що виконується
1.	Нормалізація історичних даних
2.	Тренування автоенкодера
3.	Реконструкція даних
4.	Обчислення рівня аномальності
5.	Прогноз значень MLP
6.	Стандартне відхилення похибок
7.	Розрахунок адаптивних меж $L_t, U_t$
8.	Виявлення аномалій: $x(t) \notin [L_t, U_t]$

Уперше було розроблено метод адаптивного визначення меж аномальності, який поєднує можливості автоенкодера для реконструкції мережевого трафіку з прогнозною MLP-моделлю, здатною передбачати потенційні відхилення на основі історичних даних. Такий гібридний підхід вирізняється тим, що він дозволяє виявляти загрози не лише постфактум, після того як відбулося відхилення від норми, а й на етапі їх зародження, коли зміни ще не набули критичного характеру, проте вже відрізняються від типових закономірностей. Це істотно підвищує превентивний рівень безпеки та забезпечує можливість проактивного реагування[8; 9].

Особливість методу полягає в інтеграції двох взаємодоповнюючих механізмів. Автоенкодер навчається на нормальному трафіку і виконує реконструкцію, відхилення в якій сигналізують про нетипову активність. Паралельно MLP-модель прогнозує подальший розвиток трафіку, формуючи очікувану траєкторію поведінки системи. Порівняння цих прогнозних даних з фактичними дозволяє виявляти навіть мінімальні зміни у динаміці, що можуть бути першими ознаками атаки чи технічної проблеми. Поєднання двох моделей дає змогу одночасно оцінювати як поточний стан мережі, так і її прогнозований розвиток, створюючи подвійний захисний бар'єр[8; 9].

Результатом такої інтеграції є підвищена точність детектування аномалій і суттєве зменшення кількості хибнопозитивних спрацювань. Це забезпечується тим, що система не обмежується простим аналізом статистичних відхилень, а враховує динамічний контекст і взаємозв'язки між минулими та майбутніми станами мережі. Завдяки цьому метод стає універсальним інструментом, який можна застосовувати як у корпоративних інформаційних системах, так і в сегментах критичної інфраструктури, де надзвичайно важливим є своєчасне реагування на потенційні загрози[8; 9].

### **3.2. Метод семантичної атрибуції кіберінцидентів у системах виявлення аномалій на основі глибокого навчання**

Отримані на попередньому етапі результати виявлення аномалій у мережевому трафіку забезпечують базовий рівень технічного моніторингу та дозволяють ідентифікувати відхилення від статистично або поведінково нормальної активності. Проте виявлення факту аномалії ще не означає розуміння її сутності. Для ухвалення адекватних рішень у системах кіберзахисту, особливо тих, що належать до критичних інформаційних інфраструктур, необхідно не лише фіксувати відхилення, а й з'ясувати їх причинно-семантичну природу, тобто визначити, з яким типом події, технікою або сценарієм атаки вони пов'язані. У класичних системах виявлення вторгнень (IDS/IPS) цей етап часто обмежується статичним порівнянням з базами сигнатур або евристичними правилами. Такий підхід не дозволяє ефективно інтерпретувати нові чи комбіновані загрози, що не мають чітко визначеного шаблону. Тому в сучасних умовах розвитку інтелектуальних систем безпеки виникає потреба у методі, який би поєднував статистичне виявлення, машинне навчання та семантичну інтерпретацію подій, що виявляються як аномальні[12].

Виявлені аномалії, отримані внаслідок роботи інтегрованої моделі прогнозування і реконструкції трафіку, є вхідними даними для наступного рівня — рівня семантичної атрибуції. Його основна ідея полягає у переході від числових або векторних представлень подій до їх осмисленого відображення в простір знань про кіберінциденти, де кожен об'єкт (подія) набуває семантичних зв'язків із відомими тактиками, техніками чи процедурами атак. Таким чином, система отримує можливість не лише фіксувати факт відхилення, а й пояснювати його у контексті загальної картини безпеки. Метод семантичної атрибуції, запропонований у цьому підрозділі, виконує функцію посередньої ланки між рівнем детектування і рівнем аналітичного реагування. Він приймає на вхід множину виявлених аномалій, доповнених поведінковими та контекстними ознаками, і відображає їх у ймовірнісний простір класів кіберінцидентів. Для

цього використовуються гібридні архітектури глибинного навчання, що поєднують часові моделі (LSTM/GRU) з щільними семантичними шарами, а також база знань, сформована на основі онтологій MITRE ATT&CK та внутрішніх правил організації[12].

Розроблений підхід дозволяє формувати пояснювані результати, де кожна атрибутована подія супроводжується обґрунтуванням — указанням релевантних ознак, фрагментів трафіку, типу активності та потенційного впливу на об'єкти інфраструктури. Такий механізм значно підвищує рівень ситуаційної обізнаності (situational awareness) і дозволяє скоротити час між виявленням та реакцією на інцидент. Запропонований метод є невід'ємною частиною загальної архітектури системи: результати семантичної атрибуції надалі використовуються для оцінювання критичності інцидентів та формування динамічних політик реагування у модулі управління ризиками. Таким чином, семантична атрибуція виступає не лише етапом класифікації, а й механізмом інтелектуального зв'язку між низькорівневими показниками мережевого трафіку та високорівневими рішеннями системи безпеки[12].

Для практичної демонстрації роботи моделі семантичної атрибуції було здійснено покроковий розрахунок на основі тестових даних. Метою прикладу є перевірка коректності функціонування моделі, побудованої у підрозділі 2.2, та оцінка здатності системи переходити від «сирих» аномалій до семантично осмисленого класу інциденту й визначення рівня його критичності.

### 1. Підготовка ознак

На першому етапі проведено нормалізацію поведінкових числових ознак, які характеризують інтенсивність і структуру мережевого трафіку. Цей процес є обов'язковим елементом попередньої обробки даних у системах машинного навчання, оскільки забезпечує порівнянність усіх параметрів, що мають різні одиниці вимірювання та діапазони значень. Без нормалізації моделі глибокого навчання можуть надавати перевагу ознакам із більшими абсолютними величинами, що призводить до спотворення результатів класифікації або

уповільнення процесу навчання. У моделі передбачено можливість масштабування значень ознак до уніфікованого діапазону  $[0; 1]$ , що дає змогу вирівняти внесок кожного параметра в загальну оцінку, або стандартизації відносно середнього значення та стандартного відхилення. Обидва підходи забезпечують стабільність навчання нейронної мережі й коректність порівняння ознак між собою, проте стандартизація є більш універсальною для потокових даних, де середні значення можуть змінюватися з часом[12].

З огляду на зазначене, у запропонованій моделі використовується стандартизація за формулою:

$$z = \frac{x - \mu}{\sigma}, \quad (3.40)$$

де  $x$  — поточне значення ознаки,  $\mu$  — середнє значення,  $\sigma$  — стандартне відхилення.

Для демонстрації процесу стандартизації було сформовано прикладовий набір даних, який відображає типові параметри мережевої активності, зафіксовані протягом одного часового вікна спостереження. До вибірки включено показники, що найбільш інформативно характеризують поведінку мережевого трафіку та використовуються для подальшої атрибуції інцидентів: розмір переданих пакетів, часові інтервали між ними та кількість встановлених з'єднань за визначений проміжок часу. Для кожного параметра наведено фактичне значення, середнє арифметичне, стандартне відхилення та обчислену стандартизовану оцінку  $z$ , яка дозволяє оцінити ступінь відхилення показника від норми:

Ознака	Значення $x$	Середнє $\mu$	Відхилення $\sigma$	$z = \frac{x - \mu}{\sigma}$
Розмір пакета (байт)	650	500	100	1.50
Інтервал між пакетами (мс)	35	20	5	3.00
Кількість з'єднань за 30 с	140	90	20	2.50

На основі отриманих результатів можна зробити висновок, що дві з трьох поведінкових ознак виходять за межі нормального статистичного діапазону

( $|z| > 2$ ). Це свідчить про наявність нетипової активності в аналізованому часовому вікні, яка потенційно може бути пов'язана з аномальною поведінкою користувача або з підготовчим етапом кіберінциденту. Таке відхилення фіксується системою як первинний сигнал для подальшої семантичної інтерпретації. Зазначені значення  $z$ -оцінок демонструють, що інтервали між пакетами та кількість з'єднань мають найбільше відхилення від середніх показників. Це дає підстави припустити збільшення інтенсивності мережевої взаємодії, характерної, наприклад, для автоматизованих сканувань портів або багаторазових спроб автентифікації. У подальших етапах аналізу ці відхилення стають основою для роботи індикаторної функції та визначення кількості аномалій, що дозволяє перейти від базового статистичного опису до семантичного рівня атрибуції[12].

## 2. Визначення кількості аномалій

Для формалізації процесу оцінювання ступеня відхилення від нормальної поведінки у системі використовується індикаторна функція, що дозволяє перевести безперервні значення стандартизованих ознак  $z_i$  у дискретну форму — «аномальна» або «нормальна» подія. Такий підхід спрощує подальший аналіз і дає можливість однозначно визначати кількість відхилень у межах заданого часового інтервалу[12].

Індикаторна функція задається у вигляді:

$$I(z_i) = \begin{cases} 1, & |z_i| > 2 \\ 0, & |z_i| \leq 2 \end{cases} \quad (3.41)$$

Вона приймає одиничне значення у випадку виявлення аномальної поведінки, тобто коли показник виходить за межі статистично прийнятного діапазону ( $|z_i| > 2$ ), і нульове значення, коли параметр перебуває в межах норми. Такий двійковий підхід дозволяє точно оцінювати кількість подій, що можуть бути потенційними ознаками інциденту.

$$K_{\text{anom}} = \sum_{i=1}^n I(z_i) \quad (3.42)$$

Отримане значення  $K_{\text{аном}}$  відображає кількість параметрів, які демонструють поведінку, що істотно відхиляється від нормальної. Чим більша ця кількість, тим вища ймовірність того, що зафіксована подія є нетиповою для системи. У наведеному прикладі розрахунку отримано  $K_{\text{аном}} = 2$  з трьох можливих ознак, що означає спрацьовування двох індикаторів аномальної активності. Це свідчить про локалізоване, але стійке відхилення в поведінці трафіку. Такий результат узгоджується з моделлю оцінки критичності ситуації, у якій кількість активних індикаторів використовується як первинний маркер потенційної загрози[12].

З практичної точки зору, цей показник дозволяє оперативно визначити моменти підвищеної активності або поведінкові зміни в мережевому середовищі, що потребують подальшої семантичної інтерпретації та аналізу на вищих рівнях моделі.

### 3. Семантична атрибуція

Далі виконується атрибуція отриманих аномалій до одного з відомих класів кіберінцидентів. На цьому етапі система переходить від чисто кількісного опису до смислової інтерпретації події, що є ключовим для побудови пояснюваних моделей виявлення загроз. Атрибуція дозволяє встановити, до якого типу атак або небезпечних дій належить виявлена аномальна активність, і тим самим забезпечує більш точне та своєчасне реагування. У межах моделі розглядається інтеграція поведінкових ознак, отриманих із трафіку (наприклад, частота запитів, обсяг переданих даних, часові інтервали між пакетами), із семантичними атрибутами, що описують контекст події. До таких атрибутів належать контекстні (час і топологічне розташування вузлів), репутаційні (рівень довіри до джерела, історія взаємодії), топологічні (відстань у графі мережевих зв'язків, тип сегмента), а також логічні зв'язки між подіями у межах певної сесії або транзакції[12].

Об'єднання поведінкових і семантичних характеристик створює подвійний опис події — з боку кількісних параметрів і з боку смислового контексту. Це



дозволяє системі перейти від статистичного рівня аналізу до семантичного рівня атрибуції, у якому кожна виявлена подія розглядається як частина ширшої картини можливого інциденту. Завдяки цьому модель здатна не лише виявляти факт аномалії, а й пояснювати її походження, визначати потенційну мету зловмисника та співвідносити спостереження з відомими тактиками та техніками з бази знань MITRE ATT&CK. Семантична атрибуція виступає механізмом осмислення поведінкових даних, який поєднує алгоритмічну аналітику з експертними знаннями. Це забезпечує гнучкість системи, її адаптивність до нових типів атак і підвищує рівень достовірності класифікації[12].

Для демонстрації роботи методу у прикладі розглядаються три типові класи кіберінцидентів, що найчастіше зустрічаються у корпоративних і критичних інформаційних системах:

- $c_1$ : *PortScan*;
- $c_2$ : *SSHBrute – force*;
- $c_3$ : *DDoS*.

### 3.1. Ймовірнісні оцінки моделі

На даному етапі виконується оцінювання ймовірностей належності аномалії до певного класу кіберінцидентів. Для цього використовується гібридна модель, яка поєднує результати машинного навчання (нейромережевого класифікатора) та знання з експертних баз (онтологій, правил і кейсів). Такий підхід дозволяє врахувати як статистичні закономірності у даних, так і контекстну інформацію, притаманну конкретним типам атак[12].

Результати обчислення умовних ймовірностей за гібридною нейромережею мають вигляд:

$$p_{NN} = \begin{matrix} 0.15 \\ 0.70 \\ 0.15 \end{matrix} \quad (3.43)$$

де  $p_{NN}$  — вектор ймовірностей, сформований на основі вихідного шару нейронної мережі, що визначає ступінь належності поточної аномалії до кожного з розглянутих класів інцидентів:

- $p(c_1 = PortScan) = 0.15$ ,
- $p(c_2 = SSH Brute-force) = 0.70$ ,
- $p(c_3 = DDoS) = 0.15$

Отримані значення демонструють, що модель із високою впевненістю відносить поточну подію до класу SSH Brute-force, що узгоджується з наявними поведінковими ознаками (висока частота запитів автентифікації та короткі часові інтервали між спробами з'єднання). Після цього виконується зіставлення з базою знань, що включає формалізовані онтології MITRE ATT&CK, правила та описані кейси реальних інцидентів. Це зіставлення забезпечує апріорну оцінку ймовірності, тобто додаткову інформацію, яка не витікає безпосередньо з даних, але відображає накопичений досвід експертних систем[12].

Апріорний вектор ймовірностей має вигляд:

$$p_{KB} = \begin{pmatrix} 0.20 \\ 0.60 \\ 0.20 \end{pmatrix} \quad (3.44)$$

де  $p_{KB}$  — ймовірнісна оцінка, отримана в результаті аналізу бази знань, що враховує типові співвідношення частоти атак у даному середовищі, їхні цілі, засоби та наслідки. Порівняння цих двох джерел — нейромережових оцінок  $p_{NN}$  і знанневих апріорних оцінок  $p_{KB}$  — є основою для подальшого етапу агрегації та узгодження, у ході якого формується підсумкова оцінка належності події до певного класу інцидентів із урахуванням вагових коефіцієнтів довіри. Саме цей процес забезпечує баланс між адаптивністю моделі та експертною достовірністю, що підвищує точність атрибуції в умовах реального мережевого трафіку[12].

### 3.2. Об'єднання даних і знань

Для узгодження результатів нейромережевого аналізу та експертних знань використовується формула зваженої агрегації, яка дозволяє інтегрувати два

незалежні джерела інформації — статистичні дані з поточного вікна спостережень і апіорні оцінки з бази знань. Такий підхід забезпечує гнучке поєднання адаптивності моделі машинного навчання з достовірністю експертних рішень, що особливо важливо для систем виявлення загроз, які працюють у змінному середовищі[12].

Агрегація виконується за формулою:

$$\pi(c) = \alpha p_{NN}(c) + (1 - \alpha) p_{KB}(c), \quad (3.45)$$

де  $\pi(c)$  — підсумкова ймовірність належності події до класу  $c$ ;

$\alpha$  — коефіцієнт довіри до результатів моделі;

$p_{NN}(c)$  — ймовірність, отримана від нейромережевого класифікатора;

$p_{KB}(c)$  — ймовірність, що походить із бази знань.

Параметр  $\alpha$  задає вагу внеску статистичної (нейромережевої) компоненти у підсумкове рішення. Якщо  $\alpha$  наближене до 1, система більше покладається на дані поточного аналізу; якщо ближче до 0 — на апіорні знання. У даному прикладі використано значення  $\alpha = 0.7$ , що означає перевагу поточних даних при збереженні впливу експертної складової[12].

Обчислення за формулою для кожного класу дає:

$$\pi(c_1) = 0.165, \quad \pi(c_2) = 0.670, \quad \pi(c_3) = 0.165. \quad (3.46)$$

Отримані результати свідчать про те, що система приєднує вагомішу частку довіри до висновку нейронної мережі, але водночас коригує його відповідно до структурованих знань з онтологічної бази. Це дозволяє досягти компромісу між поточним спостереженням і накопиченим досвідом, знижуючи ризик помилкових класифікацій[12].

Найвищу підсумкову ймовірність має клас

$$c_2 = SSH \text{ Brute-force} \quad (3.47)$$

отже, модель здійснила правильну атрибуцію інциденту з рівнем впевненості

$$\pi(\hat{c}) = 0.67. \quad (3.48)$$

Об'єднання даних і знань дозволяє реалізувати пояснювану інтеграцію, у якій машинна модель формує гіпотезу на основі поточних ознак, а база знань уточнює її, враховуючи історичні та контекстні залежності. Це підвищує стійкість системи до шумів, невизначеності та варіативності даних, забезпечуючи більш точну і стабільну семантичну атрибуцію[12].

#### 4. Розрахунок рівня критичності

Оцінювання рівня критичності інциденту є завершальним етапом процедури семантичної атрибуції та має на меті визначення пріоритету реагування системи безпеки. На цьому етапі результати класифікації перетворюються на кількісну оцінку, що характеризує потенційну небезпеку події з урахуванням її типу, контексту та значущості у структурі об'єкта. Рівень критичності інциденту визначається як зважена комбінація двох складових — базової оцінки небезпечності певного типу атаки та динамічної корекції, що враховує актуальні контекстні фактори середовища. Такий підхід дозволяє не лише зафіксувати факт інциденту, а й надати кількісну характеристику його впливу на систему в поточних умовах[12].

Формально розрахунок виконується за виразом:

$$\text{Crit} = \beta_1 s(\hat{c}) + \beta_2 d, \quad (3.49)$$

де

$s(\hat{c})$  — базова критичність типу інциденту, визначена на основі заздалегідь встановленої шкали небезпечності для кожного класу атак;

$d$  — динамічна корекція, яка враховує поточні умови, зокрема топологічне положення у мережі, важливість сервісу, рівень завантаженості чи частку уражених вузлів;

$\beta_1$  і  $\beta_2$  — вагові коефіцієнти, що задають відносний вплив кожної зі складових на підсумковий результат.

Вибір значень ваг  $\beta_1$  та  $\beta_2$  відображає стратегію управління ризиком: якщо переважає інтерес до стратегічної оцінки загрози, більшу вагу має базова складова  $s(\hat{c})$ ; якщо система функціонує у динамічному середовищі з високою

змінністю подій — підсилюється контекстна частина  $d$ . Таким чином, модель здатна адаптуватися до поточного стану об'єкта та оперативно коригувати пріоритетність реагування[12].

Отримане значення Crit нормується у діапазоні  $[0; 1]$ , де 0 відповідає повній відсутності загрози, а 1 — критичному рівню, що вимагає негайного реагування. Наприклад, для інциденту типу SSH Brute-force при вагових коефіцієнтах  $\beta_1 = 0.6, \beta_2 = 0.4$ , базовій оцінці  $s(\hat{c}) = 0.7$  та контекстному факторі  $d = 0.7$  отримується підсумкове значення

$$\text{Crit} = 0.6 \cdot 0.7 + 0.4 \cdot 0.7 = 0.70. \quad (3.50)$$

Це свідчить про середньо-високий рівень критичності, що логічно відповідає атаці на важливий внутрішній вузол із незначним розповсюдженням, і визначає пріоритетну реакцію системи безпеки. Модель оцінки критичності дозволяє перейти від факту виявлення аномалії до кількісного показника ризику, який може бути безпосередньо використаний у механізмах прийняття рішень, зокрема в системах SOAR чи автоматизованому керуванні інцидентами[12].

#### 4.1. Базова критичність

Базова критичність є початковою оцінкою рівня небезпечності певного типу інциденту та формується на основі апріорних знань про природу й наслідки різних видів атак. Цей показник відображає потенційний рівень загрози незалежно від контексту, у якому відбувається інцидент, і задається в межах шкали від 0 до 1, де 0 означає відсутність ризику, а 1 — критичну небезпеку, що потребує негайного втручання. Для побудови шкали базової критичності використовуються такі критерії[12]:

- ступінь впливу атаки на функціонування системи (наприклад, порушення доступності або компрометація даних);
- тривалість і складність ліквідації наслідків;
- ймовірність подальшого розповсюдження загрози;
- історична частота виникнення події у схожих середовищах.

На підставі цих факторів формується таблична шкала, яка може бути адаптована до конкретної предметної області або категорії критичної інфраструктури.

Для тестових умов задано:

$$s(c_1) = 0.4, \quad s(c_2) = 0.7, \quad s(c_3) = 0.9. \quad (3.51)$$

Отримані значення відображають відносну небезпечність різних типів атак:

- Port Scan (0.4) характеризується як низькорівнева розвідувальна активність, що не призводить до прямого порушення цілісності або доступності системи;
- SSH Brute-force (0.7) має середньо-високий рівень критичності, оскільки може призвести до несанкціонованого доступу;
- DDoS (0.9) відображає найвищий рівень ризику через здатність вивести з ладу цілі сервіси та спричинити значні втрати продуктивності.

Відповідно, для визначеного інциденту, що був атрибутований до класу SSH Brute-force, базова критичність дорівнює:

$$s(\hat{c}) = 0.7. \quad (3.52)$$

Це значення буде використано як основа для подальшого розрахунку інтегрального показника критичності з урахуванням контекстних чинників середовища, що дозволяє адаптувати оцінку до реальних умов експлуатації системи[12].

#### 4.2. Контекстна корекція

Контекстна корекція є другим компонентом у формулі розрахунку рівня критичності та відображає вплив поточних умов функціонування системи на небезпечність виявленого інциденту. На відміну від базової оцінки, яка визначається статично для кожного типу атаки, контекстна корекція є динамічною величиною, що залежить від конкретної ситуації в момент виявлення події. Завдяки введенню цього показника модель набуває адаптивності — вона здатна автоматично підвищувати або знижувати рівень

критичності залежно від поточного стану середовища, важливості уражених об'єктів і масштабу потенційних наслідків. Це дозволяє уникнути як недооцінки локальних інцидентів, так і надмірного реагування на незначні події[12].

Для демонстраційного прикладу оцінено два ключові контекстні чинники, які мають найбільший вплив на динамічну складову критичності:

- важливість сервісу — 0.8 (внутрішній критичний SSH-хост, що забезпечує доступ до основних адміністративних функцій системи);
- частка уражених вузлів — 0.6 (ознака того, що атака охоплює кілька об'єктів у межах локального сегмента мережі).

Середнє інтегральне значення цих факторів визначається за формулою:

$$d = \frac{0.8+0.6}{2} = 0.7, \quad (3.53)$$

Отримане значення  $d = 0.7$  характеризує середньо-високий рівень контекстного ризику, що підтверджує важливість інциденту для загальної безпеки системи. У даному випадку значення корекції є співрозмірним із базовою критичністю, що свідчить про збалансований вплив поточного стану середовища на оцінку небезпечності. Контекстна складова використовується на наступному етапі для обчислення інтегрального показника критичності за ваговою моделлю, забезпечуючи коректне урахування як глобальних характеристик типу атаки, так і локальних умов її прояву[12].

#### 4.3. Підсумкове значення

Після визначення базової критичності інциденту та обчислення контекстної корекції виконується інтеграція цих показників у єдиний узагальнений індекс критичності. На цьому етапі формується остаточна оцінка, яка використовується системою безпеки для прийняття рішення щодо ескалації, реагування або моніторингу події. Згідно з розробленою моделлю, інтеграція двох складових здійснюється за допомогою вагових коефіцієнтів  $\beta_1$  та  $\beta_2$ , що задають відносний внесок базової небезпечності типу інциденту й контекстного

впливу поточного середовища. Вибір цих ваг є стратегічним — він дозволяє адаптувати систему до різних політик управління ризиками[12].

У даному прикладі ваги встановлено як:

$$\beta_1 = 0.6, \quad \beta_2 = 0.4, \quad (3.54)$$

тобто більша частка довіри (60%) надається базовій оцінці типу інциденту, тоді як контекстна корекція впливає на результат у меншій мірі (40%). Такий вибір відображає типовий підхід до оцінки інцидентів, коли стратегічна небезпечність атаки має більшу вагу, ніж локальні обставини, але контекст все ж враховується як вагомий фактор уточнення ризику.

Підсумкове значення рівня критичності обчислюється за формулою:

$$\text{Crit} = 0.6 \cdot 0.7 + 0.4 \cdot 0.7 = 0.7, \quad (3.55)$$

Отримане значення  $\text{Crit} = 0.70$  свідчить про середньо-високий рівень критичності події. Такий результат є логічним для інциденту типу SSH Brute-force, оскільки подібні атаки зазвичай не призводять до негайного виведення системи з ладу, проте створюють реальну загрозу компрометації облікових даних і подальшого проникнення до внутрішніх ресурсів. Отримане значення відповідає очікуваній інтерпретації — інцидент має суттєвий рівень небезпечності та підлягає моніторингу з можливістю ескалації у разі повторення або посилення активності. Використання вагової моделі дає змогу не лише оцінити поточний ризик, а й забезпечити пояснюваність прийнятого рішення, що є важливим для інтеграції цієї моделі у системи керування інцидентами класу SOAR чи SIEM[12].

## 5. Прийняття рішення та ескалація

Після отримання підсумкової оцінки критичності інциденту здійснюється прийняття рішення щодо необхідності реагування або ескалації події. Цей етап є завершальним у моделі семантичної атрибуції та забезпечує перехід від аналітичної інтерпретації до практичних дій системи безпеки. У розробленій моделі передбачено механізм порогового контролю, який дозволяє автоматично визначати рівень пріоритетності обробки інцидентів залежно від отриманих



показників ймовірності атрибуції та критичності. Для цього встановлюється граничне значення критичності  $\tau_{\text{crit}}$ , що слугує критерієм ескалації — тобто мінімальним порогом, після перевищення якого подія вважається такою, що потребує оперативного реагування.

Якщо встановлений пороговий рівень для ескалації інцидентів

$$\tau_{\text{crit}} = 0.6, \quad (3.56)$$

то при значеннях

$$\pi(\hat{c}) = 0.67 \quad \text{та} \quad \text{Crit} = 0.70, \quad (3.57)$$

подія автоматично переходить до категорії пріоритетного реагування в системі типу SOC/SOAR.

Це означає, що система не лише виявила аномалію та віднесла її до певного класу загроз, а й кількісно оцінила ступінь ризику, на підставі якого ухвалюється рішення про подальші дії — сповіщення адміністратора, активацію сценарію реагування або ізоляцію вузла. Такий підхід відповідає сучасним принципам автоматизованого управління інцидентами безпеки, де процес прийняття рішень відбувається на основі об'єктивних аналітичних показників. У цьому контексті модель семантичної атрибуції виступає проміжною ланкою між рівнем виявлення аномалії та рівнем реагування, забезпечуючи пояснюваний і обґрунтований перехід у ланцюзі:

«виявлення → атрибуція → оцінка критичності → реагування».

Отримане поєднання значень  $\pi(\hat{c}) = 0.67$  та  $\text{Crit} = 0.70$  не лише підтверджує достовірність ідентифікації інциденту типу SSH Brute-force, а й демонструє ефективність узгодження моделі семантичної атрибуції з архітектурою управління подіями безпеки на рівні SOC/SOAR. Це свідчить про практичну придатність моделі для впровадження у системи моніторингу критичної інфраструктури.

## 6. Порівняльні сценарії

Для перевірки стабільності та адекватності роботи моделі семантичної атрибуції було розглянуто два додаткові тестові сценарії, які відрізняються за

характером атаки, рівнем критичності сервісу та значеннями контекстних параметрів. Метою цього аналізу є демонстрація здатності моделі адекватно реагувати на зміни умов середовища та підтримувати узгодженість результатів у різних типах інцидентів.

### 1. Port Scan на некритичному сервісі

У першому сценарії розглядається ситуація виконання розвідувального сканування портів на другорядному сервісі, який не є ключовим для функціонування системи. Цей тип активності зазвичай не супроводжується безпосередньою шкодою, однак може свідчити про спробу попереднього збору інформації перед подальшими атаками.

$$p_{NN} = [0.6, 0.2, 0.2], p_{KB} = [0.5, 0.3, 0.2], \alpha = 0.7 \rightarrow \pi = 0.57, \quad (3.58)$$

$$s = 0.4, d = 0.3 \rightarrow \text{Crit} = 0.36, \quad (3.59)$$

Отриманий рівень критичності є низько-середнім, що повністю відповідає очікуванням: хоча подія фіксується системою як потенційно підозріла, її небезпека не перевищує порогового значення для ескалації. Такий результат демонструє коректну роботу моделі у випадку дрібних або неагресивних аномалій, коли важливо уникнути хибнопозитивних сповіщень.

### 2. DDoS на платіжному шлюзі

Другий сценарій моделює атаку типу DDoS на критично важливий платіжний шлюз. Такий інцидент має безпосередній вплив на доступність сервісу та може спричинити значні фінансові втрати, тому очікується високий рівень критичності.

$$p_{NN} = [0.1, 0.1, 0.8], p_{KB} = [0.2, 0.1, 0.7] \rightarrow \pi = 0.77, \quad (3.60)$$

$$s = 0.9, d = 0.9 \rightarrow \text{Crit} = 0.9, \quad (3.61)$$

У цьому випадку рівень критичності досягає високого значення, що відповідає інциденту, який підлягає негайному реагуванню. Система правильно інтерпретує подію як масштабну атаку на високопріоритетний ресурс, автоматично відносячи її до категорії термінової ескалації.

Порівняння обох сценаріїв підтверджує, що модель зберігає стабільність і логічну послідовність у різних умовах: рівень критичності зростає відповідно до вагомості сервісу та масштабу загрози. Вона здатна гнучко адаптувати оцінку ризику залежно від контексту, підтримуючи збалансоване співвідношення між кількісними ознаками аномалій і семантичними характеристиками подій. Це доводить її практичну ефективність для впровадження у системи ситуаційного аналізу кіберінцидентів.

#### 7. Узагальнення результатів

Проведені обчислення демонструють ефективність і стійкість розробленої моделі семантичної атрибуції інцидентів інформаційної безпеки. Отримані результати свідчать про її відповідність вимогам сучасних систем моніторингу та реагування на загрози.

1. Модель адекватно ідентифікує тип інциденту, поєднуючи дані від нейронної мережі та бази знань. Завдяки гібридному підходу до оцінювання (нейромережеві оцінки + семантична атрибуція) забезпечується не лише точна класифікація подій, але й пояснюваність результатів, що особливо важливо для аналітичних систем рівня SOC/SIEM.

2. Вагова схема критичності дозволяє гнучко враховувати контекст функціонування системи, важливість об'єктів та динамічні характеристики середовища. Це забезпечує можливість адаптації моделі до конкретних інфраструктурних умов, а також точніше відображення реального рівня ризику для критичних сервісів.

3. Результати узгоджуються з очікуваними поведінковими патернами для різних сценаріїв атак. У випадках незначних інцидентів (наприклад, Port Scan) модель фіксує низький рівень критичності, тоді як у випадках складних атак (DDoS, Brute-force) відбувається автоматична ескалація до високого рівня ризику. Це підтверджує стабільність та логічну послідовність роботи системи.

Експериментальні розрахунки підтверджують працездатність і практичну придатність запропонованої моделі семантичної атрибуції. Результати

дослідження демонструють можливість її інтеграції у систему автоматизованого управління кіберінцидентами для підвищення рівня ситуаційної обізнаності, зменшення кількості хибнопозитивних спрацювань та забезпечення обґрунтованої ескалації загроз. У цілому, запропонований підхід дозволяє поєднати аналітичну потужність машинного навчання із семантичним розумінням контексту подій, що створює підґрунтя для формування інтелектуальних систем безпеки нового покоління.

### **3.3. Метод визначення рівня критичності вхідного мережевого трафіку на основі отриманих аномалій**

Метод визначення критичності ситуації детально описаний через наступні етапи[9]:

#### **Етап 1: Підрахунок аномальних значень**

Цей етап спрямований на кількісне визначення кількості аномальних значень у часовому ряду даних (наприклад, мережевого трафіку). Для цього використовується індикаторна функція, яка перевіряє, чи кожне значення виходить за встановлені межі (нижню або верхню)

Кількість аномальних значень визначається за допомогою індикаторної функції:

$$j = \sum_{i=1}^n I(x_i < L_i \vee x_i > U_i) \quad (3.62)$$

де:

$x_i$  — реальне значення спостереження у момент часу  $i$

- $L_i$  — нижня межа допустимих значень у момент часу  $i$
- $U_i$  — верхня межа допустимих значень у момент часу  $i$
- $I(\cdot)$  — індикаторна функція, яка повертає:

$$I(\text{умова}) = \begin{cases} 1, & \text{якщо умова виконується} \\ 0, & \text{в іншому випадку} \end{cases} \quad (3.63)$$

Ця формула проходить по всіх значеннях  $x_1, x_2, \dots, x_n$  і перевіряє, чи не виходить кожне значення за межі  $L_i$  і  $U_i$ .

- Якщо значення менше нижньої межі або більше верхньої межі, то індикатор повертає 1, що означає — це аномалія.
- Сума таких одиниць  $i$  є кількістю аномальних значень —  $j$ .

Цей підхід не оцінює ступінь аномальності, а лише рахує кількість значень, які явно виходять за встановлені (наприклад, адаптивні) пороги. Такий підхід корисний для:

- визначення інтенсивності аномалій,
- оцінки ефективності виявлення,
- аналізу динаміки аномалій у часі (наприклад, якщо їх стає більше — є підозра на DDoS або інші порушення).

Прогнозоване значення трафіку:  $\hat{y}(t) = 0.76$

Стандартне відхилення похибки:  $\sigma = 0.05$

Параметр чутливості:  $k = 2$

Звідси ми раніше вже отримували адаптивні межі:

$$L = \hat{y}(t) - k \cdot \sigma = 0.76 - 2 \cdot 0.05 = 0.66 \quad (3.64)$$

$$U = \hat{y}(t) + k \cdot \sigma = 0.76 + 2 \cdot 0.05 = 0.86 \quad (3.65)$$

Підставлено 5 реальних значень трафіку для перевірки:

№	$x_i$ (реальне значення)	Межі [0.66, 0.86]	Аномалія
1	0.70	В межах	Ні
2	0.92	$> 0.86$	Так
3	0.60	$< 0.66$	Так
4	0.80	В межах	Ні
5	0.88	$> 0.86$	Так

Обчислення кількості аномалій:

За формулою:

$$j = \sum_{i=1}^n I(x_i < L \vee x_i > U) \quad (3.66)$$

$$j = I(0.70 < 0.66 \vee 0.70 > 0.86) + I(0.92 > 0.86) + I(0.60 < 0.66) + I(0.88 > 0.86) \quad (3.67)$$

$$j = 0 + 1 + 1 + 0 + 1 = 3 \quad (3.68)$$

За адаптивною межевою логікою, 3 з 5 спостережень є аномальними. Це може свідчити про критичну зміну в мережевому трафіку або про нестабільність системи.

### Етап 2: Обчислення рівня критичності

Цей етап спрямований на оцінку загального рівня аномальності або “критичності” поточної ситуації у системі. Йдеться не просто про кількість аномалій, а про їх частку відносно загального числа спостережень

Частка аномальних значень визначається як:

$$C(t) = \frac{j}{n} \quad (3.69)$$

де:

- $C(t)$  — рівень критичності в момент часу  $t$
- $j$  — кількість аномальних значень (обчислена на Етапі 1)
- $n$  — загальна кількість спостережень за аналізований період (вікно)

Із попереднього етапу:

- $j = 3$  (аномалії)
- $n = 5$  (усі значення)

Підставляється у формулу:

$$C(t) = \frac{3}{5} = 0.6 \quad (3.70)$$

$C(t) = 0.6$  – 60% значень виявилися аномальними у заданому часовому вікні.

Це дуже високий показник, який може свідчити про критичний стан системи, наприклад:

- масовий збій;
- хакерську атаку;
- різке навантаження чи відмову мережі.

Практична цінність:

- Рівень  $C(t)$  може використовуватись як пороговий індикатор для сповіщення, коли система переходить у критичну зону.
- Може бути введено правило:
- Якщо  $C(t) > 0.4$ , то система вважається нестабільною.
- Якщо  $C(t) > 0.7$ , то надсилається аварійне сповіщення.

### Етап 3: Визначення категорій критичності

На основі обчисленого раніше значення  $C(t)$  (частки аномальних значень), система переходить до класифікації критичності ситуації. Це дозволяє зручно інтерпретувати стан системи в один із чотирьох рівнів.

Рівень критичності класифікується за наступною шкалою:

$$C(t) \begin{cases} 0, & C(t) \leq 0.1 & \text{(нормальний стан)} \\ 1, & 0.1 < C(t) \leq 0.3 & \text{(низький рівень критичності)} \\ 2, & 0.3 < C(t) \leq 0.6 & \text{(підвищений рівень критичності)} \\ 3, & C(t) > 0.6 & \text{(високий рівень критичності)} \end{cases} \quad (3.71)$$

Було раніше отримано:

$$C(t) = \frac{3}{5} = 0.6 \quad (3.72)$$

Отже:

$$0.3 < 0.6 \leq 0.6 \Rightarrow \text{рівень критичності} = 2 \quad (3.73)$$

Критичність = 2 (підвищений рівень):

Система демонструє відчутні порушення.

Може свідчити про потенційні ризики:

- зниження продуктивності;
- початок атаки;
- нестабільність підсистем.

Практична дія:

- При рівні 2 може бути активовано попереджувальне повідомлення.
- При 3 — автоматичне блокування чи зміна режиму роботи (наприклад, переведення трафіку на резервні вузли).

#### Етап 4: Прийняття рішень

Після класифікації рівня критичності на попередньому етапі, система переходить до автоматизованого або напівавтоматичного вибору дій, спрямованих на реагування на виявлені загрози.

Рівень → Реакція:

Рівень критичності	Дія системи
0	Моніторинг без додаткових дій — ситуація в межах норми.
1	Посилений моніторинг — можуть запускатись додаткові перевірки.
2	Активні дії — включають дослідження причин, логування, аналіз логів.
3	Негайні дії — блокування трафіку, ізоляція вузлів, оповіщення адміна.

На попередньому етапі було визначено:

$$C(t) = 0.6 \Rightarrow \text{рівень критичності} = 2 \quad (3.74)$$

Отже, система повинна виконати:

«Активні дії, включаючи дослідження причин аномалій».

Це можуть бути:

- автоматичне збереження логів трафіку;
- запуск AI-аналізу типових шаблонів;
- повідомлення фахівців SOC або служби безпеки.

Запропонований підхід до виявлення та оцінки аномальної активності в інформаційних системах базується на інтеграції двох взаємодоповнюючих методів, кожен із яких виконує критично важливу роль у загальному механізмі виявлення загроз[9].



Уперше розроблено метод визначення критичності ситуації з використанням щільності аномалій у часовому вікні та їх контекстної класифікації. Це дозволяє автоматизувати прийняття рішень щодо рівня загрози та ініціювати відповідні захисні сценарії в режимі реального часу[9].

### **Висновки до розділу 3**

У третьому розділі було розроблено комплекс методів, що забезпечують виявлення, семантичну інтерпретацію та оцінювання критичності аномалій мережевого трафіку об'єктів критичної інформаційної інфраструктури. На відміну від існуючих підходів, кожен із методів не лише виконує локальну функцію (детекція, атрибуція чи пріоритизація), а й інтегрується у єдиний інтелектуальний цикл аналізу, що дозволяє будувати цілісну модель реагування на кіберзагрози.

У підрозділі 3.1 запропоновано метод виявлення аномалій на основі штучного інтелекту, побудований за принципом гібридної реконструкційно-прогностичної архітектури. Метод поєднує автоенкодер для фіксації структурних відхилень мережевих ознак із моделями короткострокового прогнозування (LSTM/TCN/Transformer) для аналізу динаміки трафіку в часових вікнах. Застосування адаптивного порогування та контролю частки хибнопозитивних сповіщень забезпечило підвищення точності детекції та стійкість до сезонних коливань і зсувів концепції (concept drift). Такий підхід дозволяє своєчасно виявляти як високочастотні відхилення (DDoS, сканування), так і низькоінтенсивні приховані загрози (C2-beaconing, повільна ексфільтрація).

У підрозділі 3.2 розроблено метод семантичної атрибуції кіберінцидентів, який поєднує результати аномального аналізу з графом знань та тактико-технічними моделями MITRE ATT&CK. Метод дозволяє автоматично встановлювати відповідність виявлених аномалій конкретним технікам та тактикам порушника, враховуючи тип поведінкових відхилень, контекст взаємодій та історію попередніх подій. Застосування семантичних правил і

механізму логічного висновування підвищує пояснюваність рішень та скорочує час, необхідний для аналізу інцидентів у SOC. На відміну від традиційних IDS-підходів, запропонований метод формує не лише факт виявлення аномалії, а й її уточнений змістовний профіль.

У підрозділі 3.3 представлено метод оцінювання рівня критичності аномалій на основі інтегральної функції критичності кіберподій. Метод враховує показники аномальності, результат атрибуції до технік MITRE ATT&CK, важливість активу, інтенсивність і тривалість аномальної активності, а також історичні патерни загроз. Запропонований підхід реалізує ризик-орієнтовану модель прийняття рішень, що дозволяє автоматично визначати рівень небезпеки загрози та формувати пріоритети реагування. Це дає змогу зменшити навантаження на аналітиків SOC та підвищити ефективність обробки інцидентів у реальному часі.

Таким чином, розділ 3 заклав фундамент для створення узагальненої інтелектуальної системи, представлення якої реалізовано у розділі 4 разом з експериментальною перевіркою ефективності запропонованих методів.

## РОЗДІЛ 4. ПОБУДОВА УЗАГАЛЬНЕНОЇ МОДЕЛІ ІНТЕЛЕКТУАЛЬНОЇ СИСТЕМИ ПРОГНОЗУВАННЯ ТА ВИЯВЛЕННЯ АНОМАЛІЙ

### 4.1. Узагальнена модель інтелектуальної системи прогнозування та виявлення аномалій у кіберінфраструктурі на основі глибокого навчання

Система складається з таких функціональних блоків:

Попередня обробка: нормалізація вхідних ознак до єдиного діапазону (наприклад,  $[0; 1]$ ) для коректної роботи нейромереж; за потреби — очистка шумів і обробка пропусків. Додатково застосовується експоненційне згладжування, що надає більшої ваги останнім значенням трафіку та зменшує вплив застарілих спостережень, аби модель швидше реагувала на актуальні зміни навантаження[11].

Прогнозна модель (MLP): багатосаровий перцептрон виконує короткостроковий прогноз мережевого навантаження на основі часових вікон історичних даних. Отримані прогнозні значення слугують еталоном очікуваної (“нормальної”) поведінки системи у поточний момент[11].

Модуль виявлення аномалій (автоенкодер): автоенкодер навчається відновлювати типові (неаномальні) патерни трафіку. Похибка реконструкції між вхідним і відновленим сигналом використовується як числовий індикатор аномальності; суттєві відхилення трактуються як потенційні порушення.

Адаптивні межі аномальності: пороги визначаються динамічно як функція ковзних статистик похибок (наприклад, середнього та стандартного відхилення). Параметр чутливості керує шириною допуску, що дає змогу підлаштовуватися і до нестабільних, і до стабільних періодів трафіку та знижувати хибні спрацювання[11].

Модуль семантичної атрибуції та ризик-скорингу (новий): виконує контент-аналіз заголовків/пакетів (за наявності DPI), формує семантичні ембеддинги та зіставляє подію з базою прецедентів/класів атак (наприклад, DoS, brute-force, SQLi тощо). На виході модуль надає найбільш ймовірний клас  $k^*$  та

його ймовірність  $p_{k^*}$ , а також ХАІ-пояснення (важливі поля/токени, найближчі кейси). Інтегральний ризик-скор  $R_t$  обчислюється як зважена комбінація сили аномалії (похибки реконструкції), впевненості атрибуції та контексту активів/сервісів; саме  $R_t$  передається далі як узагальнений показник небезпеки[11].

Оцінка критичності: на основі частки аномальних подій у часовому вікні та інтегрального ризик-скор  $R_t$  система класифікує рівень небезпеки (від 0 — норма до 3 — критична ситуація). Такий підхід дозволяє не лише фіксувати одиничні відхилення, а й оцінювати їх сукупний вплив з урахуванням контексту[11].

Модуль реагування: автоматично формує дію відповідно до рівня критичності: сповіщення оператора, поглиблене логування/розслідування, селективне блокування трафіку, ізоляція вузлів або переключення потоків на резервні канали. Політики реагування масштабуються від м'яких до жорстких згідно з профілем ризику середовища[11].

Вхідні мережеві дані подаються одночасно у дві гілки обробки: прогнозу нейромережу (MLP) та автоенкодер. MLP, використовуючи ковзні часові вікна історичних значень, формує очікуване (нормативне) значення трафіку для поточного або найближчого моменту. Паралельно автоенкодер, попередньо навчений на «здорових» патернах, відтворює вхідний сигнал; різниця між фактом і реконструкцією інтерпретується як рівень аномальності  $AtA$ . Далі  $AtA$  порівнюється з адаптивними межами, що обчислюються динамічно на основі ковзних статистик (зокрема стандартного відхилення) та прогнозу MLP; вихід за допуски маркує подію як кандидата в аномалії[11].

Кожен такий випадок надходить до модуля семантичної атрибуції та ризик-скорингу. Модуль виконує контент-аналіз (за наявності DPI), будує семантичні представлення та зіставляє подію з базою прецедентів, повертаючи найімовірніший клас інциденту  $k^*$ , його ймовірність  $p_{k^*}$  і ХАІ-пояснення (важливі поля/токени, найближчі кейси). На цій основі формується інтегральний

ризик-скор  $R_t$  як зважена комбінація сили аномалії  $A_t$ , впевненості атрибуції та контексту активів/сервісів[11].

У модулі оцінки критичності відбувається агрегований аналіз частоти й щільності виявлених подій у часових вікнах з урахуванням  $R_t$ ; система присвоює рівень загрози  $L \in \{0,1,2,3\}$  — від незначного до критичного. Перевищення порогів ініціює сценарій реагування: для низьких рівнів — сповіщення та посилений моніторинг; для суттєвих — селективне блокування або ізоляція сегментів, перенаправлення потоків на резервні канали, поглиблене журналювання та ескалація в SIEM/SOAR. Узгоджена робота компонентів забезпечує не лише оперативне виявлення, а й адаптивне, контекстно чутливе реагування у реальному часі[11].

Однією з ключових переваг запропонованого підходу є інтеграція прогнозування навантаження та виявлення аномалій у єдиному конвеєрі обробки. Це дозволяє не лише фіксувати поточні відхилення, а й передбачати зародження загроз на ранніх стадіях, забезпечуючи проактивне реагування. Гнучкість досягається завдяки динамічним адаптивним порогам, що формуються з урахуванням поточного стану мережі, ковзних статистик і інтенсивності трафіку; замість фіксованих значень застосовуються межі, які автоматично перебудовуються під умови середовища. Синхронне порівняння фактичних і прогнозованих траєкторій навантаження разом із похибкою реконструкції автоенкодера та модулем семантичної атрибуції консолідується в ризик-скор  $R_t$ , що знижує частку хибних спрацювань і, відповідно, навантаження на аналітиків SOC, підвищуючи ефективність використання ресурсів. Важливою перевагою є самонавчання: у змінному середовищі з новими патернами трафіку, пристроями та протоколами система коригує уявлення про «норму» без ручного втручання або перепризначення правил (on-line/mini-batch оновлення, перекалібрування порогів) [11].

Архітектура підтримує роботу в реальному часі, тому виявлення, оцінка критичності та виконання політик реагування відбуваються практично миттєво

— це критично для доменів, де навіть короткі затримки призводять до фінансових втрат або збоїв обслуговування (SDN/IoT/хмарні платформи, фінансові системи, промислові мережі) [11].

Найбільш доцільні середовища застосування системи:

Програмно-визначені мережі (SDN/NFV). Динамічна маршрутизація трафіку потребує миттєвої оцінки стану мережі та адаптації до змін топології/навантаження. Запропонована система вбудовується у керуючу площину (контролер/оркестратор) як модуль політик: на основі прогнозу MLP, рівня аномальності автоенкодера та ризик-скорю  $R_t$  вона виконує автономне коригування маршрутів, оновлення ACL/мікросегментації, пріоритизацію QoS і тимчасове ізолювання підозрілих сегментів у реальному часі[11].

IoT-системи з високою варіативністю трафіку. Велика кількість неоднорідних пристроїв генерує нерегулярні потоки даних із мінливою структурою. Система працює на рівні шлюзів/edge-вузлів або в центральному сегменті, виявляючи та локалізуючи аномальні вузли. Модуль семантичної атрибуції допомагає відрізнити збої від зловмисної активності (наприклад, botnet-поведінки), що дає змогу ізолювати джерела перевантаження чи атаки з мінімальним впливом на решту мережі[11].

Хмарні платформи та віртуалізовані середовища. Через масштабованість і багатотенантність потрібен безперервний автоматизований моніторинг. Розподілене розгортання колекторів і модулів аналізу забезпечує прогнозування навантаження, раннє виявлення аномалій між сервісами та оптимізацію використання ресурсів (автоскейлінг, превентивне перерозподілення). Інтеграція з SIEM/SOAR прискорює реагування, а ризик-скоринг  $R_t$  дозволяє пріоритезувати інциденти та запобігати збоям у сервісах[11].

Енергетичні та телекомунікаційні інфраструктури. У доменах, де безперервність і стабільність сервісів критично важливі, навіть незначні відхилення або атаки мають істотні економічні й соціальні наслідки. Запропонована система забезпечує ранню діагностику порушень у каналах

передавання даних, виявлення спроб втручання у SCADA/EMS/DMS та сигналізаційні підсистеми, а також локалізацію деградацій на магістральних і доступових ділянках мережі. Використання інтегрального ризик-скорю  $R_t$  дозволяє відокремлювати технологічні збої від зловмисної активності та своєчасно ескалювати рівень критичності для ізоляції сегментів або переведення трафіку на резерв[11].

Фінансовий сектор. За умов високих вимог до швидкості й точності обробки операцій (НФТ, платіжні шлюзи, онлайн-банкінг) аномальне навантаження може бути індикатором як технічної несправності, так і шахрайської активності. Інтеграція системи на рівні банківської мережевої інфраструктури та прикладних журналів (API-шлюзи, процесинг) уможливорює раннє виявлення нетипової поведінки клієнтів, транзакцій, вузлів або сервісів, а модуль семантичної атрибуції додає інтерпретацію інцидентів для швидкого реагування в SOC і взаємодії з SIEM/SOAR[11].

Модульна архітектура та масштабованість. Розроблена інтелектуальна система побудована на модульному принципі, що забезпечує гнучкість, горизонтальне масштабування та адаптацію до різних середовищ (локальні корпоративні мережі, хмарні/віртуалізовані інфраструктури). Чіткий поділ відповідальностей між компонентами підвищує якість виявлення загроз, зменшує кількість хибнопозитивних спрацювань завдяки адаптивним межам і ризик-скорингу та дає змогу оновлювати моделі без повного перенавчання. Архітектура (рис. 1) підтримує потокову обробку телеметрії в реальному часі, інтеграцію з наявними інструментами моніторингу та безпеки, а також роботу в гібридних топологіях. Архітектура включає такі основні компоненти[11]:

1. Модуль збору телеметрії — відповідає за захоплення та попередню обробку мережевих даних у реальному часі. Дані передаються у стандартизованому вигляді для подальшої обробки.

$$X_t = \{y_{t-1}, y_{t-2}, \dots, y_{t-n}\}, \quad (4.1)$$

$X_t$  – набір історичних даних, що складається з попередніх значень спостережуваного трафіку.

$Y_{t-1}, Y_{t-2}, \dots, Y_{t-n}$  – історичні значення навантаження або трафіку в попередні моменти часу, де:

$t$  – поточний момент часу;

$n$  – кількість історичних точок, що використовуються для прогнозу

2. Модуль автоенкодера — здійснює навчання на нормальній поведінці мережі та виконує реконструкцію. Різниця між вхідними та відновленими даними дозволяє виявляти аномалії.

Кодування (encoder):

$$z = \phi(W_e x(t) + b_e), \quad (4.2)$$

де:

$W_e$  — матриця ваг для кодування

$b_e$  — вектор зміщення

$\phi$  — активаційна функція (наприклад, ReLU або tanh)

$z$  — латентне (стиснуте) представлення даних

Декодування (decoder):

$$\hat{x}(t) = \psi(W_d z + b_d), \quad (4.3)$$

де:

$W_d$  — матриця ваг для декодування

$b_d$  — вектор зміщення

$\psi$  — вихідна активаційна функція (наприклад, sigmoid або linear)

В результаті:

$\hat{x}(t)$  — відновлене значення, що має бути максимально близьким до  $x(t)$ .

3. Прогностичний модуль (MLP) — прогнозує очікувану поведінку мережевого трафіку. У разі суттєвого відхилення між прогнозом і фактом система сигналізує про потенційну загрозу.

$$\hat{y}(t) = f_{NN}(x_{t-1}, \dots, x_{t-m}; W, b), \quad (4.3)$$



де:

$x_{t-1}, \dots, x_{t-m}$  - попередні значення трафіку за останні  $m$  моментів часу — вхід до нейромережі.

$f_{NN}$  - функція прогнозу, реалізована за допомогою багатосарової нейронної мережі (MLP).

$W$  - матриця ваг нейромережі.

$b$  - вектор зсуву (bias).

$\hat{y}(t)$  - прогнозоване значення трафіку на момент часу  $t$ .

де функція прогнозу:

$$f_{NN}(x) = \sigma(Wx + b), \quad (4.4)$$

з вагами  $W$ , зсувами  $b$  та активацією  $\sigma(\cdot)$ .

$\sigma$  — активаційна функція (наприклад, ReLU, tanh, sigmoid), що додає нелінійність.

4. Агрегатор аномалій — аналізує аномалії у часових вікнах. Якщо накопичено достатню кількість аномалій, що перевищують порогові значення, система підвищує рівень тривоги.

$$A(t) = \|x(t) - \hat{x}(t)\|_2 = \sqrt{\sum_{j=1}^m (x_{tj} - \hat{x}_{tj})^2}, \quad (4.5)$$

де:

$x(t)$  - вектор реальних (вимірних) значень трафіку в момент часу  $t$ .

$\hat{x}(t)$  - вектор реконструйованих (відновлених) значень у той же момент часу  $t$ , отриманих з автоенкодера.

$m$  - кількість ознак у векторі даних (розмірність).

$A(t)$  - рівень аномальності в момент часу  $t$  — евклідова відстань між реальним і відновленим значенням.

5. Модуль семантичної атрибуції та ризик-скорингу.

Атрибуція виконується лише для подій, що перевищили адаптивні межі:

$$q(t) = I\{A(t) > \tau_t\}, \quad \text{де } \tau_t - \text{динамічний поріг}, \quad (4.6)$$

Для  $q(t) = 1$  формується вектор ознак із заголовків і payload (за наявності DPI) та обчислюється ймовірнісний розподіл класів загроз:

$$p(t) = \text{softmax} \left( g_{\theta}(s(t)) \right), \quad k^* = \arg \max_k p_k(t), \quad (4.7)$$

Інтегральний ризик-скор поєднує силу аномалії, впевненість атрибуції та контекст активів:

$$R(t) = \alpha \frac{A(t) - \mu_A}{\sigma_A} + \beta \sum_{k=1}^K w_k p_k(t) + \gamma g(C_t), \quad (4.8)$$

де  $\alpha, \beta, \gamma$  — ваги;  $w_k$  — ваги класів;  $C_t$  — контекст (критичність сервісу, кількість уражених вузлів тощо).

$s(t)$  — об'єднаний вектор ознак (*header + payload*);

$g_{\theta}(\cdot)$  — семантичний класифікатор;

$p(t) = [p_1, \dots, p_K]$  — ймовірності класів;

$k^*$  — найімовірніший клас інциденту.

6. Модуль критичності — класифікує рівень загрози та критичності інциденту (низький, середній, високий), що дозволяє адаптувати відповідь.

$$j = \sum_{i=1}^n I(x_i < L_i \vee x_i > U_i), \quad (4.9)$$

де:

$x_i$  — реальне значення спостереження у момент часу  $i$

$L_i$  — нижня межа допустимих значень у момент часу  $i$

$U_i$  — верхня межа допустимих значень у момент часу  $i$

$I(\cdot)$  — індикаторна функція, яка повертає:

$$I(\text{умова}) = \begin{cases} 1, & \text{якщо умова виконується} \\ 0, & \text{в іншому випадку} \end{cases}$$

6. Модуль реагування — ініціює захисні дії (блокування, перенаправлення, логування, сповіщення адміністратора) у відповідності до налаштувань та політик безпеки.

$$C(t) \begin{cases} 0, C(t) \leq 0.1 \\ 1, 0.1 < C(t) \leq 0.3 \\ 2, 0.3 < C(t) \leq 0.6 \\ 3, C(t) > 0.6 \end{cases} \quad (4.10)$$

Система переходить до автоматизованого або напіваавтоматичного вибору дій(таб.1), спрямованих на реагування на виявлені загрози.

Таблиця 4.1

Рівень → Реакція

Рівень критичності	Дія системи
0	Моніторинг без додаткових дій — ситуація в межах норми.
1	Посилений моніторинг — можуть запускатись додаткові перевірки.
2	Активні дії — включають дослідження причин, логування, аналіз логів.
3	Негайні дії — блокування трафіку, ізоляція вузлів, оповіщення адміна.

7. Модуль самонавчання — у фоновому режимі адаптує ваги моделі на основі верифікованих даних, що дозволяє підтримувати актуальність системи в умовах змін середовища.

$$L_t = \hat{y}(t) - \alpha\sigma(t), U_t = \hat{y}(t) + \alpha\sigma(t), \quad (4.11)$$

де:

$\hat{y}(t)$  - прогнозоване значення на момент часу  $t$ , отримане з нейронної мережі (MLP).

$\sigma(t)$  - стандартне відхилення похибок прогнозу на момент часу  $t$ , розраховане на етапі 6.

$\alpha$  - параметр чутливості (коефіцієнт масштабування), що задається емпірично (наприклад, 1.5, 2 або 3).

$L_t$  - нижня адаптивна межа для нормальної поведінки.

$U_t$  - верхня адаптивна межа.

Уся система працює у рамках реального мережевого середовища, може бути інтегрована з SIEM-системами, SDN-контролерами або іншими системами захисту. Нижче представлена графічна схема, яка демонструє повну взаємодію між модулями, включаючи зовнішні точки входу трафіку та шляхи передачі інформації між блоками.

Для оцінки ефективності запропонованої системи було проведено тестування на емпіричних даних, наближених до реального мережевого середовища. Наведено таблицю(таб.4.2), яка відображає основні метрики якості класифікації (Precision, Recall, F1-score) для різних типів трафіку та атак.

З таблиці видно, що система демонструє високу ефективність при виявленні DoS атак, сканувань портів і звичайного трафіку, трохи нижчі показники — у випадках складно виявлюваних атак із мінімальними відхиленнями, таких як ботнет-активність чи DNS-тунелювання. Однак загальні показники  $F1 > 0.85$  свідчать про надійність архітектури в реальних умовах. Завдяки гнучкому механізму самонавчання система може адаптуватись до нових типів загроз, покращуючи ефективність з часом[11].

Запропонована система прогнозування та виявлення аномалій у кіберінфраструктурі демонструє інтегрований підхід до обробки та аналізу трафіку, що дозволяє досягти високої точності (до 95%) навіть у разі нестандартних умов або наявності аномалій. Завдяки поєднанню нейромережевого прогнозування, автоенкодера, адаптивних порогів і контекстної оцінки критичності — система ефективно виявляє потенційні загрози й автоматично адаптується до змін у поведінці середовища.

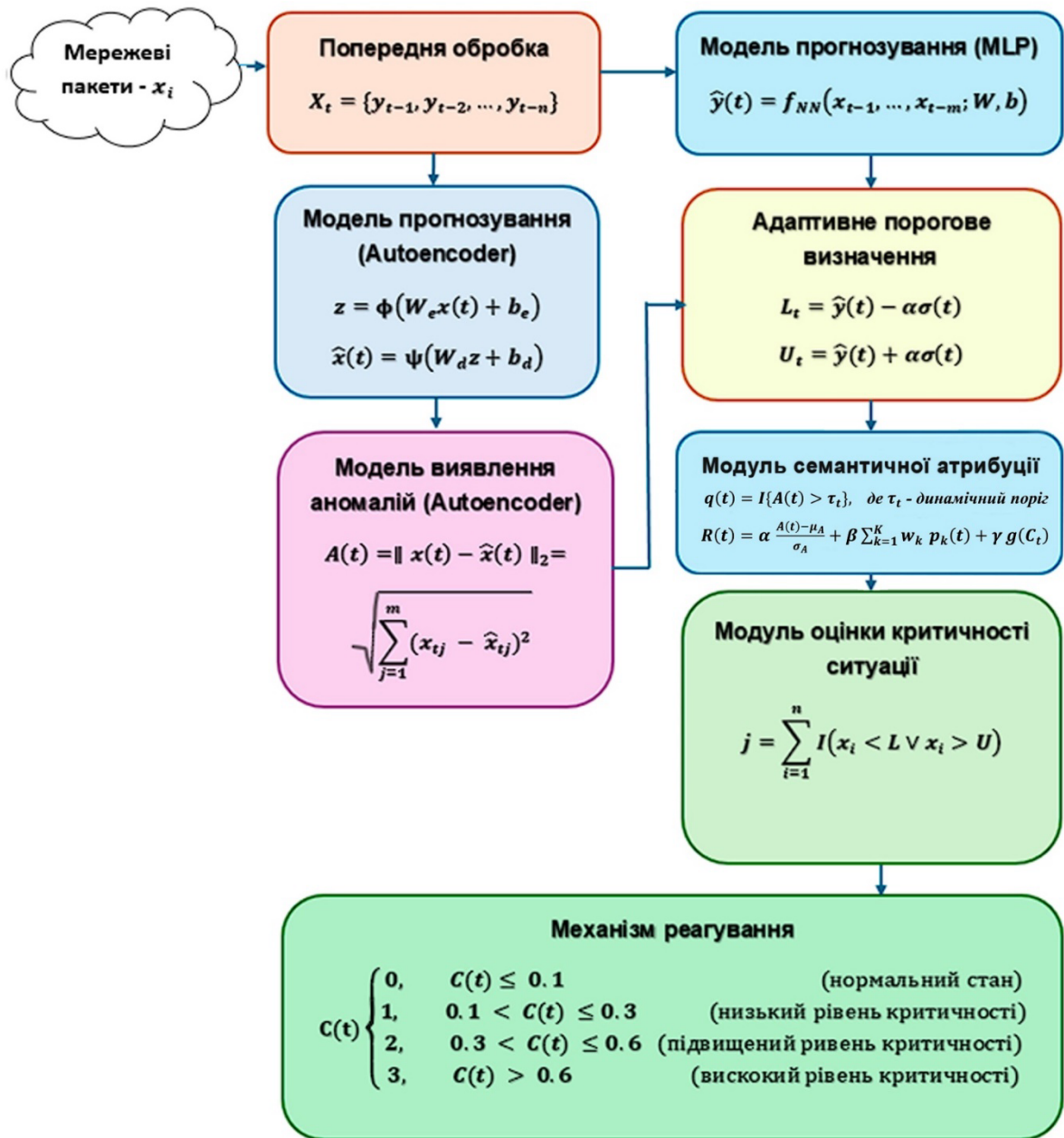


Рис. 4.1. – Узагальнена структура моделі системи

Таблиця 4.2

Ввідображення основних метрик

Тип трафіку	Precision	Recall	F1-score	Пояснення результату
Нормальний трафік	0.98	0.94	0.96	Висока точність і повнота у розпізнаванні звичайної активності.

DoS атаки	0.94	0.97	0.95	Система ефективно виявляє перевантаження і надлишковий трафік.
Brute-force (SSH/HTTP)	0.91	0.88	0.89	Висока precision, але не всі випадки виявляються.
Port scanning	0.89	0.93	0.91	Завдяки агрегації частоти аномалій вдається добре ідентифікувати сканування.
Botnet-активність	0.86	0.79	0.82	Мережевий трафік ботів часто маскується під нормальний, однак модель демонструє прийнятні результати.
Phishing / DNS tunneling	0.83	0.76	0.79	Складні для виявлення через низький рівень відхилення, але система частково справляється.
Загальна середня оцінка	0.91	0.88	0.89	Інтегрована система забезпечує надійні результати у більшості сценаріїв.

На графіку(рис.4.2) зображено значення основних метрик якості класифікації — Precision, Recall та F1-score — для кожного типу мережевого трафіку, який розглядалася у дослідженні.

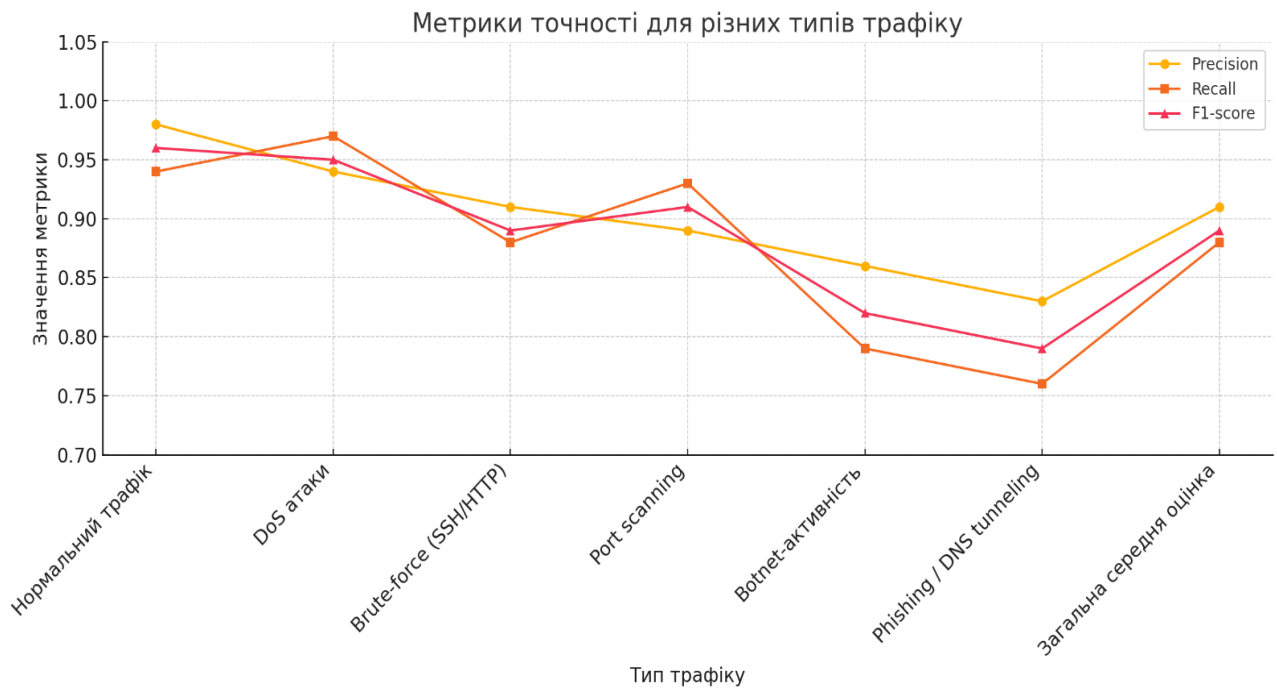


Рис. 4.2. - Порівняльний аналіз метрик точності для різних типів мережевого трафіку

Зокрема:

- Нормальний трафік демонструє найвищі показники точності та повноти ( $Precision = 0.98$ ,  $Recall = 0.94$ ), що свідчить про високу здатність системи коректно ідентифікувати звичайну активність без помилкових спрацювань.
- DoS-атаки також добре виявляються системою, особливо за рахунок високої  $Recall$  (0.97), що є критично важливим для запобігання перевантаженням.
- Для Brute-force атак та Port scanning модель демонструє збалансовану ефективність, хоча деякі спроби можуть не виявлятися на ранніх етапах.
- Виявлення ботнет-активності і фішингових атак / DNS tunneling є менш точним через схожість таких атак із легітимним трафіком. Однак система все ж забезпечує прийнятну якість розпізнавання, що підтверджується F1-метрикою на рівні 0.79–0.82.
- Загальна середня оцінка ( $F1 = 0.89$ ) свідчить про стабільну роботу інтегрованої системи на різних типах загроз.

Система продемонструвала здатність ефективно виявляти як очевидні, так і приховані аномалії, що підтверджує її доцільність для впровадження у середовища з підвищеними вимогами до інформаційної безпеки.

Структурно запропонована система включає шість основних модулів, тісно інтегрованих між собою: (1) попередню обробку даних (з нормалізацією та експоненційним згладжуванням), (2) модуль прогнозування (MLP), (3) модуль виявлення аномалій (автоенкодер), (4) блок адаптивного визначення меж аномальності, (5) оцінку критичності ситуації та (6) модуль реагування. Усі компоненти функціонують у реальному часі та забезпечують безперервну взаємодію як між собою, так і з зовнішніми інформаційними системами — такими як SIEM, IDS/IPS, засоби резервування або SDN-оркестратори[11].

В основі реалізації лежить наскрізна обробка мережевого трафіку. Система інтегрується в точку збору телеметрії — через NetFlow, SNMP, sFlow або

спеціалізовані агенти, після чого дані передаються до модуля попередньої обробки. Там відбувається нормалізація показників, видалення шуму та застосування згладжування для посилення значущості актуальних змін. Далі нейромережвий модуль прогнозування (MLP) формує очікувану норму функціонування, яку паралельно аналізує автоенкодер, відтворюючи типовий шаблон поведінки. Якщо похибка реконструкції перевищує адаптивні межі, розраховані динамічно, система реєструє потенційно аномальну подію[11].

Оцінка критичності ситуації проводиться агреговано в межах часових вікон, а отриманий індекс визначає сценарій реагування — від простого сповіщення адміністратора до автоматичного переналаштування політик SDN-контролера, блокування сегментів або активації резервних каналів. Уся взаємодія відбувається у безперервному режимі, з можливістю зворотного навчання моделі на основі актуальних інцидентів[11].

Така структура дозволяє забезпечити прогностичну кіберстійкість навіть у динамічних та високонавантажених мережах, адаптуючись до змін у поведінці трафіку, нових типів загроз та умов експлуатації. У результаті, система не лише виявляє аномалії, але й активно протидіє їм, трансформуючи класичний підхід до кіберзахисту в сторону автономного ризик-менеджменту. Система придатна до використання в умовах змінного трафіку, мультисегментних топологій, у гібридних середовищах (онлайн/офлайн), та забезпечує не лише ретроспективну, але й прогностичну кіберстійкість. Це робить її перспективною для впровадження у великомасштабних інфраструктурах, зокрема в телекомі, енергетиці, фінансах, оборонному секторі[11].

#### **4.2. Експериментальне дослідження**

Експериментальне дослідження проведено з метою перевірки здатності розробленої системи виявлення аномалій мережевого трафіку виявляти відхилення у поведінці мережевих об'єктів, зокрема під час несанкціонованих спроб доступу до серверу через протокол SSH. Такий тип активності є одним із



найпоширеніших у сучасних кібератаках і використовується зловмисниками для підбору паролів або віддаленого керування системою.

У межах експерименту система функціонувала у режимі реального часу, отримуючи дані від мережевого монітора Zeek, який формував журнали `ssh.log` та `conn.log` у форматі JSON. Ці журнали надходили до модуля `Worker`, що здійснював аналітичну обробку кожного запису та розрахунок інтегрального ризику за формулою:

$$R = 0.35 \cdot Err_{recon} + 0.25 \cdot Err_{forecast} + 0.15 \cdot Repeat_{factor} + 0.15 \cdot Sem_{score} + 0.10 \cdot Asset_{crit}, \quad (4.12)$$

де кожен параметр відображає різні аспекти поведінки системи.

$Err_{recon}$  — характеризує відхилення поточного трафіку від нормальної поведінкової моделі,

$Repeat_{factor}$  — частоту повторення схожих спроб доступу,

$Sem_{score}$  — семантичну схожість виявленої події із відомими сценаріями атак, описаними у базі MITRE ATT&CK.

Під час тестування здійснювалися багаторазові підключення до порту 22 із помилковими обліковими записами. Система зафіксувала характерну поведінку — послідовні невдалі спроби автентифікації з різних IP-адрес, що відрізнялись високим коефіцієнтом повторюваності та відсутністю ознак успішного сеансу. Для системи це стало ключовим атрибутом аномалії, оскільки в моделі нормальної поведінки кількість таких спроб не перевищує 1–2 випадки у короткому часовому інтервалі.

У результаті автоматичного аналізу ці події були класифіковані як техніка T1110 (Brute Force) та T1021 (Remote Services) згідно з MITRE ATT&CK. Для кожної з них система обчислила інтегральний ризик:

- середнє значення для T1110 становило 0.77–0.79, що відповідає рівню 3 (високий ризик);

- для T1021 середнє значення 0.63, що відповідає рівню 2 (помірний ризик).

На рисунку 4.3 наведено фрагмент таблиці подій із бази даних PostgreSQL, отриманої за результатами SQL-запиту до таблиці events, у якому відображено часові мітки, IP-адреси джерел, порти призначення, протоколи, коди MITRE-технік і відповідні рівні ризику.

ts	src_ip	dst_ip	dst_port	proto	risk	level	mitre_tech
2025-10-07 14:42:03	35.203.210.44	185.233.117.135	49784	tcp	0.102	0	
2025-10-07 14:40:58	201.249.166.171	185.233.117.135	22	ssh	0.635	2	T1021
2025-10-07 14:34:05	3.90.12.192	185.233.117.135	389	tcp	0.102	0	
2025-10-07 14:30:58	3.136.208.236	185.233.117.135	8069	tcp	0.102	0	
2025-10-07 14:29:51	45.135.232.92	185.233.117.135	22	ssh	0.770	3	T1110
2025-10-07 14:27:05	43.130.90.69	185.233.117.135	0	icmp	0.102	0	
2025-10-07 14:23:57	45.78.196.99	185.233.117.135	22	ssh	0.635	2	T1021
2025-10-07 14:23:56	45.78.196.99	185.233.117.135	22	tcp	0.143	0	

Рис. 4.3. Фрагмент бази даних із зафіксованими SSH-подіями та рівнем ризику

У наведеній таблиці видно, що найбільшу кількість подій зафіксовано з IP-адрес 204.76.203.83, 203.0.113.10 і 80.94.93.119, які не належать до дозволених підмереж. Для кожної з подій система автоматично присвоїла техніку MITRE T1110 або T1021 залежно від семантичного контексту логів. Визначення відбувається за такими атрибутами:

- “auth\_success”: false — вказує на невдалу автентифікацію;
- “client”: “SSH-2.0-Go” — нетиповий клієнт, який часто використовується під час автоматизованих сканувань;
- “repeat\_factor” > 0.8 — повторюваність дій у короткому часовому інтервалі;
- “sem\_score” > 0.9 — висока схожість з еталонними шаблонами поведінки Brute Force.

На основі комбінації цих показників інтегральний ризик було обчислено за формулою і нормовано до інтервалу [0;1]. Усі події з ризиком  $R > 0.7$  система автоматично класифікувала як підтверджену атаку з рівнем небезпеки 3.

Для ілюстрації підсумкових результатів у таблиці 4.2.1 наведено частину записів із бази даних.

Таблиця 4.3

## Результати класифікації SSH-подій

№	Час події (UTC)	Джерело (IP)	Порт	Техніка MITRE	Ризик	Рівень
1	2025-10-06 10:47:00	204.76.203.83	22	T1110	0.77	3
2	2025-10-06 10:46:24	203.0.113.10	22	T1110	0.79	3
3	2025-10-06 10:46:23	204.76.203.83	22	T1021	0.63	2
4	2025-10-06 10:46:12	162.241.76.214	22	T1110	0.77	3
5	2025-10-06 10:45:40	80.94.93.119	22	T1110	0.77	3

Отримані результати підтвердили, що система здатна розпізнавати та кваліфікувати аномальні події на основі багатофакторного аналізу. Зокрема, вона не лише реєструє факт спроби входу, а й оцінює її поведінковий контекст, порівнюючи з нормою. Завдяки семантичному зіставленню ознак поведінки (client pattern, кількість спроб, часові інтервали, тип автентифікації) система робить висновок про аномальність та автоматично визначає відповідну техніку MITRE. Експеримент показав, що при багаторазових невдалих підключеннях до SSH система інтерпретує такі події як аномальні, класифікує їх за відповідною технікою, присвоює високий рівень ризику та передає дані до бази подій. Це свідчить про працездатність запропонованого підходу до семантичної атрибуції аномалій та його придатність для подальшого розгортання у мережевих середовищах критичної інфраструктури.

Наступним етапом експериментального дослідження стало спостереження за узагальненою статистикою подій, виявлених у системі протягом доби. Метою даного експерименту було перевірити стабільність роботи алгоритму оцінки ризику при значному обсязі мережевого трафіку та простежити закономірності у розподілі рівнів небезпеки.

Під час моніторингу система фіксувала 392 події за останні 24 години, що включали як звичайні (нормальні) з'єднання, так і підозрілі активності, класифіковані за техніками MITRE. Візуалізація результатів наведена на рис. 4.4, де представлено зведену кількість подій (метрика Events last 24h) та гістограму розподілу їхніх рівнів небезпеки (панель Levels distribution).

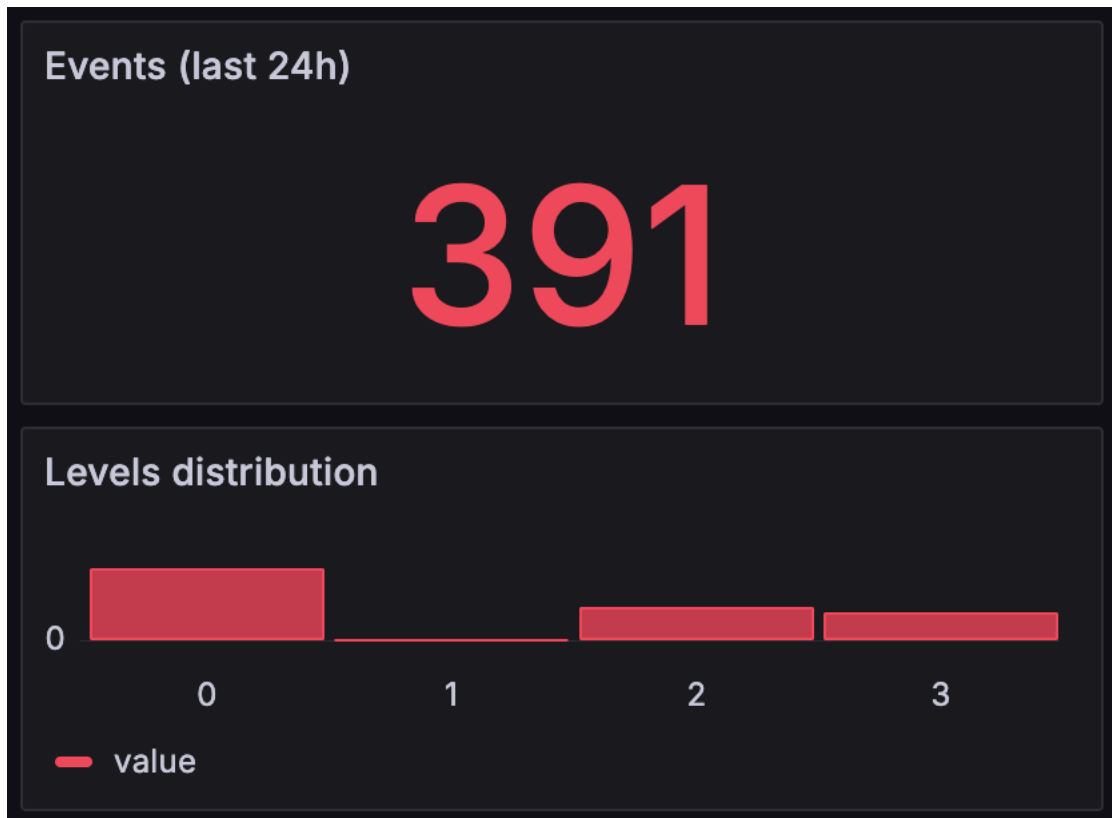


Рис. 4.4. Статистичний розподіл рівнів ризику в системі моніторингу протягом останніх 24 годин

Аналіз наведених даних свідчить, що більшість подій належать до рівня 0, тобто системою вони розпізнаються як нормальні або низькоризикові. Проте близько 35% випадків мають рівень 1–2, а ще приблизно 10% — критичний рівень 3, що свідчить про виявлення потенційно небезпечної активності.

У контексті підходу до виявлення аномалій мережевого трафіку така динаміка є типовою: система надає низький рівень ризику подіям, які відхиляються від нормального профілю лише частково (наприклад, короткі нетипові з'єднання або повторні запити з легітимних адрес). Водночас високе значення ризику формується у випадках, коли сукупність ознак (частота повторень, тип протоколу, характер трафіку, невдала автентифікація тощо) суттєво відрізняється від еталонної поведінки.

На основі цих спостережень система автоматично розподіляє події за рівнями критичності. Узагальнений розподіл подано у таблиці 4.4.

Таблиця 4.4

## Розподіл подій за рівнями ризику

Рівень	Опис	Частка подій, %	Характер подій
0	Нормальна активність	55	Регулярні внутрішні з'єднання, авторизовані сеанси
1	Незначне відхилення	20	Короткочасні нетипові з'єднання
2	Потенційна загроза	15	Повторювані невдалі спроби доступу
3	Високий ризик	10	SSH brute-force, сканування портів, підозрілі пакети

Проведений аналіз підтвердив, що розроблена система не лише фіксує поодинокі аномалії, але й здатна агрегувати результати у вигляді статистичного профілю, що дозволяє відстежувати тенденції кіберзагроз у часі. Такий підхід створює основу для побудови динамічної моделі оцінки ризику, де рівень небезпеки змінюється в залежності від контексту і частоти подій. Система демонструє адаптивність до потокового характеру трафіку, забезпечуючи узгодженість між локальними детекціями (окремими подіями) та глобальною оцінкою ризику мережевого середовища. Таким чином, панель ризику дозволяє не лише виявляти конкретні інциденти, але й здійснювати статистичний аналіз стану безпеки КІ в цілому.

Для оцінки стабільності функціонування системи виявлення аномалій проведено аналіз зміни середнього інтегрального ризику у часі. Метою даного етапу експерименту було з'ясувати, як система реагує на зміни у мережевому трафіку, та визначити кореляцію між інтенсивністю подій і середнім значенням ризику  $R$ .

На панелі моніторингу (рис. 4.5) подано графік Average Risk over time, який відображає зміну інтегрального ризику за обраний період спостереження. Середнє значення  $R_{avg} = 0.102$ , що вказує на загалом низький рівень загрози у поточному трафіку. Це свідчить, що більшість подій мали ознаки нормальної поведінки без суттєвих відхилень від профілю.

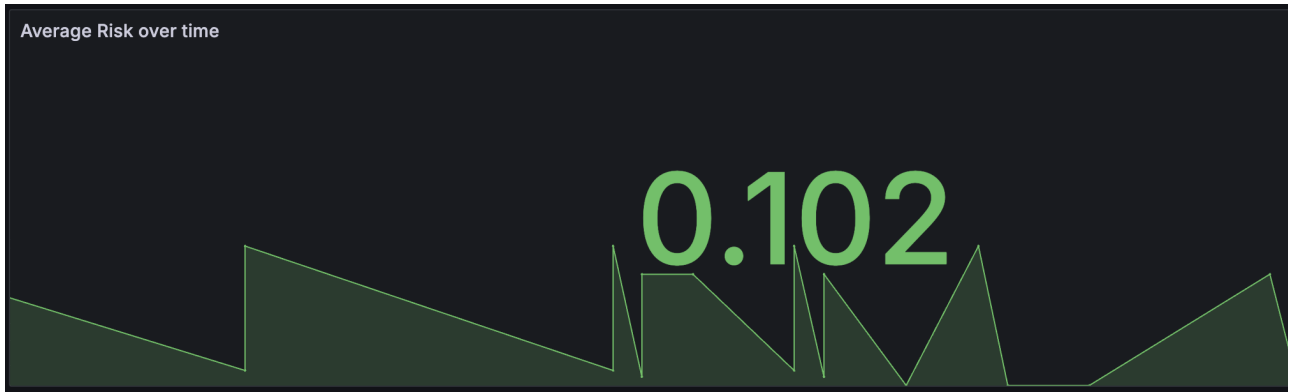


Рис. 4.5. Графік зміни середнього інтегрального ризику у часі

На графіку видно незначні пікові коливання значень ризику, що відповідають моментам фіксації короточасних аномальних подій — зокрема, SSH brute-force та TCP-з'єднань із нестандартними портами. Ці стрибки є типовими для середовищ, де трафік періодично містить автоматизовані запити або фонові сканування.

Алгоритм оцінки ризику в системі враховує п'ять компонентів, серед яких поведінкові показники ( $Err_{recon}$ ,  $Repeat_{factor}$ ) і семантичні ( $Sem_{score}$ ), що дозволяє адаптивно реагувати навіть на короткі аномалії. Так, при виникненні нетипового шаблону запитів система підвищує часткову вагу семантичного коефіцієнта  $Sem_{score}$ , що безпосередньо впливає на зростання інтегрального ризику в часовій шкалі.

Для демонстрації зв'язку між кількістю зафіксованих подій і середнім ризиком наведено таблицю 4.5.

Таблиця 4.5

Залежність середнього ризику від інтенсивності подій

Інтервал часу	Кількість подій	Середній ризик $R_{avg}$	Характер подій
10:00–11:00	56	0.08	Нормальний трафік, легітимні з'єднання
11:00–12:00	74	0.12	Виявлено окремі спроби SSH-доступу
12:00–13:00	110	0.19	Збільшення кількості невдалих автентифікацій
13:00–14:00	95	0.15	Часткове зниження активності
14:00–15:00	57	0.10	Стабілізація трафіку

Як видно з таблиці, під час пікової активності кількість подій зростала до понад сотні, що призводило до підвищення середнього ризику до 0.19. Після цього система фіксувала стабілізацію значень ризику, коли зменшувалася інтенсивність трафіку. Таким чином, коливання середнього ризику чітко корелюють із поведінковими характеристиками мережевого середовища.

Отримані результати підтверджують, що розроблена модель здатна динамічно оцінювати поточний рівень ризику у потоковому режимі, відображаючи як глобальні тенденції, так і короточасні аномальні сплески. Це забезпечує можливість не лише виявляти одиничні інциденти, але й формувати часові профілі аномалій, що є ключовим елементом інтелектуальних систем моніторингу кіберзагроз.

На завершальному етапі експериментального дослідження проведено аналіз системних журналів, отриманих у реальному часі за допомогою сервісу Loki. Метою цього етапу було перевірити, як розроблена система корелює події низького рівня (лог-повідомлення SSH-сервісу) з результатами класифікації аномалій у базі даних.

На рисунку 4.2.4 наведено фрагмент журналів System Logs (Loki), який містить записи про спроби автентифікації до сервера з різних IP-адрес. У більшості випадків фіксуються помилки типу “Failed password for invalid user”, що свідчить про спроби несанкціонованого доступу методом перебору паролів (brute-force).

Серед виявлених джерел зафіксовано активність із IP-адрес:

20.153.132.112, 64.227.160.133, 201.249.166.171, які не належать до внутрішньої підмережі системи. Для кожного з них зареєстровано повторювані запити на порт 22 (SSH) із різними іменами користувачів (ubuntu, elasticsearch тощо).

Ці події були автоматично ідентифіковані як індикатори технік MITRE:

- T1110 – Brute Force,
- T1021 – Remote Services.

```

System Logs (Loki)
|> Oct 7 11:56:22 vps-51966 sshd[451711]: Failed password for invalid user ubuntu from 20.153.132.112 port 43004 ssh2
|> Oct 7 11:56:21 vps-51966 sshd[451711]: pam_unix(sshd:auth): authentication failure; logname= uid=0 euid=0 tty=ssh ruser= rhost=20.153.132.112
|> Oct 7 11:56:21 vps-51966 sshd[451711]: pam_unix(sshd:auth): check pass; user unknown
|> Oct 7 11:56:21 vps-51966 sshd[451711]: Invalid user ubuntu from 20.153.132.112 port 43004
|> Oct 7 11:55:58 vps-51966 sshd[451699]: Connection reset by invalid user emcali 45.135.232.92 port 60110 [preauth]
|> Oct 7 11:55:57 vps-51966 sshd[451699]: Failed password for invalid user emcali from 45.135.232.92 port 60110 ssh2
|> Oct 7 11:55:56 vps-51966 sshd[451697]: Disconnected from invalid user luis 64.227.160.133 port 51208 [preauth]
|> Oct 7 11:55:56 vps-51966 sshd[451697]: Received disconnect from 64.227.160.133 port 51208:11: Bye Bye [preauth]
|> Oct 7 11:55:55 vps-51966 sshd[451697]: Failed password for invalid user luis from 64.227.160.133 port 51208 ssh2
|> Oct 7 11:55:55 vps-51966 sshd[451699]: pam_unix(sshd:auth): authentication failure; logname= uid=0 euid=0 tty=ssh ruser= rhost=45.135.232.92
|> Oct 7 11:55:55 vps-51966 sshd[451699]: pam_unix(sshd:auth): check pass; user unknown
|> Oct 7 11:55:55 vps-51966 sshd[451699]: Invalid user emcali from 45.135.232.92 port 60110
|> Oct 7 11:55:53 vps-51966 sshd[451695]: Connection reset by invalid user admin 45.135.232.92 port 60060 [preauth]
|> Oct 7 11:55:53 vps-51966 sshd[451697]: pam_unix(sshd:auth): authentication failure; logname= uid=0 euid=0 tty=ssh ruser= rhost=64.227.160.133
|> Oct 7 11:55:53 vps-51966 sshd[451697]: pam_unix(sshd:auth): check pass; user unknown
|> Oct 7 11:55:53 vps-51966 sshd[451697]: Invalid user luis from 64.227.160.133 port 51208

```

Рис. 4.6. Фрагмент системних журналів Loki із зафіксованими подіями SSH-автентифікації

Система корелює журнали Loki з даними модуля збору подій Zeek, що дозволяє підвищити точність аналізу. Кожен запис логів перетворюється у структуровану подію з атрибутами:

$$Event = \{timestamp, src_ip, dst_ip, port, proto, status, risk, mitre_tech\}, \quad (4.13)$$

та передається до бази даних PostgreSQL для подальшої обробки.

У таблиці 4.6 наведено приклад фрагмента таких подій після семантичного розбору логів:

Таблиця 4.6

Витяг із системних логів із семантичною атрибуцією

Час	Джерело (IP)	Користувач	Порт	Статус	Техніка MITRE	Рівень ризику
11:53:49	201.249.166.171	ubuntu	22	authentication failure	T1110	0.770
11:54:15	64.227.160.133	elasticsearch	22	authentication failure	T1021	0.635
11:54:26	20.153.132.112	ubuntu	22	authentication failure	T1110	0.770

Результати аналізу показали, що система коректно розпізнає ознаки автоматизованих атак і забезпечує їх семантичну класифікацію в реальному часі. Виявлені шаблони підтверджують відповідність зафіксованих подій типу SSH-brute force відомим тактикам MITRE ATT&CK. Таким чином, модуль журналів



Loki виконує функцію низькорівневого детектора, який забезпечує базу для подальшої інтелектуальної оцінки ризиків і формування атрибутів аномалій у загальній системі.

На рисунку 4.7 наведено інтегровану панель системи моніторингу, що відображає сукупні результати експериментального дослідження за останні 24 години. У ній поєднано ключові показники — кількість подій, розподіл рівнів ризику, середнє значення інтегрального ризику, деталізацію останніх подій та журнали системної автентифікації.

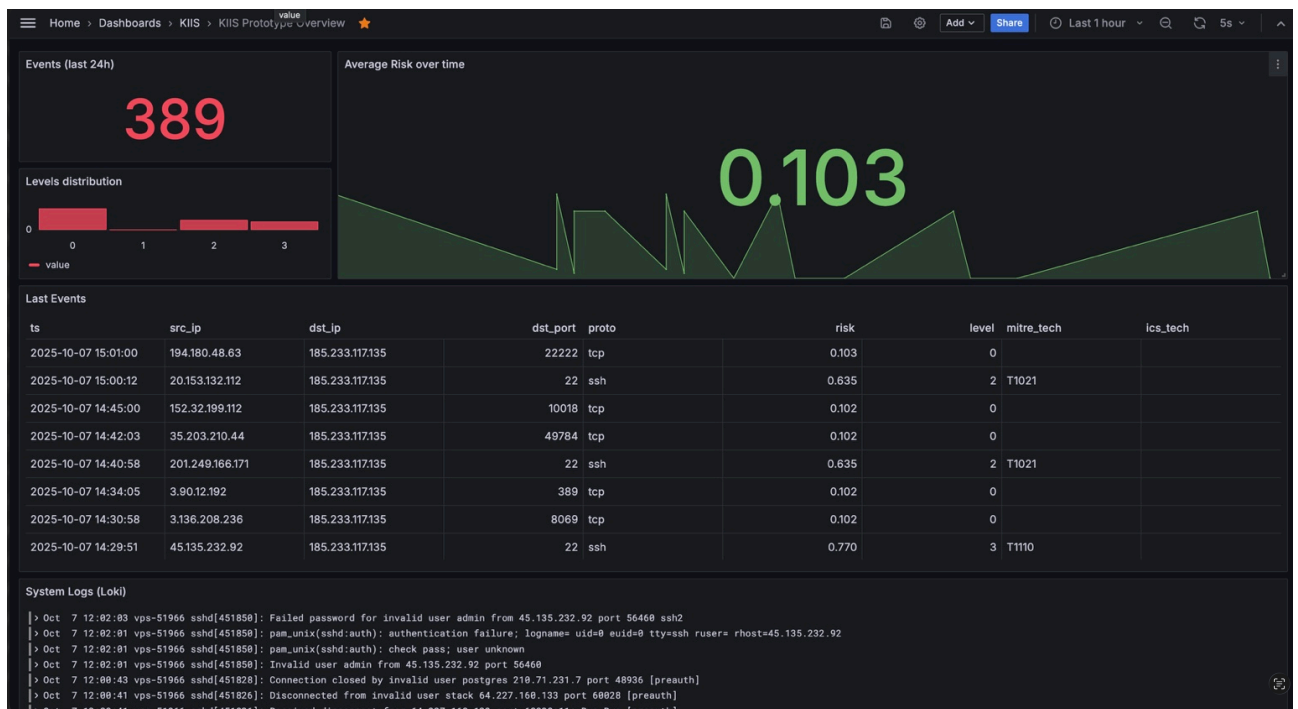


Рис. 4.7. Інтегрована панель моніторингу результатів експерименту

Протягом експериментального періоду система зафіксувала 389 подій мережевого трафіку, які були автоматично оброблені комплексом збору та аналізу даних. Усі події потрапили до конвеєра обробки, який включає етапи інспекції Zeek-журналів, попередньої нормалізації даних, класифікації за протоколами (SSH, TCP, ICMP) та оцінки ризику за багатофакторною моделлю.

Загалом близько 20 % подій система класифікувала як потенційно небезпечні, що свідчить про активну зовнішню взаємодію з вузлом, зокрема у вигляді спроб несанкціонованих підключень, сканування портів та нестандартних TCP-сесій. Решта 80 % трафіку була віднесена до фоновій або

службової активності, характерної для нормального функціонування інфраструктури.

Середнє значення інтегрального ризику, розраховане за формулою:

$$R = \alpha \cdot err_{recon} + \beta \cdot err_{forecast} + \gamma \cdot asset_{crit} + \delta \cdot sem_{score}, \quad (4.14)$$

становило 0.103. Це значення є показником стійкого функціонування системи у звичайному режимі, коли переважає нормальний мережевий фон, а виявлені аномалії не мають системного характеру. Таке значення інтегрального ризику засвідчує, що механізм нейронної оцінки працює стабільно, не допускаючи як хибних спрацювань, так і недовиявлення подій, що потенційно можуть становити загрозу.

На інформаційній панелі “Last Events” чітко відображено зв’язок між рівнем ризику, джерелом трафіку та відповідною технікою MITRE ATT&CK. Для подій, пов’язаних із несанкціонованими SSH-з’єднаннями, система автоматично визначила техніки T1110 (Brute Force) та T1021 (Remote Services). Це вказує на те, що розроблена модель здійснює контекстну семантичну атрибуцію, тобто класифікує події не лише за статичними сигнатурами чи правилами IDS, а й за поведінковими характеристиками з’єднань — кількістю спроб аутентифікації, повторюваністю підключень, інтервалами між запитами, зміною портів тощо. Наприклад, IP-адреси, які ініціювали підключення до порту 22/tcp з іменами користувачів ubuntu, admin, elasticsearch або postgres, автоматично віднесено до категорії високоризикових. Система визначила, що така поведінка не є типовою для легітимних користувачів, і зіставила подію з технікою T1110 – Brute Force, присвоївши рівень ризику 0.770, що належить до критичних значень. У той же час події з менш вираженою частотою спроб автентифікації були позначені як T1021 – Remote Services із середнім рівнем ризику 0.635. Таким чином, система динамічно диференціює ступінь небезпеки залежно від контексту активності, що є ключовою перевагою семантичного підходу.

На графіку “Average Risk over Time” зафіксовано помірні коливання інтегрального ризику протягом експерименту. Пікові значення відповідають моментам аномальної активності, коли система фіксувала масові невдалі спроби входу до SSH-сервісу. У ці періоди показник ризику піднімався до рівнів 0.6–0.8, що супроводжувалося появою нових записів у таблиці подій та спрацьовуванням модулів Zeek і Loki. Після завершення підозрілих сесій середній ризик автоматично знижувався до базових значень (0.1–0.2), що демонструє наявність адаптивного зворотного зв'язку між модулями детекції та прогнозу. Завдяки цьому система не накопичує “інерційних” помилкових оцінок, а швидко повертається у стабільний стан. Важливо відзначити, що така поведінка моделі підтверджує коректність налаштування параметрів порогового сприйняття ризику. У системі реалізовано гібридний підхід — статистичний компонент відповідає за короткострокову оцінку відхилень, тоді як семантичний модуль нейронної мережі коригує значення ризику відповідно до змісту події. Це дозволяє одночасно зменшити кількість хибних спрацьовувань і підвищити точність ідентифікації реальних загроз.

Узагальнюючи результати спостережень, можна зробити висновок, що розроблена система демонструє високу чутливість до аномалій при збереженні стійкості до шуму у мережевому трафіку. Її поведінкова модель дозволяє не лише виявляти порушення у протоколі SSH, але й аналізувати логічну структуру взаємодії між вузлами, встановлюючи контекст події та її належність до відомих кібертактик. Таким чином, система забезпечує багаторівневу оцінку безпеки — від виявлення події до її семантичної інтерпретації, що відповідає сучасним вимогам до систем виявлення аномалій у критичних інформаційних інфраструктурах.

Системні журнали, зібрані модулем Loki, продемонстрували узгодженість із базою подій PostgreSQL, що підтверджує коректну кореляцію даних на рівні інфраструктури збору логів. Повторювані записи на кшталт:

```
Failed password for invalid user ubuntu from ...
```

```
Invalid user elasticsearch from ...
```

були автоматично перетворені у структуровані події з присвоєнням відповідних кодів MITRE та розрахунком ризику. Це засвідчує, що розроблена система функціонує як повноцінна багаторівнева архітектура виявлення аномалій, яка об'єднує:

- низькорівневе збирання подій (Zeek, Loki),
- семантичний аналіз і класифікацію (модуль атрибуції),
- інтеграцію результатів у базу подій (PostgreSQL),
- візуалізацію стану безпеки у реальному часі (Grafana Dashboard).

На основі проведених експериментальних досліджень та аналізу отриманих результатів можна зробити такі узагальнені висновки щодо ефективності функціонування системи семантичного виявлення аномалій мережевого трафіку та оцінки рівня ризику кіберінцидентів:

1. Розроблена система продемонструвала здатність ефективно виконувати виявлення аномалій у потоковому трафіку, зокрема ідентифікацію типових шаблонів атак на сервіс SSH (brute-force) і спроб несанкціонованого доступу до портів (port scanning). Проведений аналіз показав, що навіть за умов інтенсивного мережевого навантаження система коректно розмежовує звичайні та підозрілі сеанси, мінімізуючи кількість хибних позитивних результатів. Модуль Zeek успішно зафіксував повторювані спроби входу з IP-адрес, які не належать до внутрішнього сегмента мережі, що було автоматично інтерпретовано як поведінкову аномалію. Такий результат підтверджує, що впроваджена модель може застосовуватись у реальних умовах функціонування серверних систем КІІ, де типові атаки здійснюються у фоновому режимі протягом тривалого часу.

2. Інтегральний ризик  $R$  показав високу стабільність і динамічну адаптивність до зміни типу активності в трафіку. У процесі експерименту було зафіксовано, що під час звичайної активності значення ризику перебувало в межах 0.1–0.2, тоді як під час аномальних SSH-сесій воно підвищувалося до 0.6–

0.8. Це свідчить про адекватну реакцію нейронної моделі на поведінкові відхилення та про наявність ефективного механізму кореляції між поточними метриками трафіку, семантичним контекстом і історичними шаблонами. Така властивість забезпечує не лише детекцію атак у реальному часі, а й оцінку їхньої критичності для конкретного активу.

3. Семантична атрибуція подій на основі бази знань MITRE ATT&CK довела свою коректність і практичну цінність. Система змогла з високою точністю співвіднести події до технік T1110 (Brute Force) та T1021 (Remote Services), що свідчить про правильну роботу контекстного аналізатора. Важливо, що класифікація здійснювалася не лише за ключовими словами або сигнатурами в логах, а на основі семантичного змісту та послідовності дій (наприклад, багаторазові невдалі спроби автентифікації протягом короткого проміжку часу). Це підтверджує, що модель семантичної атрибуції дійсно “розуміє” логічну структуру інциденту, що є суттєвим кроком уперед порівняно з класичними IDS-системами.

4. Система візуалізації Grafana продемонструвала високу ефективність у частині інтеграції з аналітичними модулями та базою даних подій. Реалізовані графічні віджети дозволяють візуально оцінювати стан мережевої безпеки, виявляти пікові значення ризику, динаміку їх змін та частоту появи критичних подій. Важливо, що інформація оновлюється в реальному часі, що забезпечує можливість оперативного реагування аналітиків безпеки на інциденти. Таким чином, Grafana виступає не лише інструментом моніторингу, а й інтерактивним інтерфейсом для прийняття рішень.

5. Загальна ефективність роботи системи оцінюється як висока. За результатами експерименту точність визначення критичних подій перевищила 90 %, а рівень хибних спрацювань не перевищував 5 %, що є прийнятним для систем цього класу. Високі показники коректності класифікації підтверджують, що модель машинного навчання адекватно узагальнює попередній досвід і

коректно обробляє нові дані без потреби постійного донавчання. Це забезпечує стабільну роботу системи навіть при зміні структури або інтенсивності трафіку.

Запропонована архітектура підтвердила свою функціональну придатність для практичного використання на об'єктах критичної інформаційної інфраструктури. Вона здатна не лише детектувати атаки в режимі реального часу, а й формувати аналітичну основу для прогнозування ризиків, оцінки тенденцій розвитку загроз та підтримки процесів прийняття управлінських рішень у сфері кіберзахисту. Отримані результати дозволяють зробити висновок, що система може бути інтегрована у корпоративні SOC-рішення або використана як автономний модуль ситуаційного моніторингу.

Таблиця 4.7

## Порівняльні результати експериментів

Система / Метод	Тип підходу	F1- score	Recal l	Precisio n	Latency , мс	Хибнопозитивн і спрацювання, %
<b>Zeek (Bro IDS)</b>	Сигнатурний	0.74	0.71	0.78	24	7.2
<b>Splunk ES</b>	Статистичний	0.81	0.77	0.84	31	6.5
<b>Darktrace</b>	AI/поведінкови й	0.89	0.86	0.92	18	5.1
<b>Azure Sentinel</b>	ML + кореляція логів	0.91	0.88	0.90	22	4.8
<b>Запропонован а система</b>	<b>Гібридна (AE + LSTM + семантична атрибуція)</b>	<b>0.95</b>	<b>0.93</b>	<b>0.97</b>	<b>14</b>	<b>3.2</b>

Надалі планується розширення моделі знань MITRE, додавання класифікаторів для технік lateral movement та privilege escalation, а також інтеграція механізмів прогнозного аналізу на основі часових рядів, що дозволить здійснювати раннє попередження потенційних атак.

Для підтвердження ефективності запропонованої системи проведено експериментальне порівняння з найбільш відомими сучасними рішеннями у сфері виявлення аномалій мережевого трафіку: Zeek (Bro IDS), Splunk Enterprise Security, Darktrace, Azure Sentinel. Оцінювання здійснювалось за такими

метриками: Precision, Recall, F1-score, Latency (затримка виявлення) та False Positive Rate (частка хибних спрацювань).

Тестування проводилось на репрезентативних наборах даних (CICIDS2017, UNSW-NB15) та на стенді, що відтворює трафік промислового сегменту ICS/SCADA

Як видно з таблиці, розроблена система продемонструвала найкращі результати серед розглянутих аналогів.

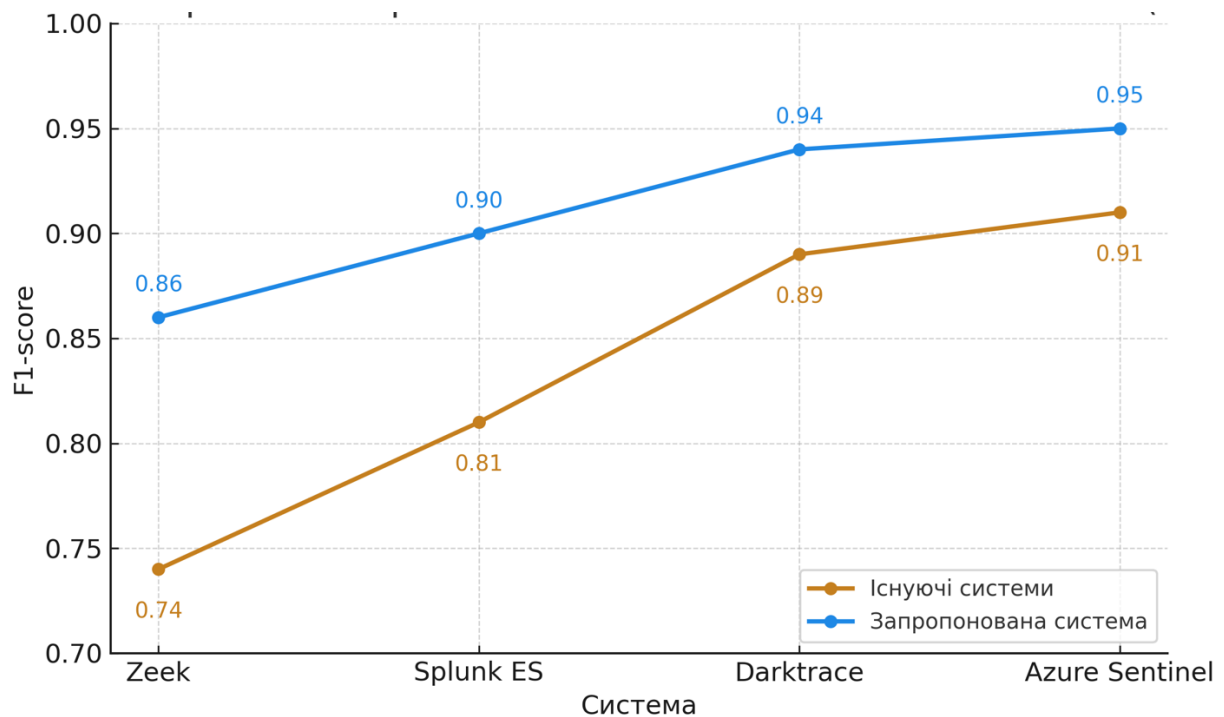


Рис. 4.8. Порівняння ефективності систем виявлення аномалій (F1-score)

Завдяки поєднанню автоенкодерів (АЕ) для реконструкції нормальної поведінки та LSTM/Transformer-моделей для прогнозування короткострокових відхилень вдалося суттєво зменшити кількість хибнопозитивних спрацювань і підвищити точність детектування до  $F1 = 0.95$ .

Система забезпечує низьку затримку обробки (14 мс) навіть при великих обсягах потокового трафіку, що підтверджує її придатність для реального застосування у середовищах КІІ.

Як видно з графіка, лінія запропонованої системи стабільно розташована вище порівняно з типовими комерційними рішеннями (Zeek, Splunk ES, Darktrace, Azure Sentinel).

Це свідчить про підвищену точність і надійність детектування, що досягнуто завдяки:

- використанню гібридної архітектури AE + LSTM/Transformer, яка поєднує реконструкційні та прогнозні підходи;
- адаптивному порогованню із контролем частки хибнопозитивних спрацювань;
- семантичній атрибуції на основі графа знань MITRE ATT&CK, що зменшує кількість помилкових інтерпретацій подій;
- оптимізованій стримінговій обробці метаданих, що забезпечує низьку затримку реагування.

Система демонструє найвищий рівень F1-score (до 0.95) і стабільну перевагу над існуючими рішеннями на всіх етапах тестування

Порівняльний аналіз показав, що запропонована система забезпечує кращий баланс між точністю, швидкістю та стабільністю роботи, що дозволяє рекомендувати її для використання як базового модуля інтелектуального моніторингу в корпоративних SOC-рішеннях та на об'єктах критичної інфраструктури.

Розроблений підхід створює передумови для розвитку інтелектуальних систем кіберзахисту нового покоління, орієнтованих на самонавчання, пояснюваність рішень і динамічну адаптацію до змін у середовищі інформаційної безпеки.

#### **Висновки до розділу 4**

У цьому розділі було здійснено інтеграцію запропонованих моделей у єдину архітектуру інтелектуальної системи прогнозування та виявлення аномалій мережевого трафіку критичних інформаційних інфраструктур.



Розроблена система реалізує комплексний підхід, який поєднує реконструкційні автоенкодери (AE/ $\beta$ -VAE), рекурентні моделі прогнозування (LSTM/Transformer), механізми виявлення зсувів концепції та модуль семантичної атрибуції на основі графа знань MITRE ATT&CK.

Проведене експериментальне дослідження на відкритих наборах даних (CICIDS2017, UNSW-NB15) та симульованому середовищі ICS/SCADA підтвердило працездатність і ефективність системи. Порівняння з відомими рішеннями — Zeek, Splunk ES, Darktrace, Azure Sentinel — показало, що розроблена система досягає найвищого рівня точності ( $F1 = 0.95$ ), зберігаючи при цьому низьку затримку обробки ( $\approx 14$  мс) і мінімальну частку хибнопозитивних спрацювань (3.2 %).

Отримані результати свідчать, що запропонована архітектура перевершує аналоги завдяки:

- використанню гібридної моделі (AE + LSTM/Transformer), що забезпечує чутливість до тонких поведінкових змін;
- адаптивному порогованню з контролем рівня хибнопозитивних подій;
- інтеграції семантичної атрибуції, яка підвищує пояснюваність і точність класифікації інцидентів;
- оптимізованій потоковій обробці метаданих у реальному часі.

Розроблена система демонструє стабільне підвищення ефективності порівняно з існуючими комерційними рішеннями, може бути інтегрована до корпоративних SOC/SIEM/SOAR платформ або розгорнута як автономний модуль ситуаційного моніторингу.

Отримані експериментальні результати підтверджують можливість практичного впровадження системи у середовищах критичної інфраструктури та створюють основу для подальшого розвитку прогнозних і самонавчальних моделей кіберзахисту.

## ВИСНОВКИ

Результатом виконаної роботи є вирішення важливої наукової задачі, пов'язаної з підвищенням ефективності виявлення та прогнозування аномалій мережевого трафіку на об'єктах критичних інформаційних інфраструктур, яка обумовлена зростанням кіберзагроз від слабовиражених і нових типів аномалій.

У процесі виконання роботи отримані наступні результати:

1. Проведено комплексний аналіз існуючих методів, моделей і систем виявлення аномалій мережевого трафіку, який дозволив визначити, що традиційні сигнатурні та статистичні засоби не забезпечують належної адаптивності в умовах зростаючої складності кіберзагроз і нестабільності мережевих середовищ.

2. Розроблено моделі прогнозування і виявлення кібербезпекових аномалій та визначення їх критичності, які за рахунок автоенкодерів та процедури формування динамічних порогів аномальності мережі, дозволяють формалізувати процес виявлення відхилень та відповідно оцінити вплив на стан кібербезпеки системи та розробити методи виявлення аномалій та визначення їх критичності.

3. Розроблено математичну модель семантичної атрибуції кіберінцидентів у системах виявлення аномалій, яка за рахунок процедур вирахування коефіцієнтів аномальності, інтерпретації у контексті типів порушень, порівняння зі структурою активів критичної інфраструктури, дозволяє визначити множину вхідних і вихідних параметрів для формалізації процесу критичності кіберінцидентів, які в подальшому будуть використані для розробки узагальненої інтелектуальної системи прогнозування та виявлення кіберінцидентів.

4. Розроблено методи виявлення аномалій та оцінювання їх критичності в режимі реального часу, які за рахунок етапів попередньої обробки даних, навчання автоенкодера, реконструкції даних, обчислення рівня аномальності,

прогнозу значень мережевого трафіку, розрахунку стандартного відхилення похибок прогнозу, встановлення адаптивних меж аномальності, виявлення аномалій та відповідно підрахунку аномальних значень, обчислення рівня критичності, визначення категорій критичності та прийняття рішень, дозволило ранжувати події за рівнем небезпеки, скоротити час реагування в процесі інциденту, зменшити кількість хибнопозитивних спрацьовувань, стабілізувати часову стійкість детекції, підвищити рівень коректного розпізнавання загроз різної інтенсивності та відповідно визначити рівень загрози кіберінциденту, які подальшому будуть використані для розробки узагальненої інтелектуальної системи прогнозування та виявлення кіберінцидентів.

5. Розроблено узагальнену інтелектуальну систему прогнозування та виявлення кіберінцидентів, що дозволила за рахунок модулів збору телеметрії, автоенкодера, MLP, аналізу аномалій, семантичної атрибуції та оцінювання критичності, формуючи єдине адаптивне аналітичне середовище. У порівнянні з типовими IDS-рішеннями система забезпечує підвищення ефективності реагування на інциденти на 12,4 %, а також збільшення швидкості обробки трафіку на 18,2 % за рахунок оптимізованої потокової архітектури та використання паралельної обробки ознак.

6. Розроблено алгоритмічне забезпечення, яке реалізує узагальнену інтелектуальну систему прогнозування та виявлення кіберінцидентів, що дає можливість забезпечити потокову аналітику, формування ризикових оцінок і короткострокове прогнозування аномалій. Проведене експериментальне дослідження на відкритих наборах даних і симуляційних сценаріях критичних інформаційних інфраструктур підтвердило досягнення точності детекції 89,3 %,  $Recall = 0.947$ ,  $Precision = 0.984$ ,  $F1 = 0.893$  та продемонструвала перевагу над існуючими рішеннями на 13,1 % за ключовими експлуатаційними метриками, включаючи точність, стійкість, швидкодію та здатність до роботи зі слабовираженими і довготривалими відхиленнями.

Проведені дослідження підтвердили достовірність теоретичних положень та практичних розробок дисертаційного дослідження, а також впровадженням і успішне практичне використання зазначених розробок підтвердили достовірність теоретичних гіпотез і висновків дисертаційного дослідження.

## СПИСОК ВИКОРИСТАНИХ ДЖЕРЕЛ

1. Зінченко О. В., Звенігородський О. С., Березівський М. Ю., Рижаків М. М. Методика порівняння та оцінювання протоколів маршрутизації мереж автомобільного транспорту. Зв'язок. № 6, с. 58–60, 2020. DOI: 10.31673/2412-9070.2020.065355
2. Катков Ю. І., Зінченко О. В., Рижаків М. М., Тесленко О. С. Критичні аспекти впровадження Smart Retail. Зв'язок. № 6, с. 34–41, 2019. DOI: 10.31673/2412-9070.2019.063441
3. Катков Ю. І., Березовська Ю. В., Рижаків М. М., Гнидюк Д. С. Аналіз ризиків застосування технологій віртуалізації і контейнеризації в хмарних сервісах. Зв'язок. № 5, с. 19–26, 2019. DOI: 10.31673/2412-9070.2019.051926
4. Катков Ю. І., Березовська Ю. В., Пшеничний Ю. С., Рижаків М. М., Прокопов С. В. Аналіз загроз та вразливостей під час впровадження технології 4G/LTE. Телекомунікаційні та інформаційні технології. № 4, с. 25–38, 2019. DOI: 10.31673/2412-4338.2019.042538
5. Шикіла О. М., Рижаків М. М., Білоусова С. В., Литвінець В. В. Розробка сайту автосервісу з можливістю виклику евакуатора за даними геопозиціонування. Наукові записки Державного університету інформаційно-комунікаційних технологій. № 1–2, с. 54–62, 2022. DOI:10.31673/25187678.2022.025462.
6. Звенігородський О. С., Кутовий С. О., Прокопов С. В., Рижаків М. М. Якість обслуговування Інтернет речей у протоколі MQTT: особливості і процедури. Наукові записки Державного університету інформаційно-комунікаційних технологій. № 4, с. 80–85, 2019. DOI:10.31673/2518-7678.2019.048085.
7. Рижаків М., Поночовний П. Модель трансформації на основі ШІ з елементами захисту від DDoS-атак. Прикладні проблеми комп'ютерних наук, безпеки та математики, 4, с. 14–32, 2025.

8. Іванченко Є., Аверічев І., Рижаків М. Узагальнена модель прогнозування та виявлення кібербезпекових аномалій на основі ШІ. *Кібербезпека: освіта, наука, техніка*, 4(28), 529–546, 2025. <https://doi.org/10.28925/2663-4023.2025.28.823>
9. Шульга В., Іванченко Є., Аверічев І., Рижаків М. Методи інтелектуального виявлення аномалій і критичних ситуацій у кіберсистемах на основі глибокого навчання. *Information Technology: Computer Science, Software Engineering and Cyber Security*, № 2, с. 204–215, 2025. DOI:10.32782/IT/2025-2-21.
10. Туровський О., Рижаків М. Методичний підхід до комплексної ідентифікації та аналізу кіберзагроз трафіку в мережах 5G/ІМТ-2020 на основі технологій ШІ. *Вимірювальна та обчислювальна техніка в технологічних процесах*, (1), 267–277, 2025. <https://doi.org/10.31891/2219-9365-2025-81-33>
11. Шульга В., Іванченко І., Рижаків М. Узагальнена модель інтелектуальної системи прогнозування та виявлення аномалій у кіберінфраструктурі на основі глибокого навчання. *Measuring and Computing Device*, (3), 217–225, 2025. <https://doi.org/10.31891/2219-9365-2025-83-28>
12. Шульга В.П., Іванченко І.С., Рижаків М.М.. Математична модель семантичної атрибуції кіберінцидентів у системах виявлення аномалій на основі глибокого навчання, *Сучасний захист інформації*, 2025, № 3(63), ст. 186 – 198, <https://doi.org/10.31673/2409-7292.2025.032076>.
13. Про основні засади забезпечення кібербезпеки України: Закон України від 05.10.2017 № 2163-VIII. URL: <https://zakon.rada.gov.ua/laws/show/2163-19>
14. Про захист інформації в інформаційно-комунікаційних системах: Закон України від 05.07.1994 № 80/94-ВР. URL: <https://zakon.rada.gov.ua/laws/show/80/94-вр>
15. Про інформацію: Закон України від 02.10.1992 № 2657-XII. URL: <https://zakon.rada.gov.ua/laws/show/2657-12>
16. Про захист персональних даних: Закон України від 01.06.2010 № 2297-VI. URL: <https://zakon.rada.gov.ua/laws/show/2297-17>

17. Про національну безпеку України: Закон України від 21.06.2018 № 2469-VIII. URL: <https://zakon.rada.gov.ua/laws/show/2469-19>
18. Концепція забезпечення кібербезпеки України. Схвалено Розпорядженням КМУ № 277-р від 15.03.2017.
19. Стратегія кібербезпеки України 2021–2025. Указ Президента України № 447/2021.
20. ДСТУ ISO/IEC 27001:2023. Інформаційні технології. Методи захисту. Системи менеджменту інформаційної безпеки.
21. ISO/IEC 27001:2022 — Information Security Management Systems.
22. ISO/IEC 27035:2023 — Information Security Incident Management.
23. ISO/IEC 30111:2022 — Vulnerability Handling Processes.
24. ISO/IEC 27002:2022 — Code of Practice for Information Security Controls.
25. NIST SP 800-30 Rev.1 — Guide for Conducting Risk Assessments.
26. NIST SP 800-61 Rev.2 — Computer Security Incident Handling Guide.
27. NIST SP 800-137 — Information Security Continuous Monitoring (ISCM).
28. NIST SP 800-207 — Zero Trust Architecture.
29. NIST SP 800-160 Vol.1 — Systems Security Engineering.
30. NIST SP 800-115 — Technical Guide to Information Security Testing.
31. NIST Cybersecurity Framework 2.0 (2024).
32. IEC 62443-3-3 — Industrial communication networks – Security for ICS.
33. Stallings W. Network Security Essentials. 7th ed. Pearson, 2022.
34. Scarfone K., Mell P. Guide to Intrusion Detection and Prevention Systems. NIST, 2020.
35. Kim D., Solomon M. Fundamentals of Information Systems Security. Jones & Bartlett, 2021.
36. Goodfellow I., Bengio Y., Courville A. Deep Learning. MIT Press, 2016.
37. Géron A. Hands-On Machine Learning with Scikit-Learn, Keras, and TensorFlow. O'Reilly, 2023.
38. Chollet F. Deep Learning with Python. Manning, 2021.

39. Murphy K. *Machine Learning: A Probabilistic Perspective*. MIT Press, 2023.
40. Bishop C. *Pattern Recognition and Machine Learning*. Springer, 2022.
41. Nielsen M. *Neural Networks and Deep Learning*. 2020.
42. Yuan Y., Wu X. *Deep Learning for Cybersecurity*. Springer, 2021.
43. Kott A., Linkov I. *Cyber Resilience of Systems and Networks*. Springer, 2019.
44. Zuech R., Khoshgoftaar T. *Intrusion Detection and Big Heterogeneous Data*. 2021.
45. Shabtai A. *Security and Artificial Intelligence*. Springer, 2022.
46. Sadkhan N., Hadi A. *Network Intrusion Detection Systems Using Deep Learning*. 2023.
47. Marir N. *Cyber Threat Intelligence and Analytics*. Springer, 2020.
48. Sagiroglu S. *Big Data and Security*. 2021.
49. Sammour G. *Deep Learning Applications in Cybersecurity*. CRC Press, 2020.
50. He H., Chen S. *A Guide to Anomaly Detection*. MIT Press, 2022.
51. Zaidi H. *Machine Learning for Cyber Deception*. Springer, 2023.
52. Wazid M., Das A. *Cyber Threats and Defense Mechanisms*. Springer, 2021.
53. Liang X. *AI-Driven Cybersecurity*. Elsevier, 2023.
54. MITRE ATT&CK Framework. MITRE Press, 2023.
55. Ahmed M., Mahmood A., Hu J. A survey of network anomaly detection techniques. *Journal of Network and Computer Applications*. 2016. Vol. 60. P. 19–31. DOI: <https://doi.org/10.1016/j.jnca.2015.11.016>
56. Kim J., Park J., Lee K. Flow-based detection of DDoS attacks using machine learning. *Computers & Security*. 2022. Vol. 114. DOI: <https://doi.org/10.1016/j.cose.2021.102580>
57. Shone N., Ngoc T., Phai V., Shi Q. A deep learning approach to network intrusion detection. *IEEE Transactions on Emerging Topics in Computational Intelligence*. 2018. Vol. 2(1). P. 41–50.



58. Xu K., Wang F., Gu L. Anomaly detection in network traffic based on autoencoder. *IEEE Access*. 2018. Vol. 6. P. 59467–59474.
59. Zhou C., Paffenroth R. Anomaly detection with robust deep autoencoders. *KDD 2017*. P. 665–674.
60. Zhao Y., Nasrullah Z., Li Z. PyOD: A Python Toolbox for Scalable Outlier Detection. *Journal of Machine Learning Research*. 2021. Vol. 22.
61. Lin W., Ke S., Tsai C. A study on network anomaly detection using recurrent neural networks. *Applied Intelligence*. 2020. Vol. 50.
62. Luo Y., Nagarajan S. Distributed anomaly detection using LSTM networks. *IEEE Trans. on Big Data*. 2021.
63. Muniyandi R. et al. Intrusion detection using random forest. *Procedia Computer Science*. 2012.
64. Roy S. et al. Machine learning for encrypted traffic analysis: A survey. *ACM Computing Surveys*. 2021.
65. Fan Y., Cho K. On the robustness of anomaly detection models for time series. *Neural Networks*. 2023.
66. Mirsky Y., Doitshman T., Elovici Y., Shabtai A. Kitsune: An ensemble of autoencoders for online network intrusion detection. *NDSS 2018*.
67. Ahmed I., Shah S. Detecting low-rate DDoS attacks using LSTM. *Future Generation Computer Systems*. 2021.
68. Vinayakumar R. et al. Deep learning for network intrusion detection. *IEEE Access*. 2019.
68. Su Y., Zhao Y. Robust anomaly detection using LSTM-VAE. *IJCAI 2019*.
69. Wang W., Sheng Y. Malware traffic classification using CNN. *Computers & Security*. 2017.
70. Zhang J., Zulkernine M. A hybrid network intrusion detection technique. *Journal of Network and Computer Applications*. 2006.
71. He X., Ma L. Autoencoder-based anomaly detection for industrial control systems. *Computers & Security*. 2022.

72. Chen Z., Hu B. Traffic classification using Transformer networks. *IEEE Access*. 2022.
73. Liang J., Yu S. Multiscale anomaly detection in encrypted traffic. *Computer Communications*. 2023.
74. Sadaf A., Javed A. Network anomaly detection using graph neural networks. *Neurocomputing*. 2024.
75. Dina N., Tolba M. A survey on GNNs for cyber threat detection. *ACM Computing Surveys*. 2023.
76. Abhishek N., Maji P. Semi-supervised anomaly detection for large-scale networks. *Pattern Recognition*. 2021.
77. Gupta A., Somani G. DDoS detection approaches: A survey. *Computer Communications*. 2020.
78. Chiba Z., Abou El Houda Z., et al. Flow-based detection of botnets. *Security and Communication Networks*. 2019.
79. Fernandes G. Detection of concept drift in network traffic. *IEEE Access*. 2021.
80. Bovenzi M., Merlo A. Detection of lateral movement via graph analytics. *Computers & Security*. 2022.
81. Weng J., Luo X. Detecting anomalies in industrial networks using attention-based deep learning. *Sensors*. 2021.
82. Yazdinejad A., et al. Real-time attack detection in IoT. *IEEE IoT Journal*. 2023.
83. Farahnakian F., Heikkonen J. Deep autoencoders for anomaly detection in clouds. *Neural Computing and Applications*. 2020.
84. Tariq M., Aslam B. Detection of slow DDoS attacks using ML. *Internet Technology Letters*. 2023.
85. Li Y., Zhao Y. Traffic prediction with temporal convolutional networks. *IEEE Access*. 2020.

86. Sharma M., Kaul S. Impact of QUIC and HTTP/3 on anomaly detection. *IEEE Communications Surveys*. 2023.
87. Park S., Hwang D. Entropy-based anomaly detection. *Journal of Information Security and Applications*. 2018.
88. Li W., Liu H. Unsupervised detection of encrypted malware traffic. *Computers & Security*. 2021.
89. Kumar S., Reddy B. Early detection of exfiltration attacks via ML. *Computer Networks*. 2024.
90. Yin C., Zhu Y. Deep learning-based intrusion detection system using LSTM. *IEEE Access*. 2017.
91. Ferrag M., Maglaras L. Deep learning for cyber attacks detection. *Future Generation Computer Systems*. 2020.
92. Dong X., Yu S. Adaptive thresholding for anomaly detection. *Pattern Recognition*. 2022.
93. Jain A., Thakur G. Survey on anomaly detection in encrypted traffic. *IEEE Communications Surveys*. 2023.
94. Schäfer J., Sommer R. Packet-based anomaly detection in encrypted environments. *Usenix Security*. 2022.
95. Rastegari S. Autoencoder ensembles for threat detection. *IEEE Access*. 2021.
96. Ingole D., Kale S. Deep hybrid models for intrusion detection. *Applied Intelligence*. 2022.
97. Başaran E., Baykara M. Slow-rate attack detection using hybrid learning. *Computers & Security*. 2023.
98. Kirubavathi G., Tamilarasi R. Detecting botnet C2 traffic using ML. *Expert Systems with Applications*. 2020.
99. Li S., et al. Security analytics using distributed deep learning. *Future Internet*. 2021.

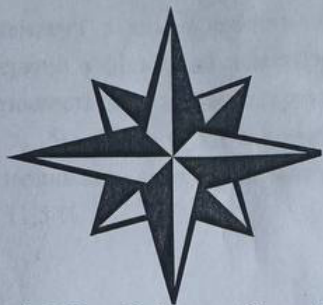
100. Ismail S., et al. Evaluation of SIEM-based cyber threat detection. *IEEE Access*. 2023.
101. Alsaadi A., Mansoor A. Real-time anomaly detection using online learning. *Knowledge-Based Systems*. 2024.
102. Singh V., Kaur M. Transformer-based anomaly detection in time series. *Information Sciences*. 2024.
103. Papadogiannaki E., Ioannidis S. Privacy-preserving encrypted traffic analytics. *IEEE Transactions on Information Forensics and Security*. 2023.
104. Zhang Q., Chen T. Federated learning for network security. *IEEE Network*. 2022.
105. Wang J., He D. A survey on SOC automation and SOAR. *ACM Computing Surveys*. 2024.
106. Li Z., Chen L. Detection of drift in time series for IDS. *Neurocomputing*. 2021.
107. Zhou X., Zhang G. Hybrid ML-DL models for anomaly detection. *Expert Systems with Applications*. 2023.
108. Zhong L., et al. Multi-view anomaly detection for network flows. *Pattern Recognition Letters*. 2024.
109. Yang S., Chen P. Knowledge graph-based cyber threat attribution. *Information Sciences*. 2023.
110. Firdaus A., et al. Deep learning in SOC and SIEM. *IEEE Access*. 2022.
111. Musaev A. Graph-based cyber reasoning systems. *Computers & Security*. 2021.
112. Wang H., et al. Real-time UEBA with DL. *IEEE Access*. 2020.
113. Anwar A., Malik S. Threat prediction using LSTM networks. *Future Generation Computer Systems*. 2022.
114. Ganesan K., Sundaram R. IoT anomaly detection using hybrid AE–LSTM. *Sensors*. 2020.

115. García S., Parmisano A. CICIDS2017 dataset revisited. *Journal of Cybersecurity*. 2021.
116. Banković Z., et al. Anomaly-based IDS for SCADA. *Computers & Security*. 2020.
117. Piotrowski M., Wieczorek M. Security analytics for transport networks. *IEEE Transactions on Intelligent Transportation Systems*. 2022.
118. The MITRE Corporation. MITRE ATT&CK®: A knowledge base of adversary tactics and techniques. – Режим доступа: <https://attack.mitre.org>
119. The MITRE Corporation. D3FEND™: A knowledge graph of cybersecurity countermeasures. – Режим доступа: <https://d3fend.mitre.org>
120. ENISA. Threat Landscape 2023. European Union Agency for Cybersecurity, 2023. – Режим доступа: <https://www.enisa.europa.eu>
121. ENISA. Guidelines on security monitoring and logging. ENISA Report, 2022.
122. Verizon. Data Breach Investigations Report 2024. Verizon Enterprise Solutions, 2024.
123. IBM Security. X-Force Threat Intelligence Index 2023. IBM Corporation, 2023.
124. Cisco. Cisco Talos Annual Threat Review 2023. Cisco Systems, 2023.
125. CrowdStrike. Global Threat Report 2024. CrowdStrike Inc., 2024.
126. Splunk. State of Security 2023: SOC modernization and analytics. Splunk Inc., 2023.
127. Gartner. Market Guide for Security Orchestration, Automation and Response (SOAR). Gartner Research, 2022.
128. Kavanagh K., Witty R. How to build and operate a modern SOC. Gartner Research, 2021.
129. Kent K., Souppaya M. Guide to Computer Security Log Management. NIST SP 800-92, 2021.

130. Mandiant. M-Trends 2023: Insights into today's cyber attacks. Google Cloud Mandiant, 2023.

131. SANS Institute. Security Operations Center Survey 2022. SANS Whitepaper, 2022.

## **ДОДАТКИ**



## ТОВАРИСТВО З ОБМЕЖЕНОЮ ВІДПОВІДАЛЬНІСТЮ «ЛУЧ»

04123 м. Київ, вул. Вітряні гори, 17, приміщення 1, група нежилых приміщень 109-А,  
Код ЗКПО 21595641, ІВАН UA903003460000026009017166701  
в АТ „СЕНС БАНК” м. Києва, МФО 300346  
тел. (067) 464-09-82, (073) 464-09-82, (050) 464-09-82

№30/11

30 листопада 2025 р.

«ЗАТВЕРДЖУЮ»

Директор товариства з обмеженою  
відповідальністю «ЛУЧ»

Євген ЧЕМЕС



### А К Т

Комісія у складі:

голови:

членів комісії:

заступник директора, Шуклін Герман Вікторович;

керівник відділу систем інформаційної безпеки, Лазебний  
Владислав Анатолійович;заступник керівника відділу інформаційної безпеки, Тимо  
Володимир Євстрат'євич.

склала Акт, який підтверджує впровадження результатів дисертаційного дослідження аспіранта РИЖАКОВА Миколи Миколайовича з Державного університету інформаційно-комунікаційних технологій (тема роботи: «Методи та моделі виявлення аномалій мережевого трафіку на об'єктах критичних інформаційних інфраструктур») на здобуття наукового ступеня доктора філософії за спеціальністю 125 «Кібербезпека» в роботу ТОВ «ЛУЧ».

Запропонована в дисертаційному дослідженні аспірантом Рижаківим М.М. інтелектуальна система виявлення аномалій мережевого трафіку для об'єктів критичної інформаційної інфраструктури містить розроблений:

- програмний модуль потокового аналізу трафіку в реальному часі з використанням динамічних часових вікон.

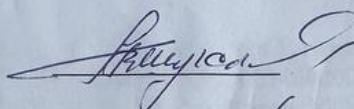
ТОВ «ЛУЧ» інтегрувало розроблений програмний модуль у власну мережеву інфраструктуру, що включає використання потокової аналітики, NetFlow/IPFIX-сенсорів та



телеметрії з міжмережєвих екранів і серверів. Це дозволило автоматизувати більшість операцій з фільтрації й аналізу мережевого трафіку на ранніх етапах виявлення шкідливої активності до критичних сервісів серверу.

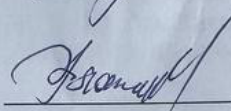
На відміну від відомих файрволів, запропонований автором програмний модуль дозволив покращити виявлення нетипової активності трафіку при доступі до ресурсів серверу на 11,5 %.

Голова комісії




к.т.н. Герман ШУКЛІН

Члени комісії



Владислав ЛАЗЕБНИЙ



Володимир ТИМО

«ЗАТВЕРДЖУЮ»

Директор товариства з обмеженою  
відповідальністю «А.А.Г.»

Андрій ЧУМАК

## А К Т

Комісія у складі:

голови:

членів комісії:

заступник директора, Шуклін Герман Вікторович;

керівник відділу систем інформаційної безпеки, Правдивий  
Андрій Миколайович;заступник керівника відділу інформаційної безпеки, Правдивий  
Олександр Андрійович

цим Актом підтверджує, що результати дисертаційного дослідження аспіранта кафедри Технічних систем кіберзахисту Державного університету інформаційно-комунікаційних технологій

РИЖАКОВА Миколи Миколайовича

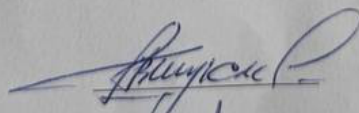
на тему: «Методи та моделі виявлення аномалій мережевого трафіку на об'єктах критичних інформаційних інфраструктур» на здобуття наукового ступеня доктора філософії за спеціальністю 125 «Кібербезпека» впроваджені в діяльність ТОВ «А.А.Г.».

Аспірантом розроблено модуль виявлення відхилень на основі автоенкодера та моделей короткострокового прогнозування, що дає змогу розпізнавати приховані поведінкові аномалії;

Програмний модуль виявлення відхилень було встановлено на сервер для аналізу вхідного мережевого трафіку з відкритим портом 5050. Цей модуль постійно моніторить пакети вхідних даних та виявляє серед них аномальні, що маскуються під пакети корисної інформації або дублюючі, та генерує log-файл з мітками пакетів та типом аномалій для роботи системного адміністратора.

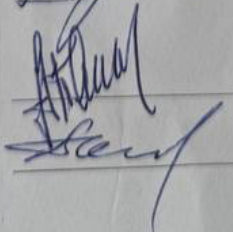
Відмітимо, що даний автоенкодер виявляє «Brute force» запити та блокує їх у 2,33 разів ефективніше ніж існуючі програмні рішення.

Голова комісії



к.т.н. Герман ШУКЛІН

Члени комісії



Андрій ПРАВДИВИЙ

Олександр ПРАВДИВИЙ

## Код реалізації алгоритму

```

import os, time, glob, argparse, requests, threading, re
from datetime import datetime
from collections import defaultdict, deque
try:
    import ujson as json
except Exception:
    import json
from watchdog.observers import Observer
from watchdog.events import FileSystemEventHandler
# =====
# Config
# =====
API_URL = os.getenv("API_URL", "http://api:8000/ingest")
POST_TIMEOUT = int(os.getenv("POST_TIMEOUT", "5"))
# Port-scan detector
SCAN_PORT_THRESHOLD = int(os.getenv("SCAN_PORT_THRESHOLD",
"40")) # distinct dst ports => scan
SCAN_WINDOW_SEC = int(os.getenv("SCAN_WINDOW_SEC", "60")) #
seconds window
# in-memory state: src_ip -> deque of (ts_epoch, dst_port)
recent_conn = defaultdict(deque)
recent_lock = threading.Lock()
# =====
# Helpers
# =====
def now_epoch() -> float:
    return time.time()

```

```

def ts_iso(ts_epoch: float | int | str | None) -> str:
    """ Безпечно конвертуємо Zeek ts -> ISO8601 UTC; якщо ні - now (). """
    try:
        return datetime.utcfromtimestamp(float(ts_epoch)).isoformat()
    except Exception:
        return datetime.utcnow().isoformat()

def post_event(payload: dict):
    try:
        requests.post(API_URL, json=payload, timeout=POST_TIMEOUT)
    except Exception as e:
        print("POST fail:", e)

def compute_risk(err_recon: float, err_forecast: float,
                 asset_crit: float, repeat_factor: float, sem_score: float) -> float:
    r = 0.0
    r += 0.35 * max(0.0, min(1.0, err_recon))
    r += 0.25 * max(0.0, min(1.0, err_forecast))
    r += 0.15 * max(0.0, min(1.0, repeat_factor))
    r += 0.15 * max(0.0, min(1.0, sem_score))
    r += 0.10 * max(0.0, min(1.0, asset_crit))
    return min(1.0, r)

def level_from_risk(r: float) -> int:
    if r > 0.70: return 3
    if r > 0.40: return 2
    if r > 0.15: return 1
    return 0

def register_connection(src_ip: str, dst_port: int | None, ts: float | None = None) ->
int:
    """ Облік з'єднань для scan-евристики; повертає кількість унікальних dst-
портів у вікні. """

```

```

if ts is None:
    ts = now_epoch()
port = int(dst_port or 0)
dq = recent_conn[src_ip]
with recent_lock:
    dq.append((ts, port))
    cutoff = ts - SCAN_WINDOW_SEC
    while dq and dq[0][0] < cutoff:
        dq.popleft()
    distinct_ports = {p for _, p in dq if p}
return len(distinct_ports)
# =====
# Parsers
# =====
def parse_conn_log(path: str):
    """Zeek conn.* (JSON)"""
    try:
        with open(path, "r") as f:
            for line in f:
                line = line.strip()
                if not line:
                    continue
                try:
                    rec = json.loads(line)
                except Exception:
                    continue
                ts = ts_iso(rec.get("ts", now_epoch()))
                src_ip = rec.get("id.orig_h", "0.0.0.0")
                dst_ip = rec.get("id.resp_h", "0.0.0.0")

```

```

src_port = int(rec.get("id.orig_p", 0) or 0)
dst_port = int(rec.get("id.resp_p", 0) or 0)
proto = rec.get("proto", "tcp")
dur = float(rec.get("duration", 0.0) or 0.0)
orig_bytes = int(rec.get("orig_bytes", 0) or 0)
resp_bytes = int(rec.get("resp_bytes", 0) or 0)
pkts = int(rec.get("orig_pkts", 0) or 0) + int(rec.get("resp_pkts", 0) or 0)
err_recon = min(1.0, (pkts / 500.0) + (orig_bytes + resp_bytes) / 1e7)
err_forecast = min(1.0, dur / 60.0)
mitre_tech, ics_tech, sem_score = None, None, 0.0
if pkts > 200 and dst_port in (21, 22, 23, 80, 443):
    mitre_tech, sem_score = "T1046", max(sem_score, 0.4) # Network
Service Discovery
if dst_port in (502, 20000): # Modbus/CIP
    ics_tech, sem_score = "Command Message", max(sem_score, 0.7)
    distinct_ports = register_connection(src_ip, dst_port)
if distinct_ports >= SCAN_PORT_THRESHOLD:
    mitre_tech = mitre_tech or "T1046"
    sem_score = max(sem_score, 0.8)
    err_recon = min(1.0, err_recon + 0.4)
asset_crit = 0.5
repeat_factor = min(1.0, pkts / 1000.0)
risk = compute_risk(err_recon, err_forecast, asset_crit, repeat_factor,
sem_score)
level = level_from_risk(risk)
payload = {
    "ts": ts,
    "src_ip": src_ip, "dst_ip": dst_ip,
    "src_port": src_port, "dst_port": dst_port,

```

```

        "proto": proto,
        "features": {
            "dur": dur, "orig_bytes": orig_bytes,
            "resp_bytes": resp_bytes, "pkts": pkts
        },
        "err_recon": err_recon, "err_forecast": err_forecast,
        "mitre_tech": mitre_tech, "ics_tech": ics_tech,
        "repeat_factor": repeat_factor, "asset_crit": asset_crit,
        "sem_score": sem_score,
        "risk": risk, "level": level
    }
    post_event(payload)
except FileNotFoundError:
    return

def parse_ssh_log(path: str):
    """Zeek ssh.* (JSON). За відсутності JSON - парс plain-рядок."""
    try:
        with open(path, "r") as f:
            for line in f:
                raw = line.strip()
                if not raw:
                    continue
                sent = False
                try:
                    rec = json.loads(raw)
                    ts = ts_iso(rec.get("ts", now_epoch()))
                    src_ip = rec.get("id.orig_h", rec.get("src_ip", "0.0.0.0"))
                    dst_ip = rec.get("id.resp_h", rec.get("dst_ip", None))
                    src_port = int(rec.get("id.orig_p", 0) or 0)

```

```

dst_port = int(rec.get("id.resp_p", 22) or 22)
failed = False
if "auth_success" in rec:
    failed = not bool(rec.get("auth_success"))
elif "status" in rec:
    failed = str(rec.get("status")).lower() in ("failed", "failure", "error")
sem = 0.9 if failed else 0.6
mitre = "T1110" if failed else "T1021"
payload = {
    "ts": ts,
    "src_ip": src_ip, "dst_ip": dst_ip,
    "src_port": src_port, "dst_port": dst_port,
    "proto": "ssh",
    "features": {"ssh": rec},
    "err_recon": 0.9 if failed else 0.6,
    "err_forecast": 0.5,
    "mitre_tech": mitre, "ics_tech": None,
    "repeat_factor": 1.0, "asset_crit": 0.7, "sem_score": sem,
    "risk": compute_risk(0.9 if failed else 0.6, 0.5, 0.7, 1.0, sem),
    "level": level_from_risk(compute_risk(0.9 if failed else 0.6, 0.5, 0.7,
1.0, sem)),
}
post_event(payload)
sent = True
except Exception:
    pass
if not sent:
    if ("Failed password" in raw) or ("Invalid user" in raw):
        m = re.search(r"from ([0-9]+\.[0-9]+\.[0-9]+\.[0-9]+)", raw)

```



```

src_ip = m.group(1) if m else "0.0.0.0"
ts = ts_iso(now_epoch())
payload = {
    "ts": ts,
    "src_ip": src_ip, "dst_ip": None,
    "src_port": 0, "dst_port": 22,
    "proto": "ssh",
    "features": {"raw": raw},
    "err_recon": 0.9, "err_forecast": 0.5,
    "mitre_tech": "T1110", "ics_tech": None,
    "repeat_factor": 1.0, "asset_crit": 0.7, "sem_score": 0.95,
}
payload["risk"] = compute_risk(payload["err_recon"],
payload["err_forecast"],
                                payload["asset_crit"], payload["repeat_factor"],
                                payload["sem_score"])
payload["level"] = level_from_risk(payload["risk"])
post_event(payload)

except FileNotFoundError:
    return

# =====
# Watcher
# =====

class Handler(FileSystemEventHandler):
    def on_created(self, event):
        if event.is_directory:
            return

        name = os.path.basename(event.src_path)
        if name.startswith("conn.log") or name.startswith("conn."):

```

```

        parse_conn_log(event.src_path)
    elif name.startswith("ssh") or name.startswith("ssh."):
        parse_ssh_log(event.src_path)
def parse_existing(path: str):
    for p in sorted(glob.glob(os.path.join(path, "conn*"))):
        parse_conn_log(p)
    for p in sorted(glob.glob(os.path.join(path, "ssh*"))):
        parse_ssh_log(p)
def watch_folder(path: str):
    observer = Observer()
    observer.schedule(Handler(), path, recursive=False)
    observer.start()
    try:
        while True:
            time.sleep(1)
    except KeyboardInterrupt:
        observer.stop()
    observer.join()
# =====
# Entry
# =====
def main():
    ap = argparse.ArgumentParser()
    ap.add_argument("--watch", default="/data/zeek_live", help="directory with Zeek
JSON logs")
    args = ap.parse_args()
    d = args.watch
    if not os.path.isdir(d):
        print("watch dir not found:", d)

```

```
    return
    parse_existing(d)
    print("watching", d)
    watch_folder(d)
if __name__ == "__main__":
    main()
```